



TUGAS AKHIR - SS 141501

**PERAMALAN BEBAN LISTRIK JANGKA PENDEK  
DI JAWA TIMUR MENGGUNAKAN METODE  
ARIMA DAN *ADAPTIVE NEURO FUZZY  
INFERENCE SYSTEM (ANFIS)***

INDANA LA ZULFA  
NRP 1311 100 076

Dosen Pembimbing  
Dr. Suhartono, S.Si., M. Sc.

JURUSAN STATISTIKA  
Fakultas Matematika dan Ilmu Pengetahuan Alam  
Institut Teknologi Sepuluh Nopember  
Surabaya 2015



TUGAS AKHIR - SS 141501

**PERAMALAN BEBAN LISTRIK JANGKA PENDEK  
DI JAWA TIMUR MENGGUNAKAN METODE  
ARIMA DAN ADAPTIVE NEURO FUZZY  
*INFERENCE SYSTEM (ANFIS)***

INDANA LA ZULFA  
NRP 1311 100 076

Dosen Pembimbing  
Dr. Suhartono, S.Si., M.Sc.

JURUSAN STATISTIKA  
Fakultas Matematika dan Ilmu Pengetahuan Alam  
Institut Teknologi Sepuluh Nopember  
Surabaya 2015



FINAL PROJECT - SS 141501

**SHORT-TERM ELECTRIC LOAD FORECASTING  
IN EAST JAVA BY USING ARIMA AND  
ADAPTIVE NEURO FUZZY INFERENCE  
SYSTEM (ANFIS)**

INDANA LA ZULFA  
NRP 1311 100 076

Supervisor  
Dr. Suhartono, S.Si., M.Sc.

DEPARTMENT OF STATISTICS  
Faculty of Mathematics and Natural Science  
Sepuluh Nopember Institute of Technology  
Surabaya 2015

## **LEMBAR PENGESAHAN**

**PERAMALAN BEBAN LISTRIK JANGKA PENDEK DI  
JAWA TIMUR MENGGUNAKAN METODE ARIMA DAN  
ADAPTIVE NEURO FUZZY INFERENCE SYSTEM (ANFIS)**

### **TUGAS AKHIR**

Diajukan Untuk Menenuhi Salah Satu Syarat Kelulusan

Program Studi S-1 Jurusan Statistika

Fakultas Matematika dan Ilmu Pengetahuan Alam

Institut Teknologi Sepuluh Nopember

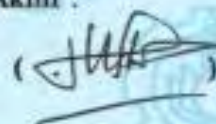
Oleh :

**INDANA LA ZULFA**

**NRP. 1311 100 076**

Disetujui oleh Pembimbing Tugas Akhir :

**Dr. Suhartono, S.Si., M.Sc.**  
**NIP. 19710929 199512 1 001**



Mengetahui,  
Ketua Jurusan Statistika FMIPA-ITS

**Dr. Muhammad Mashuri, M.T.**  
**NIP. 19620408 198701 1 001**

**SURABAYA, JANUARI 2015**

# **PERAMALAN BEBAN LISTRIK DI JAWA TIMUR MENGGUNAKAN METODE ARIMA DAN *ADAPTIVE NEURO FUZZY INFERENCE SYSTEM* (ANFIS)**

**Nama : Indiana La Zulfa**  
**NRP : 1311100076**  
**Jurusan : Statistika FMIPA-ITS**  
**Dosen Pembimbing : Dr. Suhartono, S.Si., M.Sc.**

## **ABSTRAK**

*Listrik merupakan salah satu sumber energi utama yang digunakan hampir pada seluruh aspek kehidupan. Faktanya, kebutuhan energi listrik semakin berkembang seiring dengan adanya kemajuan pembangunan di bidang teknologi, industri, dan informasi. Perkembangan dalam berbagai bidang tersebut dapat menimbulkan permasalahan kualitas dan kuantitas daya listrik yang dihantarkan. Oleh karena itu, ramalan konsumsi listrik untuk beberapa waktu ke depan berdasarkan data konsumsi listrik waktu sebelumnya diperlukan sebagai bahan perencanaan pendistribusian listrik yang lebih efisien. Tujuan dari penelitian yaitu meramalkan konsumsi listrik pukul 05:00, 13:00, dan 18:30 di Jawa Timur dengan metode ARIMA dan ANFIS. Kriteria pemilihan model terbaik berdasarkan pada nilai RMSE, SMAPE, dan MAPE pada data out sample. Hasil dari analisis menunjukkan bahwa metode ARIMA memberikan tingkat keakuratan yang lebih baik untuk meramalkan konsumsi listrik di Jawa Timur pukul 05:00, 13:00, dan 18:30 dibandingkan dengan metode ANFIS.*

**Kata Kunci :** ANFIS, ARIMA, Listrik, MAPE, Ramalan, RMSE, SMAPE.

*Halaman ini sengaja dikosongkan*

# **SHORT-TERM ELECTRIC LOAD FORECASTING IN EAST JAVA BY USING ARIMA AND ADAPTIVE NEURO FUZZY INFERENCE SYSTEM (ANFIS)**

<b>Name</b>	<b>: Indiana La Zulfa</b>
<b>NRP</b>	<b>: 1311100076</b>
<b>Department</b>	<b>: Statistika FMIPA-ITS</b>
<b>Supervisor</b>	<b>: Dr. Suhartono, S.Si., M.Sc.</b>

## **ABSTRACT**

*Electricity is one of the main sources of energy that is used almost in all aspects of life. In fact, the electrical energy was a developing along with the lack of progress development in field of technology, industry, and information. The development of the various fields could lead to quality and quantity problems that transmit power. Thus the electricity consumption for some time to future based on data electricity consumption previous times needed as material for planning distribute electrical energy that is more efficient. The purpose of this research is to forecast electricity consumption at 05:00, 1:00 pm, and 6:30 pm in East Java by using ARIMA and ANFIS. Selection Criteria best models based on the value RMSE, SMAPE, and MAPE in data out samples. The analysis of the result shows that method ARIMA gives high accuracy that it is better to predict electricity consumption in East Java at 05:00, 1:00 pm, and 6:30 pm than ANFIS method.*

**Key Word :** ANFIS, ARIMA, electricity, forecasts, MAPE, RMSE, SMAPE.

*Halaman ini sengaja dikosongkan*

## KATA PENGANTAR

Assalamu'alaikum Wr. Wb.

Puji syukur kepada Allah S.W.T., atas rahmat dan hidayah-Nya sehingga penulis dapat menyelesaikan laporan Tugas Akhir yang berjudul **"Peramalan Beban Listrik Jangka Pendek di Jawa Timur Menggunakan Metode ARIMA dan Adaptive Neuro Fuzzy Inference System (ANFIS)"**. Selain itu tidak lupa sholawat serta salam penulis sampaikan kepada Nabi Muhammad SAW. Dalam penulisan laporan ini penulis ucapan terima kasih kepada pihak-pihak yang membantu dalam menyelesaikan proses Tugas Akhir ini, khususnya kepada :

1. Bapak Dr. Suhartono selaku dosen pembimbing dan dosen wali atas segala bimbingan, saran, semangat, kesabaran dan waktu yang diberikan kepada penulis hingga laporan Tugas Akhir ini selesai.
2. Bapak Dr. Drs. Agus Suharsono, MS. dan Dr. Ir. Setiawan, M.S selaku dosen penguji atas kritik dan saran demi perbaikan Tugas Akhir ini.
3. Bapak Dr. Muhammad Mashuri, M.T. selaku Ketua Jurusan Statistika ITS.
4. Ibu Lucia Aridinanti, M.T. Selaku Ketua Program studi S1 Statistika ITS.
5. Seluruh dosen jurusan Statistika ITS, atas ilmu yang telah diberikan selama penulis berada di bangku kuliah.
6. Kedua orang tua tercinta Bapak Abd. Wahid, BA dan Ibu Mutamimah, serta kakak perempuan satu-satunya Sun Sufi, S.Pd, kakak ipar Nanang Wahyudi, S.Pd, tidak lupa juga kedua keponakan tersayang Fina dan Fiza yang selalu memberi dukungan, motivasi, dan doa untuk kesuksesan penulis.
7. Sahabat-sahabat kuliah tercinta Ratu, Indah, dan Charisma, atas kebersamaannya selama ini baik di asrama, kos, dan kampus.

8. Teman-teman sedosen pembimbing Clara Agustin, Rizki Hildalia, Indah, dan Hidayatul Husna, atas bantuannya dalam berbagi ilmu selama penggerjaan Tugas Akhir ini.
9. Teman-teman sigma 22 yang telah benyak memberikan dukungan dan doa.
10. Sahabat-sahabat “GURAMI” Uun, Luthfi, dan Bagus atas semangat, doa, dan kebersamaan selama ini.
11. Semua pihak yang tidak dapat disebutkan satu-persatu yang telah membantu hingga pelaksanaan Tugas Akhir ini dapat terselesaikan dengan baik.

Penulis merasa masih banyak kekurangan dari segi teknis penulisan maupun materi dari tugas Akhir ini. Oleh karena itu kritik dan saran dari semua pihak sangat diharapkan untuk perbaikan penelitian-penelitian selanjutnya. Semoga Tugas Akhir ini dapat memberikan banyak manfaat bagi semua pihak.

Surabaya, Januari 2015

Penulis

## DAFTAR ISI

	Halaman
<b>HALAMAN JUDUL.....</b>	<b>i</b>
<b>TITLE PAGE.....</b>	<b>iii</b>
<b>LEMBAR PENGESAHAN.....</b>	<b>v</b>
<b>ABSTRAK.....</b>	<b>vii</b>
<b>ABSTRACT .....</b>	<b>ix</b>
<b>KATA PENGANTAR .....</b>	<b>xi</b>
<b>DAFTAR ISI.....</b>	<b>xiii</b>
<b>DAFTAR GAMBAR.....</b>	<b>xv</b>
<b>DAFTAR TABEL.....</b>	<b>xvii</b>
<b>DAFTAR LAMPIRAN .....</b>	<b>xxi</b>
<b>BAB I PENDAHULUAN .....</b>	<b>1</b>
1.1 Latar Belakang .....	1
1.2 Rumusan Masalah .....	5
1.3 Tujuan Penelitian .....	5
1.4 Manfaat Penelitian .....	5
1.5 Batasan Masalah .....	6
<b>BAB II TINJAUAN PUSTAKA .....</b>	<b>7</b>
2.1 Definisi Peramalan ( <i>forecasting</i> ).....	7
2.2 Analisis <i>Time Series</i> .....	7
2.2.1 Stasioneritas .....	8
2.2.2 Autocorrelation Function (ACF) .....	9
2.2.3 Partial Autocorrelation Function (PACF) ..	10
2.3 Model Autoregressive Integrated Moving Average (ARIMA) .....	11
2.3.1 Identifikasi Model.....	12
2.3.2 Estimasi dan Pengujian Signifikansi Parameter Model.....	13
2.3.3 Uji Kesesuaian Model.....	14
2.3.4 Uji Asumsi Distribusi Residual Berdistribusi Normal .....	15
2.3.5 Deteksi <i>Outlier</i> .....	15
2.3.6 Kriteria Model Terbaik .....	18

2.4 Konsep Logika <i>Fuzzy</i> .....	19
2.4.1 Himpunan Klasik ( <i>crisp</i> ).....	20
2.4.2 Himpunan <i>Fuzzy</i> .....	20
2.4.3 Fungsi Keanggotaan.....	21
2.5 Sistem Inferensi <i>Fuzzy</i> .....	23
2.5.1 Metode Tsukamoto .....	23
2.5.2 Metode Sugeno .....	24
2.6 <i>Adaptive Neuro Fuzzy Inference System (ANFIS)</i> .....	24
2.7 Ketenagalistrikan.....	27
<b>BAB III METODOLOGI PENELITIAN</b> .....	29
3.1 Sumber Data dan Variabel Penelitian .....	29
3.2 Metode Analisis Data.....	29
<b>BAB IV ANALISIS DAN PEMBAHASAN</b> .....	33
4.1 Karakteristik Konsumsi Beban Listrik di Jawa Timur .....	33
4.2 Peramalan Konsumsi Beban Listrik di Jawa Timur Menggunakan Metode ARIMA.....	37
4.3 Peramalan Konsumsi Beban Listrik di Jawa Timur Menggunakan Metode ANFIS .....	56
4.4 Perbandingan Hasil Ramalan Metode ARIMAX dan ANFIS.....	86
<b>BAB V KESIMPULAN DAN SARAN</b> .....	91
5.1 Kesimpulan.....	91
5.2 Saran.....	92
<b>DAFTAR PUSTAKA</b> .....	93
<b>LAMPIRAN</b> .....	97
<b>BIODATA PENULIS</b> .....	175

## DAFTAR TABEL

	<b>Halaman</b>
Tabel 2.1	Nilai $\lambda$ dan <i>Power Transformation</i> ..... 9
Tabel 2.2	Struktur ACF dan PACF yang Stasioner ..... 13
Tabel 4.1	Hasil Analisis Deskriptif Konsumsi Beban Listrik di Jawa timur ..... 33
Tabel 4.2	Hasil Uji Signifikansi Parameter Model ARIMA ..... 47
Tabel 4.3	Hasil Pengujian Asumsi Residual Model ARIMA .. 47
Tabel 4.4	Hasil Uji Signifikansi Parameter Model ARIMA $(0,1,2)(0,1,1)^7$ dengan <i>Outlier</i> Data Pukul 05:00 .... 48
Tabel 4.5	Hasil Uji Signifikansi Parameter Model ARIMA $(0,1,1)(0,1,1)^7$ dengan <i>Outlier</i> Data Pukul 13:00 .... 49
Tabel 4.6	Hasil Uji Signifikansi Parameter Model ARIMA $(0,1,[1,10])(0,1,1)^7$ dengan <i>Outlier</i> Data Pukul 18:00 ..... 50
Tabel 4.7	Hasil Pengujian Asumsi Residual Model ARIMA dengan <i>Outlier</i> ..... 51
Tabel 4.8	Persamaan Matematis Model ARIMA dengan <i>Outlier</i> ..... 53
Tabel 4.9	Hasil Ramalan Data <i>Out Sample</i> dengan Model ARIMA ..... 55
Tabel 4.10	Hasil Pemilihan Model ARIMA dengan Deteksi <i>Outlier</i> Untuk Peramalan Konsumsi Beban Listrik Data Pukul 00:30 Hingga 23:30 ..... 55
Tabel 4.11	Parameter Nonlinier Fungsi <i>Gaussian</i> ..... 58
Tabel 4.12	Parameter Nonlinier Fungsi <i>Trapezoidal</i> ..... 59
Tabel 4.13	Parameter Nonlinier Fungsi <i>Generalized Bell</i> ..... 59
Tabel 4.14	Persamaan Fungsi <i>Gaussian</i> ..... 60
Tabel 4.15	Persamaan Fungsi <i>Trapezoidal</i> ..... 61
Tabel 4.16	Persamaan Fungsi <i>Generalized Bell</i> ..... 64
Tabel 4.17	Hasil Perhitungan Pada Lapisan 1 Fungsi <i>Gaussian</i> ..... 65
Tabel 4.18	Hasil Perhitungan Pada Lapisan 1 Fungsi <i>Trapezoidal</i> ..... 66

Tabel 4.19	Hasil Perhitungan Pada Lapisan 1 Fungsi <i>Generalized Bell</i> .....	66
Tabel 4.20	Operasi Logika <i>Fuzzy</i> Pada Lapisan 2 .....	67
Tabel 4.21	Hasil Perhitungan Pada Lapisan 2 Fungsi <i>Gaussian</i> .....	68
Tabel 4.22	Hasil Perhitungan Pada Lapisan 2 Fungsi <i>Trapezoidal</i> .....	68
Tabel 4.23	Hasil Perhitungan Pada Lapisan 2 Fungsi <i>Generalized Bell</i> .....	69
Tabel 4.24	Hasil Perhitungan Pada Lapisan 3 Fungsi <i>Gaussian</i> .....	70
Tabel 4.25	Hasil Perhitungan Pada Lapisan 3 Fungsi <i>Trapezoidal</i> .....	70
Tabel 4.26	Hasil Perhitungan Pada Lapisan 3 Fungsi <i>Generalized Bell</i> .....	71
Tabel 4.27	Nilai Parameter Linier Fungsi <i>Gaussian</i> .....	72
Tabel 4.28	Nilai Parameter Linier Fungsi <i>Trapezoidal</i> .....	73
Tabel 4.29	Nilai Parameter Linier Fungsi <i>Generalized Bell</i> .....	74
Tabel 4.30	Persamaan Defuzzifikasi dengan Fungsi <i>Gaussian</i> .....	75
Tabel 4.31	Persamaan Defuzzifikasi dengan Fungsi <i>Trapezoidal</i> .....	76
Tabel 4.32	Persamaan Defuzzifikasi dengan Fungsi <i>Generalized Bell</i> .....	77
Tabel 4.33	Hasil Perhitungan Pada Lapisan 4 Fungsi <i>Gaussian</i> .....	78
Tabel 4.34	Hasil Perhitungan Pada Lapisan 4 Fungsi <i>Trapezoidal</i> .....	79
Tabel 4.35	Hasil Perhitungan Pada Lapisan 4 Fungsi <i>Generalized Bell</i> .....	80
Tabel 4.36	Hasil Perbandingan Kebaikan Ramalan <i>In Sample</i> dan <i>Out Sample</i> Model ANFIS .....	81
Tabel 4.37	Hasil Pemilihan Model ANFIS Terbaik Untuk Peramalan Konsumsi Beban Listrik Data Pukul 00:00 Hingga 23:30 .....	84

Tabel 4.38	Hasil Perbandingan Kebaikan Ramalan <i>In Sample</i> dan <i>Out Sample</i> Metode ARIMA dan ANFIS .....	86
Tabel 4.39	Hasil Ramalan Konsumsi Beban Listrik.....	89

*Halaman ini sengaja dikosongkan*

## DAFTAR GAMBAR

	<b>Halaman</b>
Gambar 2.1	Grafik Fungsi <i>Gaussian</i> ..... 21
Gambar 2.2	Grafik Fungsi <i>Trapezoidal</i> ..... 22
Gambar 2.3	Grafik Fungsi <i>Generalized Bell</i> ..... 23
Gambar 2.4	Struktur ANFIS ..... 25
Gambar 3.1	Diagram Alir Model Peramalan ARIMA ..... 30
Gambar 3.2	Diagram Alir Model Peramalan ANFIS ..... 32
Gambar 4.1	Rata-Rata dan Standar Deviasi Konsumsi Beban Listrik Tiap Setengah Jam ..... 35
Gambar 4.2	Rata-Rata dan Standar Deviasi Konsumsi Beban Listrik Tiap Hari ..... 36
Gambar 4.3	<i>Box Plot</i> Konsumsi Beban Listrik Tiap Setengah Jam ..... 37
Gambar 4.4	<i>Time Series Plot</i> Konsumsi Beban Listrik di Jawa Timur ..... 37
Gambar 4.5	<i>Time Series Plot</i> Konsumsi Beban Listrik di Jawa Timur Tiap Setengah Jam ..... 38
Gambar 4.6	<i>Time Series Plot</i> Pukul 05:00 (a), 13:00 (b) dan 18:30 (c) ..... 43
Gambar 4.7	<i>Box Cox Transformation</i> Pukul 05:00 (a), 13:00 (b) dan 18:30 (c) ..... 43
Gambar 4.8	Plot ACF Pukul 05:00 (a), Plot ACF <i>differencing</i> 7 Pukul 05:00 (b), Plot ACF <i>differencing</i> 7 dan 1 Pukul 05:00 (c) dan Plot PACF <i>differencing</i> 7 dan 1 Pukul 05:00 (d) ..... 45
Gambar 4.9	Plot ACF Pukul 13:00 (a), Plot ACF <i>differencing</i> 7 Pukul 13:00 (b), Plot ACF <i>differencing</i> 7 dan 1 Pukul 13:00 (c) dan Plot PACF <i>differencing</i> 7 dan 1 Pukul 13:00 (d) ..... 45
Gambar 4.10	Plot ACF Pukul 18:30 (a), Plot ACF <i>differencing</i> 7 Pukul 18:30 (b), Plot ACF <i>differencing</i> 7 dan 1 Pukul 18:30 (c) dan Plot PACF <i>differencing</i> 7 dan 1 Pukul 18:30 (d) ..... 46

Gambar 4.11	Uji Kenormalan Data Pukul 13:00 .....	52
Gambar 4.12	Hasil Perbandingan Ramalan dengan Data Aktual Berdasarkan <i>In Sample</i> Pukul 05:00 (a), 13:00 (b) dan 18:30 (c) .....	54
Gambar 4.13	Hasil Perbandingan Ramalan dengan Data Aktual Berdasarkan <i>Out Sample</i> Pukul 05:00 (a), 13:00 (b) dan 18:30 (c).....	54
Gambar 4.14	Struktur ANFIS dengan 3 <i>Input</i> .....	57
Gambar 4.15	Perbandingan Ramalan <i>In Sample</i> Model ANFIS Pukul 05:00 (a), 13:00 (b) dan 18:30 (c)..	83
Gambar 4.16	Perbandingan Ramalan <i>Out Sample</i> Model ANFIS Pukul 05:00 (a), 13:00 (b) dan 18:30 (c)..	83
Gambar 4.17	Perbandingan Ramalan <i>In Sample</i> Model ARIMA dan ANFIS Pukul 05:00 (a), 13:00 (b) dan 18:30 (c).....	87
Gambar 4.18	Perbandingan Ramalan <i>Out Sample</i> Model ARIMA dan ANFIS Pukul 05:00 (a), 13:00 (b) dan 18:30 (c).....	87
Gambar 4.19	Perbandingan <i>Error In Sample</i> Model ARIMA dan ANFIS Pukul 05:00 (a), 13:00 (b) dan 18:30 (c).....	88
Gambar 4.20	Perbandingan <i>Error Out Sample</i> Model ARIMA dan ANFIS Pukul 05:00 (a), 13:00 (b) dan 18:30 (c).....	88

## **BAB I**

### **PENDAHULUAN**

#### **1.1 Latar Belakang**

Listrik merupakan salah satu sumber energi utama yang digunakan hampir pada seluruh aspek kehidupan. Faktanya, kebutuhan energi listrik semakin berkembang seiring dengan adanya kemajuan pembangunan di bidang teknologi, industri, dan informasi. Perkembangan dalam berbagai bidang tersebut dapat menimbulkan permasalahan kualitas dan kuantitas daya listrik yang dihantarkan. Selain itu, permasalahan yang terjadi akibat perkembangan dibidang industri salah satunya adalah krisis listrik di kawasan industri Jawa Timur. Hal ini disebabkan oleh PT. PLN (persero) tidak dapat membangun instalasi distribusi yang menyalurkan listrik dari pembangkit ke konsumen. Meskipun jumlah kapasitas listrik yang ada di Jawa Timur mengalami *surplus* lebih dari 3000 MW, tetap saja tidak semuanya dapat didistribusikan karena terjadinya beberapa kendala (Bisnis, 2014). Berdasarkan data dari *Indonesia Energy Outlook and Statistics* 2004 dan Rencana Umum Ketenagalistrikan Nasional (RUKN) 2004 hingga 2013 menunjukkan bahwa rasio elektrifikasi tiap wilayah di Indonesia pada tahun 2008 diperkirakan mencapai 63,5%. Pada 5 tahun berikutnya yaitu tahun 2013 diharapkan rasio elektrifikasi dapat meningkat hingga 75%. Hasil dari proyeksi kebutuhan listrik tahun 2003 hingga 2020 oleh Dinas Perencanaan Sistem PT. PLN (persero) dan tim Energi Badan Pengkajian dan Penerapan Teknologi (BPPT) diperkirakan mengalami peningkatan sebesar 6,5% per tahun (BPPT, 2006).

Berdasarkan data dari Master Plan Pembangunan Ketenagalistrikan 2010-2014 menunjukkan bahwa distribusi tenaga listrik tertinggi di Indonesia terjadi di ketiga wilayah yang berdekatan yaitu Jawa, Madura, dan Bali. Total dari panjang jaringan untuk JTM (Jaringan Tegangan Menengah) di ketiga wilayah tersebut adalah 128.364 kms (kilometer sirkuit) atau

sekitar 14,5% dari seluruh tenaga listrik yang didistribusikan di Indonesia. Sedangkan untuk total JTR (Jaringan Tegangan Rendah) dari wilayah Jawa, Madura, dan Bali mencapai 217.912 kms atau 61,6% dari total JTR yang didistribusikan (ESDM, 2009). Hal ini sangat wajar sekali bila ketiga wilayah tersebut mempunyai kebutuhan tenaga listrik yang tinggi, karena daerah Jawa, Madura, dan Bali merupakan pusat dari segala kegiatan seperti pemerintahan, industri, pendidikan, pariwisata, dan lain-lain. Oleh karena itu, PT. PLN mempunyai peranan yang penting dalam mengupayakan kesejahteraan rakyat demi berlangsungnya kehidupan perekonomian di Indonesia melalui pemenuhan dan pendistribusian listrik secara merata.

Distribusi tenaga listrik terhadap konsumen harus dilakukan secara optimal dan sesuai dengan kebutuhan. Tujuannya adalah agar dapat melakukan tindakan yang tepat seiring dengan pertumbuhan kebutuhan tenaga listrik, mempertahankan tingkat keandalan, dan meningkatkan kualitas pelayanan kepada konsumen. Sebagai salah satu perusahaan penyedia jasa listrik di Indonesia, PT. PLN (persero) harus mampu mengatasi terjadinya pemborosan listrik jika terdapat data yang dikirim melalui suatu pembangkit lebih besar dari permintaan daya bebannya. Selain itu masalah yang lain bila pendistribusian tidak tepat adalah terjadinya pemadaman bergilir. Hal ini disebabkan oleh daya yang dibangkitkan atau disediakan pembangkit listrik kurang dari permintaan kebutuhan energi listrik. Oleh karena itu, diperlukan suatu cara yang tepat dalam menyesuaikan jumlah kapasitas listrik dengan permintaan konsumen. Salah satu cara yang bisa dilakukan adalah dengan melakukan prediksi permintaan beban listrik yang dibutuhkan oleh konsumen dalam beberapa jangka waktu kedepan. Peramalan beban listrik jangka pendek bertujuan untuk memprediksi besarnya konsumsi tenaga listrik dalam jangka waktu menit, jam, hari atau minggu. Prediksi beban listrik jangka pendek ini mempunyai peranan penting dalam *real-time control* dan fungsi-fungsi keamanan dari suatu sistem manajemen energi. Jika hasil

dari prediksi beban listrik jangka pendek menghasilkan akurasi yang tepat, maka akan didapatkan optimalisasi penyediaan energi listrik kepada konsumen (El-Sharkawi *et al.*, 1999).

Penelitian yang berkaitan dengan peramalan pada sistem ketenagalistrikan pernah dilakukan oleh Widyapratwi *et al.* (2012). Metode yang digunakan adalah *Adaptive Neuro Fuzzy Inference System* (ANFIS) dengan *case study* tentang peramalan beban listrik mingguan di Bali. Selain metode ANFIS, dalam penelitian tersebut juga menggunakan *Artificial Neural Network* (ANN) sebagai pembanding hasil peramalan terbaik. Dari kedua metode tersebut membuktikan bahwa metode ANFIS mempunyai tingkat akurasi peramalan yang lebih baik untuk meramalkan beban listrik mingguan di Bali dibandingkan dengan metode ANN. Penelitian lain yang berhubungan dengan peramalan beban listrik juga pernah dilakukan oleh Azadeh *et al.* (2010). Pada penelitian tersebut juga menggunakan metode ANFIS untuk peramalan konsumsi listrik jangka panjang di Eropa. Hasil dari pendekatan ANFIS menunjukkan bahwa model yang disulkan telah sesuai dan akurat dalam memprediksi kebutuhan listrik di negara-negara industri seperti Belanda, Luksemburg, Irlandia, dan Italia. Algoritma ANFIS dalam penelitian ini juga mampu mengatasi kompleksitas data, ambiguitas, dan ketidakpastian. Perbandingan peramalan beban listrik pada penelitian yang dilakukan oleh Syukriyadin & Syahputra (2012) menggunakan model ANFIS menunjukkan hasil yang lebih baik daripada metode *Moving Average*. Hal ini ditunjukkan oleh nilai MAPE pada metode ANFIS lebih kecil dari metode *Moving Average*.

Penerapan metode ANFIS juga pernah digunakan dalam penelitian selain untuk peramalan beban listrik yaitu penentuan status aktivitas gunung Merapi oleh Fatkhurrozi *et al.* (2012). Dari penelitian tersebut menunjukkan bahwa rata-rata kesalahan yang dihasilkan oleh metode ANFIS masih relatif tinggi. Hal ini ditunjukkan dengan nilai *Mean Absolute Percentage Error* (MAPE) sebesar 10,2041%. Besarnya nilai MAPE tersebut disebabkan oleh pola data yang mempunyai deviasi tinggi.

Metode ANFIS dapat bekerja dengan baik apabila datanya mempunyai pola yang teratur. Penelitian lain juga pernah dilakukan oleh Nurvitasari & Irhamah (2012) tentang peramalan kecepatan angin harian rata-rata di Sumenep menggunakan pendekatan fungsi transfer sebagai input ANFIS. Hasil yang diperoleh dalam penelitian tersebut menunjukkan bahwa metode ANFIS dengan input fungsi transfer lebih cocok digunakan untuk peramalan kecepatan angin harian daripada hanya menggunakan fungsi transfer saja. Kelebihan dari metode ANFIS yang lain yaitu dapat memberikan hasil yang cukup baik jika digunakan untuk prediksi tanpa pengelompokan data berdasarkan musim. Hal ini telah dibuktikan dalam penelitian yang dilakukan oleh Dewi *et al.* (2014) tentang prediksi cuaca pada data *time series* menggunakan ANFIS.

ANFIS merupakan suatu metode yang biasanya sering digunakan untuk memprediksi dengan tingkat akurasi yang cukup baik (Singla *et al.*, 2011). Menurut Jang (1993), metode ANFIS merupakan suatu gabungan antara konsep Backpropagation Neural Network dengan konsep logika fuzzy. Sistem berbasis fuzzy dapat dinyatakan dalam bentuk “*if-then*” yang memberikan keuntungan tidak memerlukan analisis matematik dalam pemodelan. Selain itu, sistem fuzzy dapat memproses penalaran dan pengetahuan manusia yang berorientasi pada aspek kualitatif. ANFIS terdiri dari 5 lapisan dan setiap lapisannya mempunyai perlakuan berbeda. Pada metode ini, proses pelatihan dalam jaringan neural yang terdapat pada beberapa lapisan dengan sejumlah pasangan data berguna untuk memperbarui parameter-parameter sistem inferensi fuzzy (Fariza, 2007). Sedangkan menurut Duda (2001), jaringan syaraf tiruan mempunyai kelebihan dalam memudahkan pengklasifikasian suatu objek berdasarkan sekumpulan fitur yang menjadi masukan sistem, karena hanya dengan memasukkan pelatihan dengan data tersebut dapat membedakan satu objek dengan yang lainnya.

Berdasarkan uraian yang telah dijelaskan sebelumnya, maka dalam tugas akhir ini akan dilakukan penelitian terhadap

peramalan beban listrik jangka pendek yang dibutuhkan di wilayah Jawa Timur tiap 1/2 jam dengan metode ARIMA dan ANFIS. Dalam penelitian ini diharapkan mampu memberikan informasi tambahan kepada PT. PLN maupun pihak terkait tentang peramalan beban listrik di wilayah Jawa Timur untuk mengoptimalkan pendistribusian energi listrik berdasarkan hasil model terbaik dari metode yang digunakan.

## **1.2 Rumusan Masalah**

Rumusan masalah yang menjadi dasar dalam penelitian ini adalah sebagai berikut.

1. Bagaimana karakteristik pemakaian beban listrik di Jawa Timur pada tahun 2013 hingga 2014?
2. Bagaimana hasil dari model ARIMA dan ANFIS yang sesuai untuk peramalan beban listrik di Jawa Timur?
3. Berdasarkan kedua metode yang digunakan, metode apa yang paling sesuai dalam meramalkan beban listrik di Jawa Timur?

## **1.3 Tujuan Penelitian**

Tujuan dari penelitian ini adalah sebagai berikut.

1. Mengetahui karakteristik pemakaian beban listrik per setengah jam di wilayah Jawa Timur pada tahun 2013 hingga 2014.
2. Mendapatkan model ARIMA dan ANFIS yang sesuai untuk peramalan jangka pendek beban listrik di wilayah Jawa Timur.
3. Mendapatkan metode yang sesuai untuk meramalkan konsumsi beban listrik di Jawa Timur.

## **1.4 Manfaat Penelitian**

Dari hasil penelitian ini diharapkan mampu memberikan informasi bagi PT. PLN (persero) untuk mengoptimalkan pendistribusian listrik di wilayah Jawa Timur pada periode kedepan. Manfaat bagi peneliti dapat menerapkan metode

ARIMA dan ANFIS dalam kasus nyata yaitu menentukan model terbaik untuk peramalan data beban listrik di wilayah Jawa Timur.

### **1.5 Batasan Masalah**

Batasan masalah yang digunakan dalam penelitian ini adalah sebagai berikut.

1. Data yang digunakan merupakan data konsumsi beban listrik di regional Jawa Timur pada tanggal 6 Januari 2013 hingga 25 Agustus 2014.
2. Peramalan yang dilakukan pada penelitian ini merupakan peramalan untuk konsumsi listrik jangka pendek selama 14 hari ke depan.

## **BAB II**

### **TINJAUAN PUSTAKA**

Tinjauan pustaka yang ada dalam penelitian ini merupakan penjelasan dari metode yang digunakan diantaranya analisis *time series*, model ARIMA, ANFIS, serta uraian tentang sistem ketenagalistrikan.

#### **2.1 Definisi Peramalan (*forecasting*)**

Peramalan merupakan suatu kegiatan yang dilakukan untuk memperkirakan kejadian di masa depan berdasarkan data masa lalu. Berbagai macam contoh peristiwa yang dapat diramalkan yaitu seperti penjualan, curah hujan, kapasitas penumpang, dan lain-lain. Dalam melakukan suatu peramalan tentunya diperlukan metode yang sesuai dengan data dan informasi yang akan diramalkan agar dapat mencapai tujuan yang diinginkan. Berdasarkan jangka waktunya, peramalan terbagi menjadi 3 yaitu peramalan jangka pendek (< 1 tahun), jangka menengah (1 hingga 3 tahun), dan jangka panjang (> 3 tahun). Peramalan berdasarkan metode atau pendekatan dibagi menjadi 2 yaitu metode kuantitatif dan kualitatif. Pada metode kuantitatif, peramalan biasanya menggunakan metode statistika dan matematika yang membutuhkan data masa lalu dalam bentuk numerik. Sedangkan metode kualitatif menggunakan analisis berdasarkan intuisi, pendapat, dan informasi yang diperoleh pada masa lalu.

#### **2.2 Analisis *Time Series***

Data *time series* merupakan serangkaian nilai dari suatu variabel tertentu yang berurutan tiap periodenya. Adanya data *time series* ini dapat dijadikan sebagai dasar dalam melakukan perencanaan kegiatan di masa depan (peramalan). Sedangkan menurut Wei (2006), *time series* merupakan suatu rangkaian kegiatan dalam melakukan pengamatan terhadap variabel yang akan diamati secara berurutan berdasarkan urutan waktu kejadiannya dalam interval waktu tertentu secara konstan. Setiap pengamatan yang dilakukan dapat dinyatakan dalam bentuk

variabel random  $Z_t$  yang didapatkan berdasarkan indeks waktu tertentu  $t_i$  dengan  $i=1,2,\dots,n$ , sehingga penulisan dari data *time series* adalah  $Z_{t_1}, Z_{t_2}, \dots, Z_{t_n}$ . Ada beberapa hal yang harus diperhatikan dalam melakukan analisis data *time series*, diantaranya : kestasioneran data, fungsi autokorelasi, dan fungsi autokorelasi parsial.

### 2.2.1 Stasioneritas

Stasioneritas dalam data *time series* ditunjukkan apabila rata-rata dan variansnya berfluktuasi konstan setiap waktu. Menurut Cryer & Chan (2008), suatu proses  $\{Z_t\}$  dapat dinyatakan *strictly stationary* jika distribusi bersama dari  $Z_{t_1}, Z_{t_2}, \dots, Z_{t_n}$  dengan  $Z_{t_1-k}, Z_{t_2-k}, \dots, Z_{t_n-k}$  adalah sama pada setiap waktu  $t_1, t_2, \dots, t_n$  dan semua waktu pada lag  $k$ . Hal ini menyebabkan nilai dari  $E(Z_t) = E(Z_{t-k})$  dan  $Var(Z_t) = Var(Z_{t-k})$  pada setiap waktu  $t$  dan lag  $k$ .

Misalkan pada suatu proses *strictly stationary* dengan fungsi distribusi bersama  $F_{Z_{t_1}, Z_{t_2}}(x_1, x_2) = F_{Z_{t_1+k}, Z_{t_2+k}}(x_1, x_2)$  untuk setiap nilai  $t_1, t_2$ , dan  $k$  mempunyai nilai  $\mu_t = \mu$  dan  $\sigma_t^2 = \sigma^2$  pada semua titik waktu  $t$  dengan  $t_1 = t - k$  dan  $t_2 = t$ , sehingga didapatkan:

$$\gamma(t_1, t_2) = \gamma(t_1 + k, t_2 + k) = \gamma((t - k) + k, t + k) = \gamma(t, t + k) = \gamma_k \quad (2.1)$$

dan

$$\rho(t_1, t_2) = \rho((t - k) + k, t + k) = \rho(t, t + k) = \rho_k \quad (2.2)$$

dari persaman (2.1) dan (2.2) tersebut menunjukkan bahwa suatu proses *strictly stationary* dengan varians yang berhingga memiliki kovarians dan korelasi antara  $Z_t$  dan  $Z_{t+k}$  hanya bergantung pada *time lag* (Wei, 2006).

Apabila suatu *series* dalam pengujian stasioneritas varians dinyatakan tidak stasioner, maka dapat diatasi dengan melakukan transformasi. Salah satu transformasi yang dapat digunakan dalam

menstasionerkan varians adalah *Power Transformation*. Rumus umum dalam melakukan transformasi dengan *Power Transformation* adalah sebagai berikut (Wei, 2006),

$$T(Z_t) = \frac{Z_t^\lambda - 1}{\lambda}, \text{ untuk } \lambda \neq 0 \quad (2.3)$$

dengan  $\lambda$  menunjukkan parameter *Power Transformation*. Jika  $\lambda = 0$ , maka dapat dilakukan pendekatan sebagai berikut:

$$\lim_{\lambda \rightarrow 0} T(Z_t) = \lim_{\lambda \rightarrow 0} \frac{Z_t^\lambda - 1}{\lambda} = \ln(Z_t). \quad (2.4)$$

Pada Tabel 2.1 berikut merupakan beberapa nilai  $\lambda$  yang biasanya digunakan dan transformasi yang sesuai.

**Tabel 2.1** Nilai  $\lambda$  dan *Power Transformation*

Nilai Estimasi $\lambda$	Transformasi
-1	$1/Z_t$
-0,5	$1/\sqrt{Z_t}$
0	$\ln Z_t$
0,5	$\sqrt{Z_t}$
1	$Z_t$ (tidak ada transformasi)

Data *time series* bersifat stasioner dalam mean jika plot *time series* berfluktuasi disekitar nilai rata-rata yang konstan. Apabila data *time series* dinyatakan tidak stasioner dalam mean, maka langkah selanjutnya adalah melakukan differencing dengan rumus sebagai berikut (Wei, 2006),

$$\Delta^d Z_t = (1 - B)^d Z_t. \quad (2.5)$$

## 2.2.2 Autocorrelation Function (ACF)

Fungsi autokorelasi (ACF) biasanya digunakan dalam melakukan identifikasi model data *time series* untuk melihat kestasioneran dan menunjukkan hubungan linear antara  $Z_t$  dengan  $Z_{t+k}$ . Secara umum, fungsi autokorelasi dirumuskan sebagai berikut (Wei, 2006),

$$\rho_k = \frac{\text{cov}(Z_t, Z_{t+k})}{\sqrt{\text{var}(Z_t)} \sqrt{\text{var}(Z_{t+k})}} = \frac{\gamma_k}{\gamma_0} \quad (2.6)$$

dan kovarians antara  $Z_t$  dengan  $Z_{t+k}$  adalah

$$\gamma_k = \text{cov}(Z_t, Z_{t+k}) = E(Z_t - \mu)(Z_{t+k} - \mu) \quad (2.7)$$

syarat yang harus dipenuhi oleh fungsi autokorelasi dan autokovarians pada proses kestasioneran diantaranya (Wei, 2006):

1.  $\gamma_0 = \text{var}(Z_t) ; \rho_0 = 1$
2.  $|\gamma_k| \leq \gamma_0 ; |\rho_k| \leq 1$
3.  $\gamma_k = \gamma_{-k} ; \rho_k = \rho_{-k}$

Menurut Wei (2006), dalam melakukan pengambilan sampel data *time series* untuk fungsi autokorelasi dapat dituliskan sebagai berikut,

$$\rho_k = \frac{\sum_{t=1}^{n-k} (Z_t - \bar{Z})(Z_{t+k} - \bar{Z})}{\sum_{t=1}^n (Z_t - \bar{Z})^2}, \quad k = 0, 1, 2, \dots \quad (2.8)$$

$$\text{dimana } \bar{Z} = \frac{\sum_{t=1}^n Z_t}{n}.$$

Untuk  $n$  yang besar,  $\hat{\rho}_k$  mendekati distribusi normal dengan *mean*  $\rho_k$  dan varians

$$\text{var}(\hat{\rho}_k) \approx \frac{1}{n} \sum_{i=-\infty}^{\infty} (\rho_i^2 + \rho_{i+k}\rho_{i-k} - 4\rho_k\rho_i\rho_{i-k} + 2\rho_k^2\rho_i^2). \quad (2.9)$$

### 2.2.3 Partial Autocorrelation Function (PACF)

Fungsi autokorelasi parsial merupakan suatu alat yang digunakan untuk mengukur tingkat keeratan antara  $Z_t$  dengan  $Z_{t+k}$  yang dirumuskan sebagai berikut (Wei, 2006).

$$P_k = \frac{\text{cov}[(Z_t - Z_t), (Z_{t+k} - Z_{t+k})]}{\sqrt{\text{var}(Z_t - Z_t)} \sqrt{\text{var}(Z_{t+k} - Z_{t+k})}} \quad (2.10)$$

Keterangan :

$P_k$  : PACF teoritis

$Z_t$  : nilai variabel *time series* pada waktu ke- $t$

$Z_{t+k}$  : data yang dipisahkan oleh waktu ke- $k$ , dengan  $k = 0, 1, 2, \dots$

$Z_t$  : dugaan dengan model linear.

Menurut Tsay (2010), PACF pada suatu *time series* digunakan untuk menentukan orde  $p$  model AR (*Autoregressive*) dengan syarat data telah stasioner. Perhitungan nilai sampel PACF ( $\hat{\phi}_{kk}$ ) dapat dilakukan dengan mensubstitusikan nilai  $\hat{\rho}_j$  ke dalam persamaan berikut ini dengan diawali nilai  $\hat{\phi}_{11} = \hat{\rho}_1$ .

$$\hat{\phi}_{k+1,k+1} = \frac{\hat{\rho}_{k+1} - \sum_{j=1}^k \hat{\phi}_{kj} \hat{\rho}_{k+1-j}}{1 - \sum_{j=1}^k \hat{\phi}_{kj} \hat{\rho}_j} \quad (2.11)$$

### 2.3 Model *Autoregressive Integrated Moving Average* (ARIMA)

ARIMA merupakan suatu metode peramalan yang biasanya sangat baik digunakan untuk melakukan peramalan jangka pendek. Metode ini sering disebut sebagai metode runtun waktu Box-Jenkins. Selain itu model ARIMA juga merupakan salah satu model yang digunakan dalam peramalan data *time series* yang bersifat non stasioner. Model ini dapat menghasilkan peramalan jangka pendek yang akurat karena menggunakan data masa lalu dan sekarang dari variabel dependen. Secara umum model

ARIMA ( $p, d, q$ ) atau biasanya disebut sebagai ARIMA *nonseasonal* ditulis sebagai berikut (Wei, 2006).

$$\phi_p(B)(1-B)^d Z_t = \theta_0 + \theta_q(B)a_t \quad (2.12)$$

Jika orde  $p=0$ , maka model ARIMA ( $p, d, q$ ) disebut model *Moving Average* ( $d, q$ ) dan dinotasikan sebagai IMA ( $d, q$ ). Apabila dalam suatu data time series mengandung pola musiman, maka peramalan dapat dilakukan dengan menggunakan model *seasonal* ARIMA. Secara matematis model *multiplicative seasonal* ARIMA ditulis sebagai berikut (Wei, 2006).

$$\Phi_P(B^s)\phi_p(B)(1-B)^d(1-B^s)^D Z_t = \theta_q(B)\Theta_Q(B^s)a_t \quad (2.13)$$

Keterangan:

$\phi_p(B)$  : koefisien komponen AR orde  $p$

$\theta_q(B)$  : koefisien komponen MA orde  $q$

$\Phi_P(B^s)$  : koefisien komponen AR periode musiman  $s$  orde  $P$

$\Theta_Q(B^s)$  : koefisien komponen MA periode musiman  $s$  orde  $Q$

$(1-B)^d$  : *differencing* orde  $d$

$(1-B^s)^D$  : *differencing* musiman  $s$  dengan orde  $D$

$B$  : operator *backshift*

$a_t$  : barisan *white noise* ( $a_t \sim WN(0, \sigma^2)$ ).

### 2.3.1 Identifikasi Model

Hal yang harus dilakukan sebelum melakukan peramalan yaitu identifikasi model ARIMA untuk menentukan kestasioneran data dalam varians atau mean dan identifikasi pola data yang digunakan sebagai dasar pemilihan model yang sesuai. Menurut Wei (2006), petunjuk pemilihan model ARIMA ditunjukkan dalam Tabel 2.2.

**Tabel 2.2** Struktur ACF dan PACF yang Stasioner

Model	ACF	PACF
AR ( $p$ )	<i>Dies down</i>	<i>Cuts off setelah lag ke- <math>p</math></i>
MA ( $q$ )	<i>Cuts off setelah lag ke- <math>q</math></i>	<i>Dies down</i>
ARMA ( $p, q$ )	<i>Dies down</i>	<i>Dies down</i>

### 2.3.2 Estimasi dan Pengujian Signifikansi Parameter Model

Menurut Cryer & Chan (2008), salah satu metode yang dapat digunakan untuk menaksir parameter model adalah *Least Squares (Conditional Least Squares)*. Metode *Least Squares* ini dilakukan dengan cara meminimumkan jumlah kuadrat *error*. Misalkan jika dilakukan estimasi parameter pada model AR(1), maka langkah-langkahnya adalah sebagai berikut.

1. Menentukan persamaan model *error* dari AR(1) yang dirumuskan dalam persamaan berikut,

$$Z_t - \mu = \phi(Z_{t-1} - \mu) + a_t \quad (2.14)$$

sehingga dari persamaan (2.14) didapatkan persamaan

$$a_t = (Z_t - \mu) - \phi(Z_{t-1} - \mu). \quad (2.15)$$

2. Menentukan persamaan jumlah kuadrat *error* yang dirumuskan dalam persamaan berikut ini.

$$S_c(\phi, \mu) = \sum_{t=2}^n a_t^2 = \sum_{t=2}^n ((Z_t - \mu) - \phi(Z_{t-1} - \mu))^2. \quad (2.16)$$

3. Meminimumkan jumlah kuadrat *error* dengan cara menurunkan  $S_c(\phi, \mu)$  terhadap  $\mu$  dan  $\phi$  kemudian masing-masing ekuivalen dengan nol seperti persamaan berikut ini.

$$\frac{\partial S_c}{\mu} = \sum_{t=2}^n 2[(Z_t - \mu) - \phi(Z_{t-1} - \mu)](-1 + \phi) = 0 \quad (2.17)$$

$$\frac{\partial S_c}{\phi} = \sum_{t=2}^n 2[(Z_t - \mu) - \phi(Z_{t-1} - \mu)](Z_{t-1} - \mu) = 0 \quad (2.18)$$

Berdasarkan persamaan (2.17) dan (2.18) didapatkan hasil untuk taksiran  $\mu$  dan  $\phi$  masing-masing adalah sebagai berikut.

$$\hat{\mu} = \bar{Z} \quad (2.19)$$

$$\hat{\phi} = \frac{\sum_{t=2}^n (Z_t - \bar{Z})(Z_{t-1} - \bar{Z})}{\sum_{t=2}^n (Z_{t-1} - \bar{Z})^2} \quad (2.20)$$

Setelah melakukan estimasi parameter, langkah selanjutnya adalah melakukan pengujian signifikansi parameter dengan hipotesis sebagai berikut:

$H_0 : \beta_i = 0$  (parameter model tidak sesuai)

$H_1 : \beta_i \neq 0$  (parameter model sesuai)

dimana  $\beta_i$  merupakan notasi dari parameter  $\phi_i$  dan  $\theta_i$

statistik uji :

$$t_{hitung} = \frac{\beta_i}{S.E(\beta_i)} \quad (2.21)$$

daerah kritis :

tolak  $H_0$  apabila  $|t_{hitung}| > t_{\alpha/2, n-n_p}$ , artinya parameter telah signifikan dan model dapat digunakan untuk peramalan. Nilai  $n$  menunjukkan jumlah data yang efektif dan  $n_p$  adalah banyaknya parameter.

### 2.3.3 Uji Kesesuaian Model

Uji kesesuaian model ini bertujuan untuk menguji asumsi *white noise* pada residual. Uji yang digunakan adalah uji Ljung-Box-Pierce (LBQ) dengan hipotesis sebagai berikut (Cryer & Chan, 2008):

$H_0 : \rho_1 = \rho_2 = \dots = \rho_K = 0$  (residual bersifat *white noise*)

$H_1 : \text{minimal terdapat satu } \rho_k \neq 0, \text{ untuk } k = 1, 2, \dots, K$  (residual tidak bersifat *white noise*).

statistik uji :

$$Q = n(n+2) \sum_{k=1}^K (n-k)^{-1} \rho_k^2 \quad (2.22)$$

daerah kritis : tolak  $H_0$  jika  $Q > \chi^2_{\alpha, K-m}$   
 dimana :

$\rho_k$  = ACF residual pada lag ke-  $k$

$K$  = maksimum lag

$m = p + q$ .

### 2.3.4 Uji Asumsi Distribusi Residual Berdistribusi Normal

Setelah uji asumsi *white noise* dilakukan, asumsi lain yang harus dipenuhi adalah residual berdistribusi normal. Salah satu uji yang digunakan dalam menentukan kenormalan data adalah *Kolmogorov Smirnov* dengan hipotesis sebagai berikut :

$H_0 : F(x) = F_0(x)$  (residual berdistribusi normal)

$H_1 : F(x) \neq F_0(x)$  (residual tidak berdistribusi normal)

statistik uji:

$$D = \sup_x |F_n(x) - F_0(x)| \quad (2.23)$$

daerah kritis : tolak  $H_0$  jika  $D_{uji} > D_{(n, 1-\alpha)}$

dimana :

$F_n(x)$  = fungsi peluang kumulatif yang dihitung berdasarkan data sampel

$F_0(x)$  = fungsi peluang kumulatif dari distribusi normal

$\sup$  = nilai maksimum dari  $|F_n(x) - F_0(x)|$ .

### 2.3.5 Deteksi *Outlier*

Pada pengamatan *time series* biasanya dipengaruhi oleh suatu peristiwa tertentu, misalnya adanya perang, krisis ekonomi atau politik, suhu lingkungan yang secara tiba-tiba sangat tinggi, dan kesalahan penulisan pada saat memasukkan data. Akibat adanya peristiwa itu menyebabkan pengamatan pada saat peristiwa terjadi berada jauh dari nilai rata-ratanya. Hal ini biasanya disebut sebagai *outlier*. Ada 4 jenis *outlier* yaitu *Additive Outlier* (AO), *Innovative Outlier* (IO), *Level Shift* (LS), dan *Temporary Change* (TC). Jenis AO merupakan suatu *outlier*

*outlier* yang hanya mempengaruhi pada saat pengamatan ke- $T$ , sedangkan untuk model IO, LS, dan TC berpengaruh pada pengamatan ke- $T$ ,  $T+1$ ,  $T+2$ , dan seterusnya. Sedangkan dalam penelitian ini deteksi *outlier* yang digunakan hanya AO dan LS.

Misalkan suatu series  $X_1, X_2, \dots, X_t$  dengan model ARMA ( $p, q$ ) atau dapat ditulis sebagai

$$\phi(B)X_t = \theta(B)a_t \quad (2.24)$$

dimana model telah stasioner dan memenuhi asumsi residual *white noise* dan distribusinya normal, sehingga masing-masing model *outlier* dapat dirumuskan sebagai berikut.

1. Model ARIMA dengan *outlier* AO

$$\begin{aligned} Z_t &= \begin{cases} X_t, & t \neq T \\ X_t + \omega_{AO}, & t = T \end{cases} \\ &= X_t + \omega_{AO} I_t^{(T)} \\ &= \frac{\theta(B)}{\phi(B)} a_t + \omega_{AO} I_t^{(T)} \end{aligned} \quad (2.25)$$

dengan  $I_t^{(T)} = \begin{cases} 1, & t = T \\ 0, & t \neq T. \end{cases}$

2. Model ARIMA dengan *outlier* LS

$$Z_t = X_t + \frac{1}{(1-B)} \omega_{LS} S_t^{(T)} \quad (2.26)$$

dengan  $S_t^{(T)} = \begin{cases} 1, & t \geq T \\ 0, & t < T. \end{cases}$

3. Model ARIMA dengan *outlier* IO

$$Z_t = X_t + \frac{\theta(B)}{\phi(B)} \omega_{IO} I_t^{(T)} \quad (2.27)$$

4. Model ARIMA dengan *outlier* TC

$$Z_t = X_t + \frac{1}{(1-\delta B)} \omega_{TC} I_t^{(T)} \quad (2.28)$$

Sedangkan secara umum model ARIMA dengan *outlier* sebanyak  $k$  dapat dituliskan sebagai berikut (Wei, 2006),

$$Z_t = \sum_{j=1}^k \omega_j v_j(B) I_j^{(T_j)} + \frac{\theta(B)}{\phi(B)} a_t \quad (2.29)$$

dimana

$I_j^{(T_j)}$  = variabel yang menunjukkan adanya *outlier* pada waktu ke- $T_j$

$v_j(B) = 1$  untuk AO

$v_j(B) = \frac{\theta(B)}{\phi(B)}$  untuk AO

$v_j(B) = \frac{1}{(1-B)}$  untuk LS

$v_j(B) = \frac{1}{(1-\delta B)}$ ;  $0 < \delta < 1$  untuk TC.

Langkah-langkah dalam melakukan deteksi *outlier* dengan prosedur iteratif menurut Wei (2006) adalah sebagai berikut (misalkan ada 2 jenis *outlier* yang dideteksi yaitu AO dan IO).

1. Melakukan pemodelan data *time series* dengan asumsi tidak ada *outlier*, sehingga didapatkan model residual dan estimasi dari  $\sigma_a^2$  seperti dalam persamaan 2.30 dan 2.31

$$\hat{e}_t = \hat{\pi}(B) Z_t = \frac{\hat{\phi}(B)}{\hat{\theta}(B)} Z_t \quad (2.30)$$

$$\hat{\sigma}_a^2 = \frac{1}{n} \sum_{t=1}^n \hat{e}_t^2 \quad (2.31)$$

keterangan:

$$\hat{\phi}(B) = (1 - \hat{\phi}_1 B - \dots - \hat{\phi}_p B^p)$$

$$\hat{\theta}(B) = (1 - \hat{\theta}_1 B - \dots - \hat{\theta}_q B^q).$$

2. Langkah kedua yaitu menghitung nilai dari  $\lambda_{i,t}$  dengan  $t = 1, 2, \dots, n$  menggunakan estimasi model dengan persamaan yang didefinisikan sebagai berikut

$$\hat{\lambda}_T = \max_t \max_i \left\{ \left| \hat{\lambda}_{i,t} \right| \right\} \quad (2.32)$$

dimana  $T$  merupakan waktu pada saat nilai maksimum. Jika  $\hat{\lambda}_T = |\hat{\lambda}_{1,t}| > C$  dimana  $C$  merupakan konstanta positif yang biasanya bernilai antara 3 dan 4 dan AO pada waktu  $T$ , maka persamaan model baru dapat ditulis sebagai berikut

$$\tilde{Z}_t = Z_t - \hat{\omega}_{AT} I_t^{(T)} \quad (2.33)$$

dan persamaan residual yang baru adalah

$$\tilde{e}_t = \hat{e}_t - \hat{\omega}_{AT} \hat{\pi}(B) I_t^{(T)}. \quad (2.34)$$

Jika  $\hat{\lambda}_T = |\hat{\lambda}_{1,t}| > C$  dan IO pada waktu  $T$ , maka persamaan model baru dapat ditulis sebagai berikut

$$\tilde{Z}_t = Z_t - \frac{\hat{\theta}(B)}{\hat{\phi}(B)} \hat{\omega}_{IT} I_t^{(T)} \quad (2.35)$$

dan persamaan residual yang baru adalah

$$\tilde{e}_t = \hat{e}_t - \hat{\omega}_{IT} I_t^{(T)}. \quad (2.36)$$

3. Langkah ketiga yaitu melakukan perhitungan pada  $\hat{\lambda}_{1,t}$  dan  $\hat{\lambda}_{2,t}$  berdasarkan hasil residual dan  $\hat{\sigma}_a^2$  yang baru dan mengulang langkah kedua secara terus menerus hingga semua *outlier* dapat terdeteksi.
4. Membentuk model seperti pada persamaan (2.29) setelah diidentifikasi  $k$  *outlier* pada waktu  $T_1, T_2, \dots, T_k$  dengan estimasi parameter *outlier* adalah  $\omega_1, \omega_2, \dots, \omega_k$ .

### 2.3.6 Kriteria Model Terbaik

Untuk melakukan pemilihan model terbaik pada kriteria data *in sample* dan *out sample* dapat menggunakan perhitungan

*Root Mean Square Error* (RMSE) yang dirumuskan sebagai berikut.

$$RMSE = \sqrt{\frac{1}{L} \sum_{l=1}^L (Z_{n+l} - \hat{Z}_n(l))^2} \quad (2.37)$$

Perhitungan RMSE ini merupakan salah satu ukuran yang paling sering digunakan karena menurut Hyndman & Koehler (2006), ukuran ini memiliki relevansi secara teoritis dalam pemodelan statistik. Selain RMSE, perhitungan kriteria pemilihan model terbaik dari data *out sample* juga dapat menggunakan *Symmetric Mean Absolute Percentage Error* (SMAPE) dan *Mean Absolute Percentage Error* (MAPE). MAPE merupakan suatu persentase kesalahan rata-rata absolut. Rumus umum dari MAPE dan SMAPE dapat dituliskan sebagai berikut:

$$MAPE = \left( \frac{1}{L} \sum_{l=1}^L \left| \frac{Z_{n+l} - \hat{Z}_n(l)}{Z_{n+l}} \right| \right) \times 100 \quad (2.38)$$

$$SMAPE = \left( \frac{1}{L} \sum_{l=1}^L \frac{\left| Z_{n+l} - \hat{Z}_n(l) \right|}{\frac{Z_{n+l} + \hat{Z}_n(l)}{2}} \right) \times 100 \quad (2.39)$$

dengan

$Z_{n+l}$  : data aktual *out sample* ke- $l$ ,  $l = 1, 2, \dots, L$

$\hat{Z}_l(l)$  : data hasil ramalan *out sample* ke- $l$ .

## 2.4 Konsep Logika Fuzzy

Istilah fuzzy pertama kali diperkenalkan oleh seorang ilmuwan yang bernama Lotfi A. Zadeh dalam tulisannya yang berjudul “*From the Theory of Systems to the Theory of Circuits*”. Dalam tulisan tersebut Lotfi A. Zadeh membutuhkan suatu alat untuk menghadapi kondisi yang disebut *fuzzy* atau kabur. Maksud dari *fuzzy* adalah suatu nilai yang dapat bernilai besar atau salah

secara bersamaan yang mempunyai derajat keanggotaan dengan rentang nilai nol (0) hingga satu (1).

#### **2.4.1 Himpunan Klasik (*crisp*)**

Pada teori ini keberadaan suatu elemen  $A$  hanya akan memiliki 2 kemungkinan keanggotan yaitu menjadi anggota  $A$  atau bukan anggota  $A$  (Chak *et al.*, 1998). Suatu nilai yang menunjukkan besarnya tingkat keanggotaan suatu elemen ( $x$ ) dalam himpunan ( $A$ ) disebut sebagai derajat keanggotaan yang dinotasikan dengan  $\mu_A(x)$ . Pada himpunan klasik ini hanya ada 2 nilai keanggotaan, yaitu  $\mu_A(x)=1$  untuk  $x$  menjadi anggota  $A$  dan  $\mu_A(x)=0$  untuk  $x$  bukan anggota dari  $A$ . Misalnya ada suatu himpunan  $S=\{1,3,5,7,9\}$  merupakan semesta pembicaraan dengan  $A=\{1,2,3\}$  dan  $B=\{3,4,5\}$ , maka didapatkan nilai keanggotaan sebagai berikut :

- Nilai keanggotaan 1 pada himpunan  $A$ ,  $\mu_A[1]=1$  karena  $1 \in A$ .
- Nilai keanggotaan 3 pada himpunan  $A$ ,  $\mu_A[3]=1$  karena  $3 \in A$ .
- Nilai keanggotaan 2 pada himpunan  $B$ ,  $\mu_B[2]=0$  karena  $2 \notin B$ .
- Nilai keanggotaan 4 pada himpunan  $B$ ,  $\mu_B[4]=1$  karena  $4 \in B$ .

#### **2.4.2 Himpunan *Fuzzy***

Lotfi A. Zadeh menyatakan bahwa jika  $X$  merupakan himpunan yang berasal dari objek-objek dan dinotasikan secara generik oleh  $x$ , maka himpunan *fuzzy*  $\tilde{A}$  dalam  $x$  adalah himpunan pasangan berurutan (Kusumadewi dan Hartati, 2006).

$$A = \{(x, \mu_A(x)) | x \in X\} \quad (2.40)$$

$\mu_A$  merupakan derajat keanggotaan  $x$  di  $A$  yang memetakan  $X$  ke ruang keanggotaan  $M$  pada rentang  $[0,1]$ . Himpunan *fuzzy* merupakan himpunan yang bobot nilai anggotanya berada pada interval 0 sampai 1.

### 2.4.3 Fungsi Keanggotaan

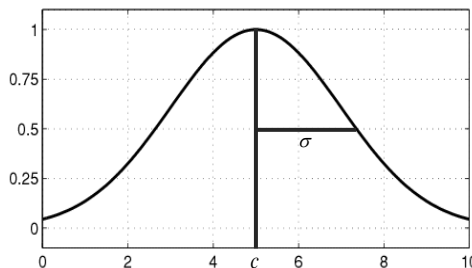
Fungsi keanggotaan merupakan suatu kurva yang menunjukkan pemetaan titik-titik input ke dalam nilai keanggotaannya. Salah satu cara yang dapat digunakan untuk mendapatkan nilai keanggotaan adalah melalui pendekatan fungsi. Berikut ini beberapa fungsi yang biasanya digunakan :

#### 1. Fungsi Keanggotaan *Gaussian*

Rumus umum dari persamaan fungsi *Gaussian* adalah sebagai berikut,

$$f(x; \sigma, c) = e^{\frac{-(x-c)^2}{2\sigma^2}} \quad (2.41)$$

dengan parameter  $c$  menunjukkan nilai rata-rata dan  $\sigma$  merupakan standar deviasi. Grafik fungsi keanggotaan *Gaussian* dapat dilihat pada Gambar 2.1.



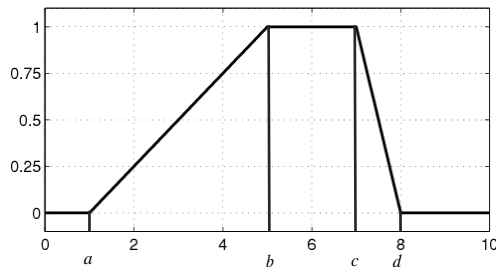
**Gambar 2.1** Grafik Fungsi *Gaussian*

#### 2. Fungsi Keanggotaan *Trapezoidal*

Rumus umum dari persamaan fungsi *Trapezoidal* adalah sebagai berikut.

$$f(x; a, b, c, d) = \begin{cases} 0; & x \leq a \\ (x-a)/(b-a); & a \leq x \leq b \\ 1; & b \leq x \leq c \\ (d-x)/(d-c); & c \leq x \leq d \\ 0; & d \leq x \end{cases} \quad (2.42)$$

Grafik fungsi keanggotaan *Trapezoidal* dapat dilihat pada Gambar 2.2.



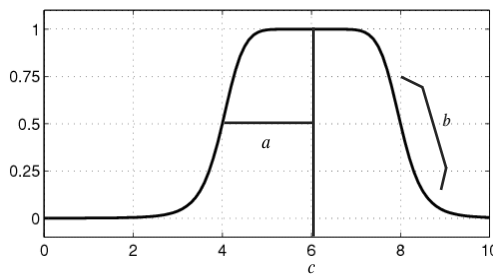
**Gambar 2.2** Grafik Fungsi *Trapezoidal*

### 3. Fungsi Keanggotaan *Generalized Bell*

Rumus umum dari persamaan fungsi *Generalized Bell* adalah sebagai berikut.

$$f(x; a, b, c) = \frac{1}{1 + \left| \frac{x-c}{a} \right|^{2b}} \quad (2.43)$$

Grafik fungsi keanggotaan *Generalized Bell* dapat dilihat pada Gambar 2.3.



**Gambar 2.3** Grafik Fungsi *Generalized Bell*

## 2.5 Sistem Inferensi *Fuzzy*

Sistem inferensi *fuzzy* merupakan suatu kerangka komputasi yang didasarkan pada teori himpunan *fuzzy*. Aturan dari *fuzzy* berbentuk *if-then* dan penalaran *fuzzy*. Sistem ini menerima *input crisp*, kemudian *input* ini dikirim ke basis pengetahuan yang berisi  $n$  aturan *fuzzy* dalam bentuk *if-then*. *Fire strength* akan dicari dalam setiap aturan. Apabila jumlah aturan lebih dari satu, maka akan dilakukan agregasi dari semua aturan. Selanjutnya pada hasil agregasi akan dilakukan *defuzzy* untuk mendapatkan nilai *crisp* sebagai *output system* (Kusumadewi dan Hartati, 2006).

### 2.5.1 Metode Tsukamoto

Secara umum pada sistem inferensi ini didasarkan pada penalaran monoton. Nilai *crisp* pada daerah konsekuensi tidak didapatkan secara langsung melalui *fire strength* pada antecedennya. Salah satu syarat yang harus dipenuhi dalam metode ini adalah konsekuennya harus bersifat monoton baik naik ataupun turun. Jika pada penalaran monoton sistem hanya memiliki satu aturan, maka pada metode Tsukamoto ini terdiri atas beberapa aturan. *Output* dari hasil inferensi tiap-tiap aturan diberikan secara tegas (*crisp*) berdasarkan  $\alpha$  predikat (*fire strength*). Proses agregasi antar aturan dilakukan dan hasilnya akan didapatkan dengan menggunakan *defuzzy* dengan konsep rata-rata terbobot.

### 2.5.2 Metode Sugeno

Karakteristik dari metode ini adalah konsekuensi bukan himpunan *fuzzy*, namun merupakan suatu persamaan linier dengan variabel-variabel yang sesuai dengan variabel-variabel *input* yang digunakan. Pada metode ini terdapat 2 model yang digunakan, yaitu:

- a. Model Fuzzy Sugeno Orde 0

Bentuk dari model fuzzy Sugeno orde 0 adalah sebagai berikut,

$$\text{if } (x_1 \text{ is } A_1)^\circ (x_2 \text{ is } A_2)^\circ (x_3 \text{ is } A_3)^\circ \dots (x_N \text{ is } A_N)^\circ \text{ then } z=k \quad (2.44)$$

dengan  $A_i$  adalah himpunan fuzzy ke- $i$  sebagai antecedent,  $^\circ$  adalah operator fuzzy, dan  $k$  adalah suatu konstanta atau konsekuensi.

- b. Model Fuzzy Sugeno Orde 1

Bentuk dari model fuzzy Sugeno orde 1 adalah sebagai berikut,

$$\text{if } (x_1 \text{ is } A_1)^\circ \dots (x_N \text{ is } A_N)^\circ \text{ then } z = (p_1 \times x_1) + \dots + (p_N \times x_N) + q \quad (2.45)$$

dimana  $p_i$  merupakan konstanta ke- $i$  dan  $q$  adalah konstanta dalam konsekuensi. Rata-rata terbobot yang digunakan dalam proses agregasi dan defuzzy untuk mendapatkan nilai tegas sebagai *output* untuk  $M$  aturan fuzzy adalah sebagai berikut.

$$z = \frac{\sum_{k=1}^M \alpha_k z_k}{\sum_{k=1}^M \alpha_k} \quad (2.46)$$

### 2.6 Adaptive Neuro Fuzzy Inference System (ANFIS)

ANFIS adalah arsitektur yang secara fungsional sama dengan *fuzzy rule base* model Sugeno. Arsitektur dari ANFIS sama dengan jaringan syaraf dengan fungsi radial dan sedikit batasan tertentu. Misalkan ada 2 input  $x_1, x_2$  dan satu *output*  $y$ .

Ada 2 aturan pada basis model Sugeno yaitu :

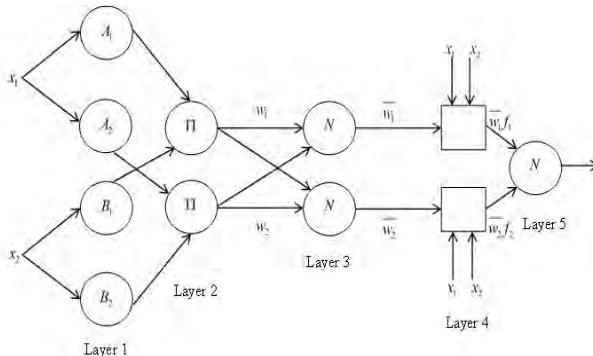
If  $x_1$  is  $A_1$  and  $x_2$  is  $B_1$ , then  $y_1 = c_{11}x_1 + c_{12}x_2 + c_{10}$

If  $x_1$  is  $A_2$  and  $x_2$  is  $B_2$ , then  $y_2 = c_{21}x_1 + c_{22}x_2 + c_{20}$

jika a predikat untuk kedua aturan adalah  $w_1$  dan  $w_2$ , maka dapat dihitung rata-rata terbobot sebagai berikut :

$$y = \frac{w_1 y_1 + w_2 y_2}{w_1 + w_2} = \bar{w}_1 y_1 + \bar{w}_2 y_2 \quad (2.47)$$

Bentuk dari struktur ANFIS yang terkenal adalah inferensi model Sugeno yang ditunjukkan pada Gambar 2.4 berikut ini (Kusumadewi dan Hartati, 2006).



**Gambar 2.4** Struktur ANFIS

Pada Gambar 2.4 menunjukkan bahwa terdapat 2 macam node yaitu adaptif bersimbol persegi dan node tetap bersimbol lingkaran. *Output* dari masing-masing lapisan (*layer*) dinotasikan sebagai  $O_{j,i}$ , dimana  $i$  merupakan banyaknya aturan dan  $j$  adalah banyaknya lapisan. Proses dari masing-masing lapisan akan dijelaskan sebagai berikut.

### 1. Lapisan Fuzzifikasi (*layer 1*)

Setiap neuron  $i$  pada *layer 1* adaptif terhadap parameter-parameter suatu fungsi aktivasi. Misalkan jika  $x_1 = Z_{t-1}$  dan  $x_2 = Z_{t-2}$ , maka secara matematis fungsi node tersebut dapat dituliskan sebagai berikut:

$$\begin{aligned}
 O_{1,1t} &= \mu_{A_1}(Z_{t-1}) \\
 O_{1,2t} &= \mu_{A_2}(Z_{t-1}) \\
 O_{1,3t} &= \mu_{B_1}(Z_{t-2}) \\
 O_{1,4t} &= \mu_{B_2}(Z_{t-2})
 \end{aligned} \tag{2.48}$$

dimana  $O_{1,i}$  merupakan derajat keanggotaan himpunan fuzzy  $A(A_1 A_2 B_1 B_2)$ . Fungsi keanggotaan untuk  $A$  dapat dirumuskan sebagai berikut (misalkan fungsi keanggotaan yang digunakan adalah jenis *Gauss*)

$$\mu_A(x_t) = e^{\frac{-(x_t - c)^2}{2\sigma^2}}. \tag{2.49}$$

## 2. Lapisan Produk atau Operasi Logika Fuzzy (*layer 2*)

Setiap node pada lapisan 2 ini adalah node tetap berlabel  $\Pi$  dengan nilai *output* berasal dari hasil masukan. Oleh karena itu, *output* yang dihasilkan dari lapisan 2 dapat dirumuskan sebagai berikut:

$$\begin{aligned}
 O_{2,1t} &= w_{1t} = \mu_{A_1}(Z_{t-1}) \mu_{B_1}(Z_{t-2}) \\
 O_{2,2t} &= w_{2t} = \mu_{A_2}(Z_{t-1}) \mu_{B_2}(Z_{t-2}).
 \end{aligned} \tag{2.50}$$

## 3. Lapisan Normalisasi (*layer 3*)

Node pada lapisan 3 merupakan node tetap berlabel N. *Output* yang dihasilkan oleh lapisan 3 dapat dituliskan dalam persamaan berikut ini:

$$O_{3,it} = w_{it}^* = \frac{w_{it}}{w_{1t} + w_{2t}}, \text{ dengan } i = 1, 2 \tag{2.51}$$

dimana  $w_{it}^*$  adalah nilai derajat pengaktifan ternormalisasi.

## 4. Lapisan Defuzzifikasi (*layer 4*)

Setiap node pada lapisan 4 adalah node adaptif dengan fungsi node sebagai berikut:

$$\begin{aligned}
 O_{4,1t} &= w_{1t}^* Z_t^{(1)} = w_{1t}^* (\alpha_1 Z_{t-1} + \beta_1 Z_{t-2} + \gamma_1) \\
 O_{4,2t} &= w_{2t}^* Z_t^{(2)} = w_{2t}^* (\alpha_2 Z_{t-1} + \beta_2 Z_{t-2} + \gamma_2)
 \end{aligned} \tag{2.52}$$

dimana  $\alpha_i, \beta_i, \gamma_i$  merupakan himpunan parameter dari node tersebut dan disebut sebagai parameter konsekuensi.

### 5. Lapisan Total Output (*layer 5*)

Tiap-tiap neuron pada *layer 5* merupakan node tetap yang berupa jumlahan dari semua masukan yang dirumuskan sebagai berikut.

$$O_{5t} = \hat{Z}_t = w_{1t}^* Z_t^{(1)} + w_{2t}^* Z_t^{(2)}. \quad (2.53)$$

## 2.7 Ketenagalistrikan

Pada UU No. 20 Tahun 2002 menjelaskan bahwa tenaga listrik adalah suatu bentuk energi sekunder yang dibangkitkan, ditransmisikan, dan didistribusikan untuk segala macam keperluan, tidak termasuk listrik yang digunakan untuk komunikasi, elektronika, atau isyarat. Besarnya konsumsi listrik yang digunakan tergantung dari perilaku konsumen dalam menggunakan alat-alat listriknya. Dari perilaku konsumen tersebut, selanjutnya PT. PLN (persero) harus mampu menyesuaikan daya listrik yang disalurkan dari waktu ke waktu. Ada tiga komponen utama didalam sistem ketenagalistrikan diantaranya sistem pembangkit, transmisi, dan distribusi. Sistem pembangkitan tersusun atas sejumlah unit-unit pembangkit yang secara umum menyebar pada daerah pelayanan interkoneksi jaringan sistem tenaga listrik. Pada sistem pembangkit ini biasanya mempunyai lebih dari satu unit pembangkit yang jumlahnya sesuai dengan kebutuhan dan sarana infrastruktur untuk mendukung pengoperasian sistem-sistem tersebut. Sistem pembangkit terbagi menjadi beberapa macam diantaranya Pusat Pembangkitan Listrik Tenaga Diesel (PLTD), Pusat Pembangkitan Tenaga Uap (PLTU), Pusat Pembangkitan Listrik Tenaga Air (PLTA), Pusat Pembangkitan Listrik Tenaga Panas Bumi (PLTP), dan lain-lain. Sistem transmisi merupakan proses penyaluran tenaga listrik dari pembangkit tenaga listrik menuju distribusi listrik sehingga dapat disalurkan ke konsumen. Fungsi

dari transmisi diantaranya dapat menyalurkan energi listrik dari pembangkit ke gardu induk, menyalurkan dari satu gardu induk ke gardu induk lainnya, dan dari gardu induk ke jaringan tegangan menengah dan gardu distribusi. Sedangkan sistem distribusi merupakan bagian dari sistem tenaga listrik yang umumnya banyak mengalami gangguan. Karena sistem ini adalah sistem yang hubungannya paling dekat dengan pelanggan (Marsudi, 2006).

## **BAB III**

### **METODOLOGI PENELITIAN**

Pada bab ini di bahas tentang metodologi penelitian yang meliputi sumber data, variabel penelitian, metode analisis data, serta diagram alir penelitian.

#### **3.1 Sumber Data dan Variabel Penelitian**

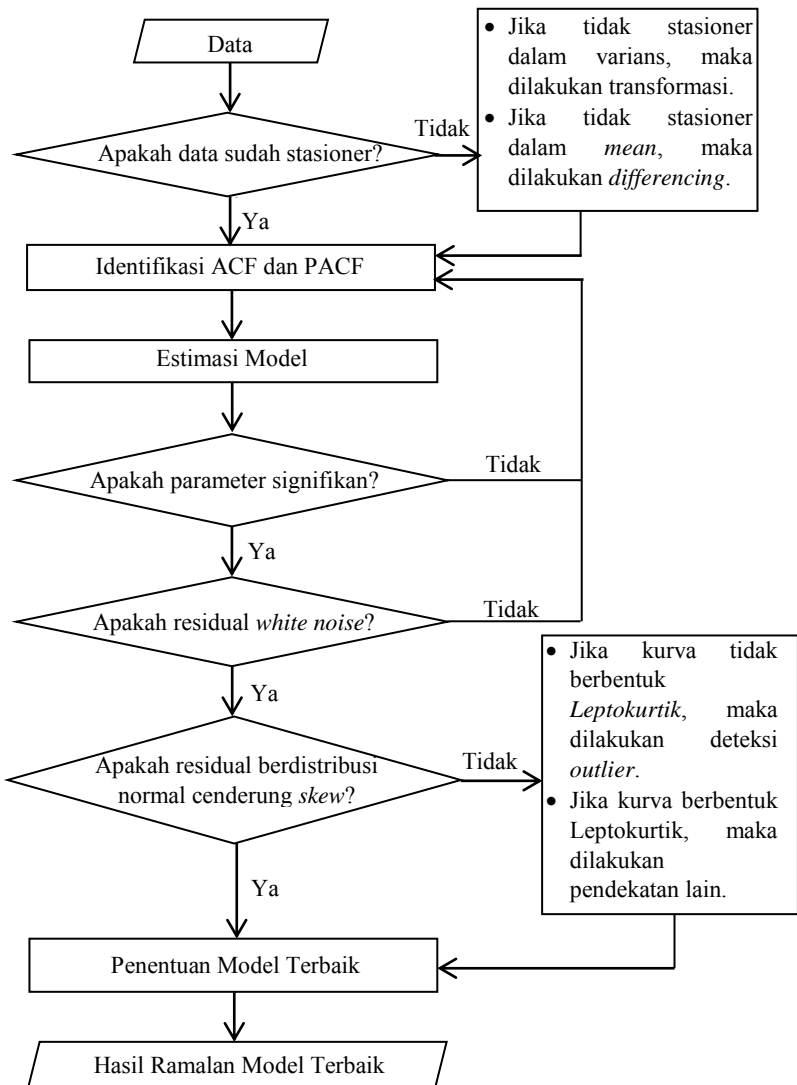
Data yang digunakan dalam penelitian ini adalah data sekunder yang diperoleh dari PT. PLN (persero) P3B Jawa-Bali berupa data konsumsi listrik pada bulan September 2013 hingga Agustus 2014. Variabel yang digunakan dalam penelitian ini yaitu beban listrik per setengah jam untuk wilayah Jawa Timur.

#### **3.2 Metode Analisis Data**

Langkah awal yang dilakukan sebelum menganalisis yaitu membagi data menjadi dua. Data konsumsi listrik pada tanggal 6 Januari 2013 hingga 11 Agustus 2014 sebagai data *in-sample* dan data konsumsi listrik pada 12 Agustus 2014 hingga 25 Agustus 2014 sebagai data *out-sample*. Metode yang digunakan dalam penelitian ini yaitu ARIMA dan ANFIS. Dari kedua metode tersebut akan dibandingkan hasilnya berdasarkan nilai RMSE, SMAPE, dan MAPE yang terkecil sebagai model yang paling sesuai.

Berikut langkah analisis yang digunakan dalam melakukan penelitian ini.

1. Melakukan identifikasi terhadap karakteristik beban listrik di Jawa Timur per setengah jam dengan metode statistika deskriptif.
2. Meramalkan data beban listrik di Jawa Timur menggunakan model ARIMA berdasarkan prosedur Box-Jenkins.
3. Meramalkan data beban listrik di Jawa Timur menggunakan model ANFIS.
4. Membandingkan hasil peramalan dari metode ARIMA dan ANFIS yang mempunyai keakuratan tinggi berdasarkan nilai RMSE, SMAPE, dan MAPE.



**Gambar 3.1** Diagram Alir Model Peramalan ARIMA

Berikut uraian dari langkah analisis yang digambarkan pada Gambar 3.1 dalam melakukan peramalan dengan model ARIMA melalui prosedur Box-Jenkins.

1. Identifikasi model

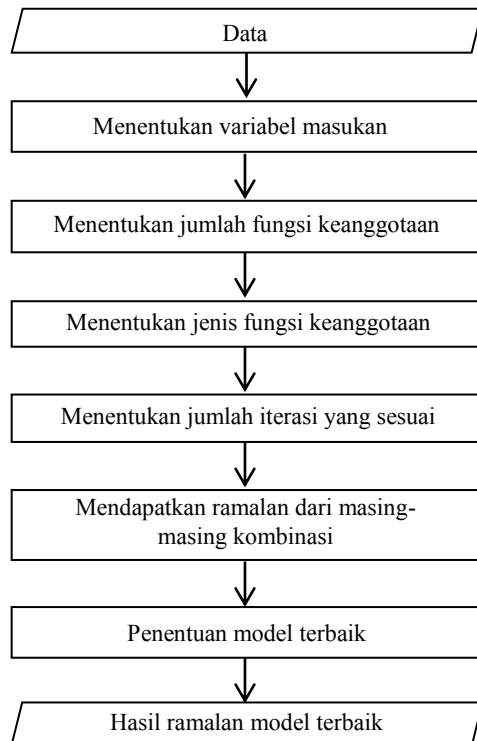
Sebelum melakukan identifikasi model ARIMA, hal yang harus dilakukan adalah memeriksa kestasioneran dalam *mean* dan varians pada data *in sample*. Pada saat data terbukti tidak stasioner dalam varians, maka langkah yang harus dilakukan adalah transformasi Box-Cox. Sedangkan jika data tidak stasioner dalam *mean*, maka harus melakukan differencing. Kemudian bila data telah stasioner dalam *mean* dan varians, maka langkah berikutnya yaitu mengidentifikasi model dengan melihat plot ACF dan PACF.

2. Melakukan estimasi model menggunakan paket program SAS berdasarkan metode CLS. Selanjutnya hasil dari estimasi tersebut diuji menggunakan statistik uji *t*.
3. Uji kesesuaian model dengan uji *white noise*.
4. Jika pada saat pengujian residual tidak memenuhi asumsi distribusi normal, maka langkah selanjutnya yang harus dilakukan adalah deteksi outlier. Cara melakukan deteksi outlier yaitu menyertakan outlier didalam model ARIMA.
5. Meramalkan data out-sample berdasarkan beberapa model yang terbentuk.
6. Menentukan nilai MAPE pada masing-masing model.
7. Memilih model terbaik berdasarkan nilai MAPE terkecil.

Berikut uraian dari langkah analisis yang digambarkan pada Gambar 3.2 dalam melakukan peramalan dengan model ANFIS.

1. Melakukan penentuan variabel masukan berdasarkan lag AR dengan syarat variabel tersebut harus signifikan dan diasumsikan tidak mengandung trend.
2. Menentukan jumlah fungsi keanggotaan.
3. Menentukan jenis fungsi keanggotaan.
4. Melakukan iterasi hingga nilai parameter konvergen dengan *error* yang minimum.

5. Melakukan peramalan dari masing-masing kombinasi jenis fungsi dan jumlah keanggotaannya.
6. Penentuan model yang paling sesuai berdasarkan nilai RMSE, SMAPE, dan MAPE terkecil.



**Gambar 3.2** Diagram Alir Model Peramalan ANFIS

## **BAB IV**

### **ANALISIS DAN PEMBAHASAN**

Pada bab ini dibahas tentang hasil penelitian terhadap konsumsi beban listrik di Jawa Timur. Sebelum melakukan peramalan, terlebih dahulu menyajikan statistika deskriptif dari data untuk mengetahui karakteristiknya. Analisis yang digunakan untuk meramalkan konsumsi beban listrik beberapa periode kedepan diantaranya ARIMA dan ANFIS.

#### **4.1 Karakteristik Konsumsi Beban Listrik di Jawa Timur**

Pada analisis statistika deskriptif ini digunakan untuk mengetahui karakteristik konsumsi beban listrik di Jawa Timur tiap setengah jam yang ditunjukkan dalam Tabel 4.1 berikut ini.

**Tabel 4.1** Hasil Analisis Deskriptif Konsumsi Beban Listrik di Jawa Timur

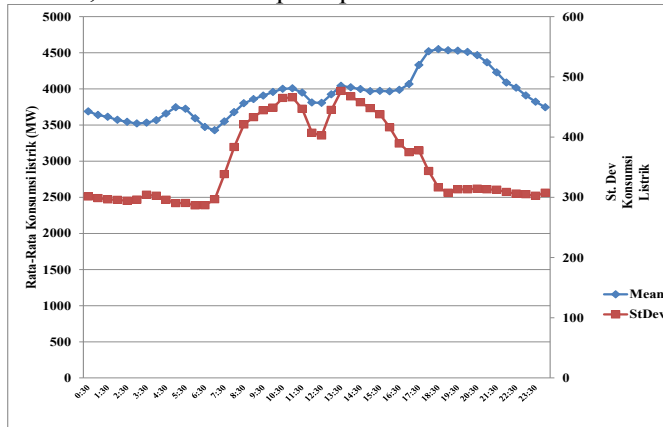
Jam	Rata-Rata	Standar Deviasi	Selang Kepercayaan 95% untuk Rata-Rata	
			Batas Bawah	Batas Atas
00:30	3688,8	301,3	3664	3713,6
01:00	3639,4	298,7	3614,8	3664
01:30	3612,7	296,5	3588,3	3637,1
02:00	3571	295,7	3546,7	3595,3
02:30	3543,8	294,2	3519,6	3568
03:00	3520,9	296,1	3496,5	3545,3
03:30	3531,1	304,2	3506,1	3556,1
04:00	3566,4	302,5	3541,5	3591,3
04:30	3659,2	295,8	3634,9	3683,5
05:00	3746	290,2	3722,1	3769,9
05:30	3724,7	290,4	3700,8	3748,6
06:00	3592,3	286,5	3568,7	3615,9
06:30	3472,3	286,8	3448,7	3495,9
07:00	3428,5	296,7	3404,1	3452,9
07:30	3549,6	338,4	3521,7	3577,5
08:00	3677,4	383,4	3645,8	3709
08:30	3800,2	420,9	3765,6	3834,8
09:00	3857,9	433	3822,3	3893,5
09:30	3907,8	444,5	3871,2	3944,4
10:00	3957,3	448,8	3920,4	3994,2

**Tabel 4.1** (lanjutan)

Jam	Rata-Rata	Standar Deviasi	Selang Kepercayaan 95% untuk Rata-Rata	
			Batas Bawah	Batas Atas
10:30	4001,5	464,8	3963,2	4039,8
11:00	4007,5	465,9	3969,2	4045,8
11:30	3948,3	446,9	3911,5	3985,1
12:00	3812,1	407,2	3778,6	3845,6
12:30	3806,1	402,5	3773	3839,2
13:00	3925	445	3888,4	3961,6
13:30	4042,8	476,5	4003,6	4082
14:00	4020,9	467,6	3982,4	4059,4
14:30	3996,6	457,7	3958,9	4034,3
15:00	3967,1	448	3930,2	4004
15:30	3972,4	437,7	3936,4	4008,4
16:00	3965,7	416,1	3931,5	3999,9
16:30	3987,5	389,2	3955,5	4019,5
17:00	4067,3	374,9	4036,4	4098,2
17:30	4330,8	377,8	4299,7	4361,9
18:00	4520,1	343,7	4491,8	4548,4
18:30	4549,8	316,4	4523,8	4575,8
19:00	4533	307,5	4507,7	4558,3
19:30	4529,4	313,1	4503,6	4555,2
20:00	4511,2	313,1	4485,4	4537
20:30	4466,9	314,3	4441	4492,8
21:00	4367,8	313,1	4342	4393,6
21:30	4228,3	312,5	4202,6	4254
22:00	4087,1	308,8	4061,7	4112,5
22:30	4016,6	306	3991,4	4041,8
23:00	3908,8	305	3883,7	3933,9
23:30	3822,4	302,5	3797,5	3847,3
00:00	3745,5	307,5	3720,2	3770,8

Berdasarkan Tabel 4.1 menunjukkan bahwa rata-rata konsumsi beban listrik tertinggi sebesar 4549,8 MW dan yang terendah sebesar 3428,5 MW. Rata-rata konsumsi tertinggi tersebut terjadi pada sekitar pukul 18.30 WIB. Hal ini sangat wajar karena pada saat itu biasanya para konsumen mulai banyak memanfaatkan peralatan elektroniknya (untuk konsumen rumah tangga biasanya sudah pulang dari aktivitas luar rumah dan konsumen industri lebih banyak membutuhkan penerangan). Sedangkan untuk rata-rata konsumsi listrik terendah terjadi pada pagi hari

pukul 07.00 WIB karena biasanya para konsumen khususnya rumah tangga sudah banyak yang melakukan aktivitas di luar rumah. Standar deviasi tertinggi terjadi pada pukul 13.30 WIB sebesar 476,5 dan terendah pada pukul 06.00 WIB sebesar 286,5.

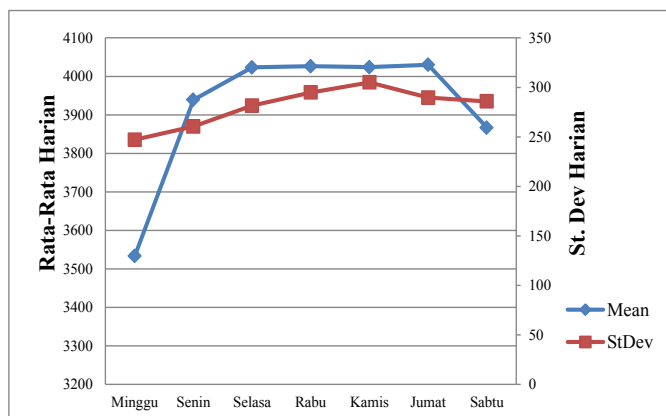


Listrik Tiap Setengah Jam

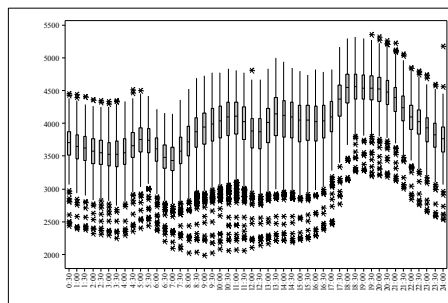
Pada Gambar 4.1 menunjukkan bahwa rata-rata konsumsi beban listrik per setengah jam bersifat fluktuatif, dimana rata-rata terendah terjadi sekitar dini hari pada saat orang beristirahat (tidur) yaitu pada pukul 00.30 WIB hingga 03.00 WIB. Kemudian rata-rata konsumsi beban listrik mulai sedikit mengalami peningkatan lagi pada saat orang-orang memulai aktivitasnya bekerja sekitar pukul 04.00 WIB hingga 05.30 WIB. Sedangkan rata-rata pemakaian listrik yang konstan terjadi pada siang hari yaitu sekitar 13.00 WIB hingga 17.00 WIB karena pada saat itu banyak orang yang istirahat atau berada di luar rumah sehingga tidak banyak memanfaatkan listrik. Kenaikan rata-rata konsumsi listrik secara drastis terjadi pada saat banyak orang yang pulang dari aktivitas luar rumah yaitu pada pukul 17.30 WIB hingga 21.00 WIB. Selain itu juga pada Gambar 4.1 menunjukkan bahwa keragaman konsumsi beban listrik pada malam hari yaitu sejak pukul 19.00 WIB hingga pagi hari pukul 07.30 WIB relatif kecil. Hal ini disebabkan oleh aktivitas konsumen yang tidak terlalu beragam pada waktu tersebut. Sedangkan keberagaman perilaku

konsumen yang tinggi terhadap pemakaian listrik terjadi pada jam kerja dari pukul 08.00 WIB hingga 17.00 WIB. Rendahnya rata-rata konsumsi listrik diantara pukul 00:00 hingga 06:00 dan tingginya rata-rata pada saat pukul 18:30 sampai 21:00 yang disertai rendahnya keragaman disebabkan oleh aktivitas masyarakat pada jam-jam tersebut hampir sama. Dimana pada pagi hari mereka masih beristirahat dan baru memulai aktivitas sehingga listrik yang digunakan hanya sedikit.

Pada Gambar 4.2 menunjukkan bahwa rata-rata harian konsumsi beban listrik bersifat konstan pada hari Senin hingga Jumat. Hal ini disebabkan pada hari tersebut merupakan hari efektif kerja sehingga aktivitas pemakaian listrik konsumen pada hari-hari tersebut relatif sama. Rata-rata pemakaian listrik mengalami penurunan pada hari Sabtu dan Minggu karena pada saat itu banyak industri dan perkantoran yang libur sehingga tidak memerlukan energi listrik yang besar. Pada setiap harinya, keberagaman perilaku konsumen yang tinggi terjadi pada saat hari kerja yakni Senin hingga Jumat.



**Gambar 4.2** Rata-Rata dan Standar Deviasi Konsumsi Beban Listrik Tiap Hari

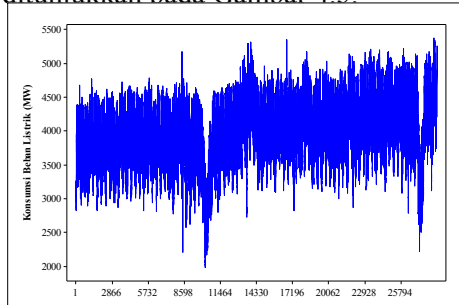


**Gambar 4.3 Box Plot Konsumsi Beban Listrik Tiap Setengah Jam**

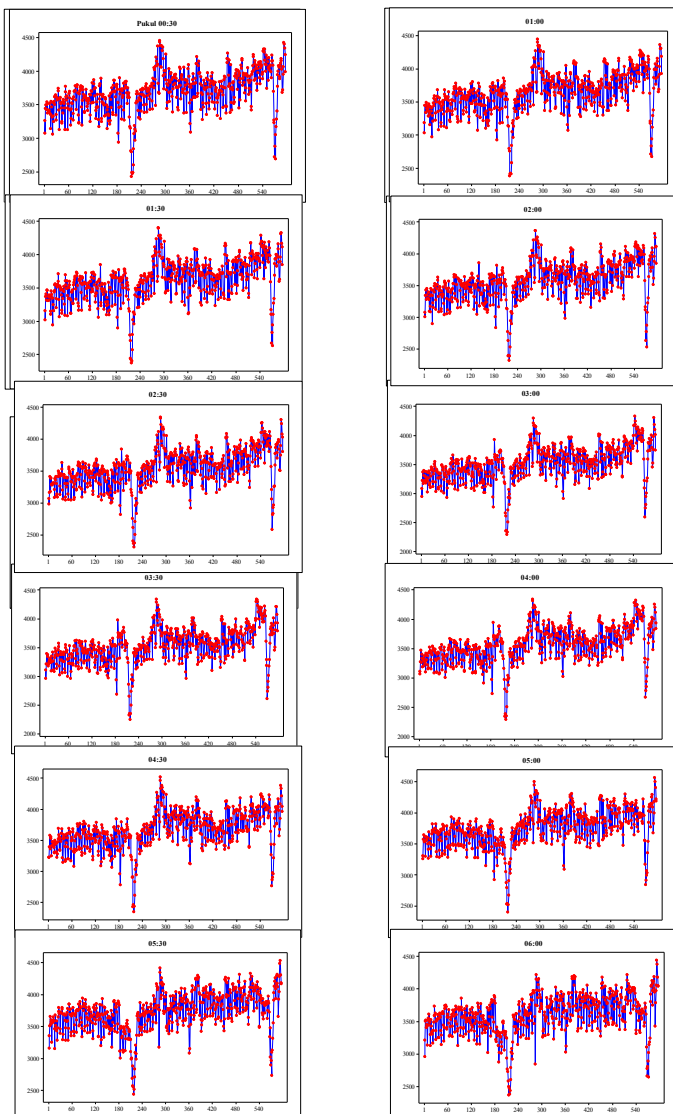
Berdasarkan Gambar 4.3 terdapat banyak data yang *outlier* dengan nilai lebih kecil dari rata-ratanya. Hal ini menunjukkan bahwa pemakaian listrik di Jawa Timur masih belum stabil. Ketidakstabilan tersebut biasanya diakibatkan oleh kerusakan pada gardu listrik yang berdampak pada pemadaman bergilir.

#### 4.2 Peramalan Konsumsi Beban Listrik di Jawa Timur Menggunakan Metode ARIMA

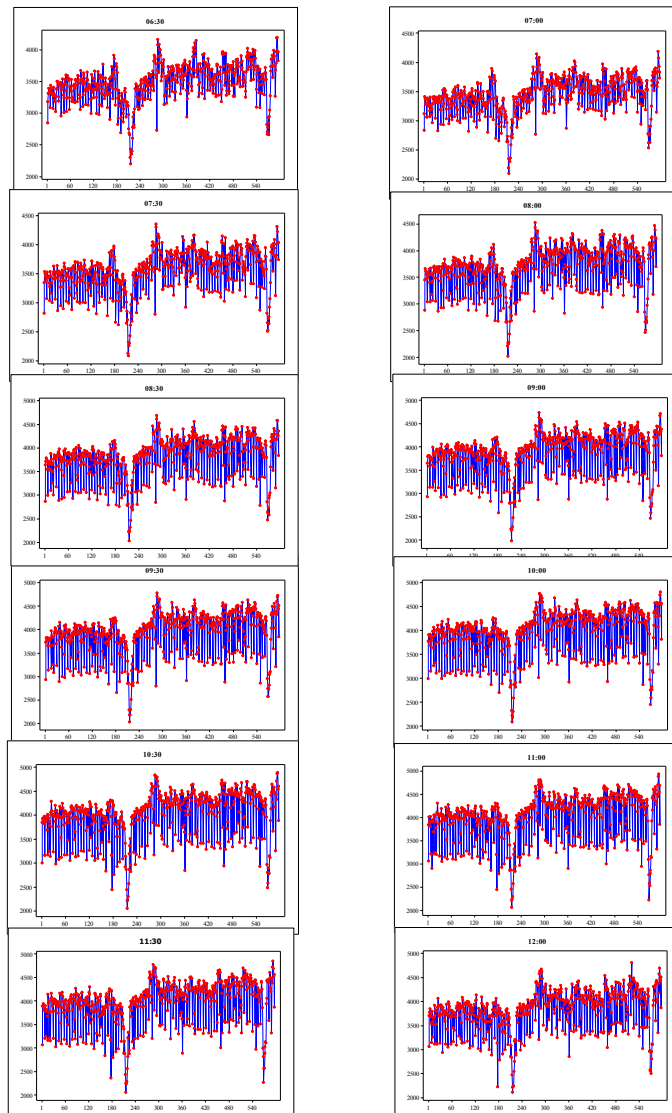
Sebelum melakukan peramalan terhadap konsumsi beban listrik di Jawa Timur, terlebih dahulu melihat pola data berdasarkan *Time Series Plot* seperti pada Gambar 4.4. Penerapan metode ARIMA dilakukan untuk meramalkan konsumsi beban listrik tiap setengah jam dengan masing-masing *Time Series Plot* seperti yang ditunjukkan pada Gambar 4.5.



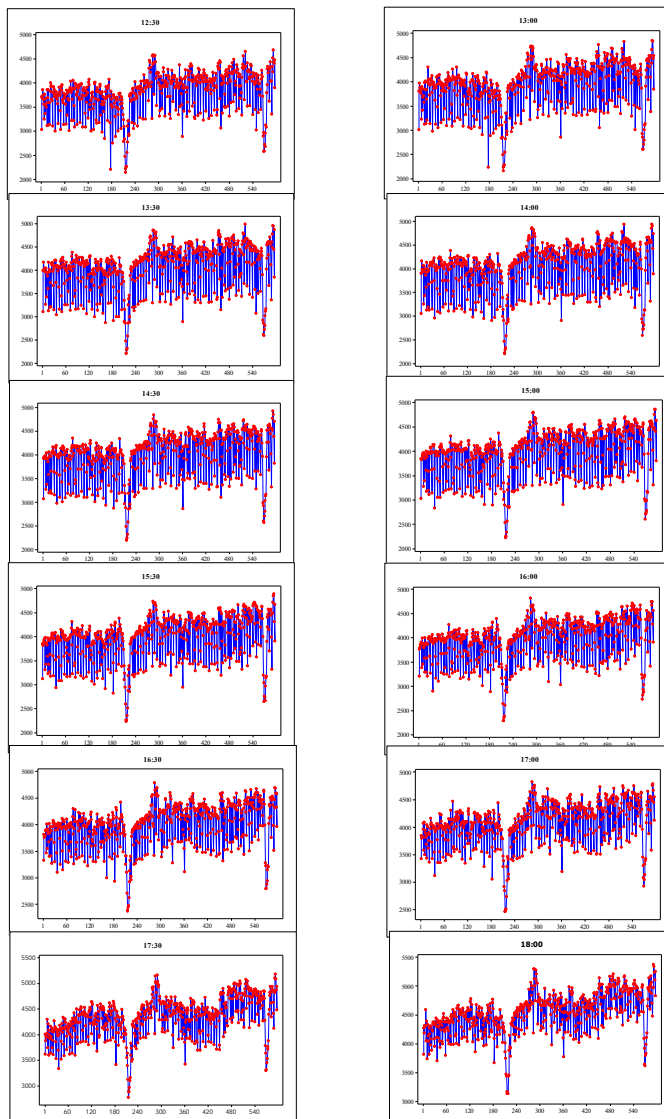
**Gambar 4.4 Time Series Plot Konsumsi Beban Listrik di Jawa Timur**



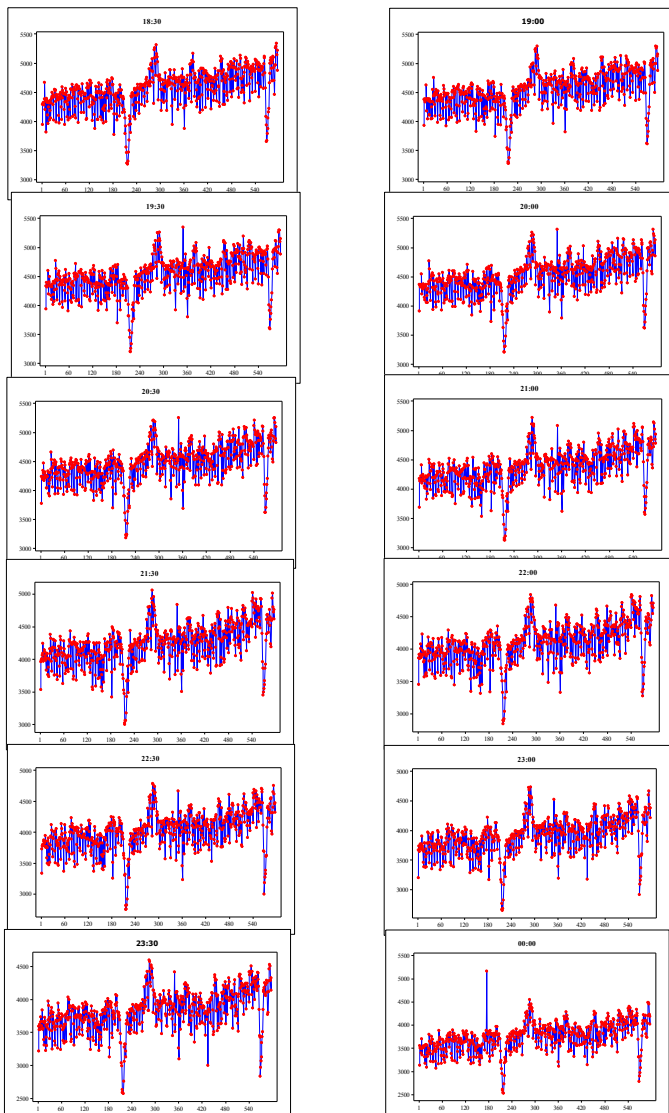
**Gambar 4.5 Time Series Plot Konsumsi Beban Listrik  
di Jawa Timur Tiap Setengah Jam**



Gambar 4.5 (lanjutan)



Gambar 4.5 (lanjutan)

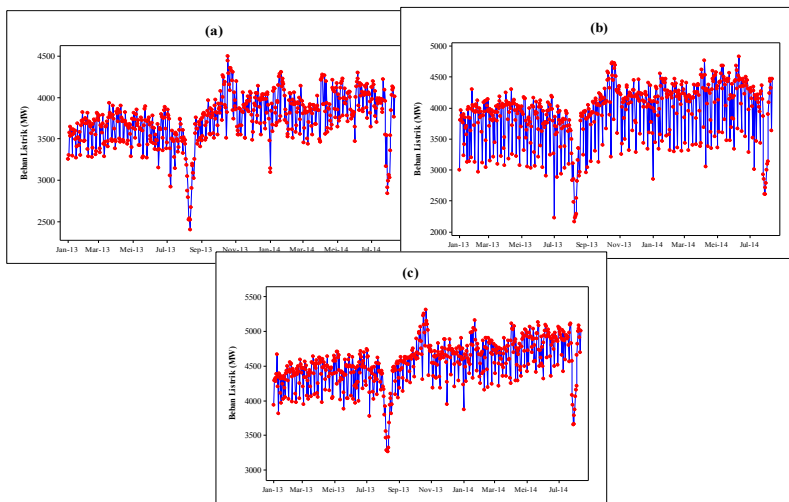


Gambar 4.5 (lanjutan)

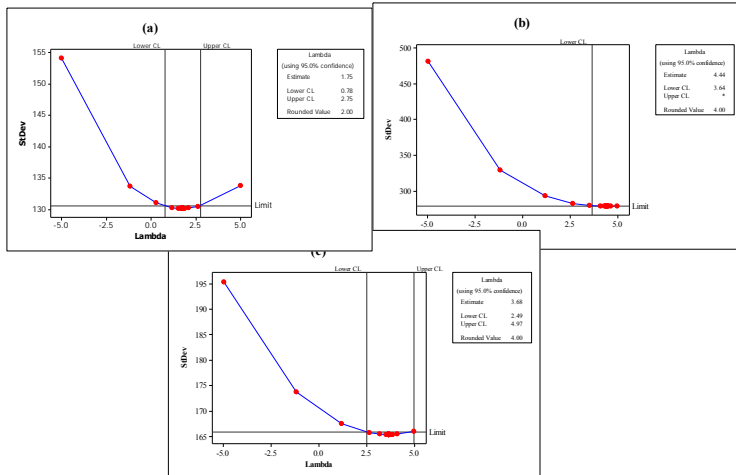
Dari data pada Gambar 4.4 selanjutnya dibagi menjadi 2 yaitu *in sample* sebanyak 27.126 (data mulai tanggal 6 Januari 2013 hingga 11 Agustus 2014) dan *out sample* (data mulai tanggal 12 Agustus 2014 hingga 25 Agustus 2014) sebanyak 420 data. Setelah data dibagi menjadi *in sample* dan *out sample*, maka selanjutnya masing-masing data dibagi lagi menjadi 48 berdasarkan waktunya yaitu tiap setengah jam seperti pada Gambar 4.5. Data *in sample* digunakan untuk mendapatkan model yang dapat digunakan dalam meramalkan konsumsi beban listrik tiap setengah jamnya, sedangkan data *out sample* digunakan untuk menentukan model terbaiknya.

Meskipun data telah dibagi menjadi 48, pola dari *Time Series Plot* relatif sama, yang membedakan hanya tingkat fluktuasinya. Dimana pada pagi hari tingkat fluktuasinya rendah atau pada saat itu varians dari konsumsi listrik rendah. Sedangkan untuk siang hari menunjukkan fluktuasi yang tinggi, dan mengalami penurunan fluktuasi lagi pada malam harinya.

Penjelasan tahapan pemodelan ARIMA secara lengkap dalam penelitian ini hanya dilakukan pada pukul 05:00, 13:00, dan 18:30. Hal ini disebabkan pada saat-saat tersebut merupakan puncak pemakaian listrik di pagi, siang, dan malam hari. Langkah pertama dalam melakukan peramalan menggunakan metode ARIMA adalah identifikasi data untuk melihat kestasioneran dalam varians dan *mean*. Kestasioneran tersebut dapat dilihat secara visual berdasarkan *Time Series Plot* dan plot ACF. *Time Series Plot* data pukul 05:00, 13:00, dan 18:30 seperti dalam Gambar 4.6. Pada Gambar 4.6 menunjukkan bahwa pada ketiga data tersebut tidak stasioner dalam *mean*. Pada Gambar 4.6 (b) menunjukkan bahwa keragaman dari pemakaian listrik pukul 13:00 paling besar dibandingkan dengan pukul 05:00 dan 18:30. Pembuktian kestasioneran dalam varians dapat dilakukan dengan uji Box-Cox.



Gambar 4.6 Time Series Plot Pukul 05:00 (a), 13:00 (b) dan 18:30 (c)



Gambar 4.7 Box-Cox Transformation Pukul 05:00 (a), 13:00 (b) dan 18:30 (c)

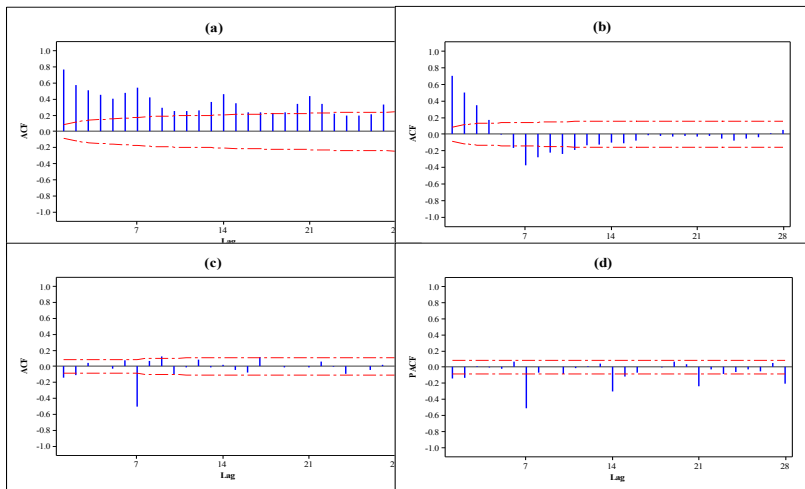
Berdasarkan Gambar 4.7 (a) menunjukkan bahwa data pukul 05:00 mempunyai *rounded value* sebesar 2 dengan LCL=0,78 dan UCL=2,75. Sedangkan pada Gambar 4.7 (b) didapatkan *rounded value* sebesar 4 dengan LCL= $-\infty$  dan

$UCL=3,64$ . Untuk data pukul 18:30 seperti yang terlihat pada Gambar 4.7 (c) mempunyai *rounded value* sebesar 4 dengan  $LCL=2,49$  dan  $UCL=4,97$ . Oleh karena itu, pada ketiga data tersebut tidak perlu ditransformasi karena semua *rounded value* masuk dalam selang interval.

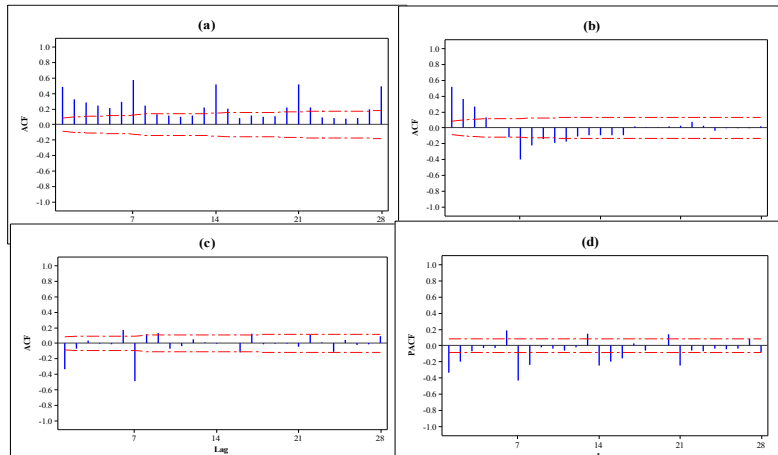
Setelah melakukan uji transformasi Box-Cox dan didapatkan hasil bahwa semua data telah stasioner dalam varians, langkah selanjutnya adalah mengidentifikasi kestasioneran dalam *mean* berdasarkan plot ACF masing-masing data seperti yang ditunjukkan dalam Gambar 4.8, 4.9, dan 4.10. Pada Gambar 4.8 (a), 4.9 (a), dan 4.10 (a) menunjukkan bahwa data pada pukul 05:00, 13:00, dan 18:30 tidak stasioner dalam *mean*, hal ini disebabkan oleh lag-lag yang turun secara lambat pada tiap 7 lag. Kondisi ini mengindikasikan bahwa terdapat pola musiman mingguan, sehingga perlu dilakukan *differencing* 7.

Setelah dilakukan *differencing* 7, langkah selanjutnya adalah identifikasi kembali plot ACF untuk melihat apakah sudah stasioner atau belum. Berdasarkan Gambar 4.8 (b), 4.9 (b), dan 4.10 (b) menunjukkan bahwa data masih belum stasioner dalam *mean* karena lag-lag yang turun lambat. Oleh karena itu dilakukan kembali *differencing* 1 dan hasilnya seperti yang ditunjukkan dalam Gambar 4.0 (c), 4.9 (c), dan 4.10 (c).

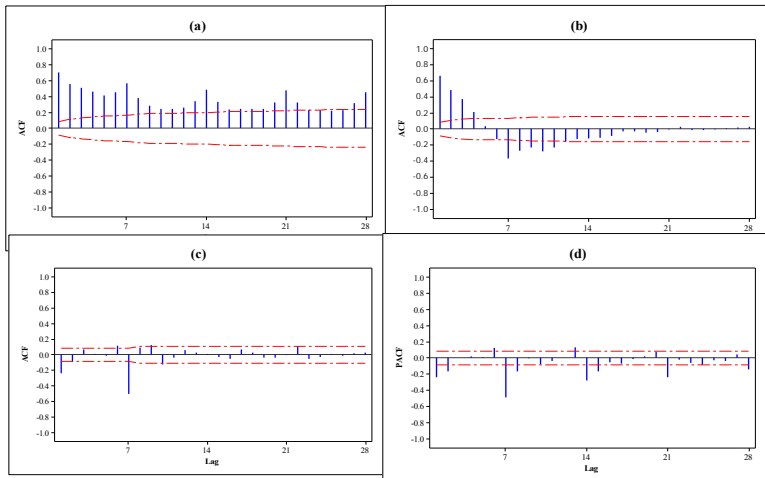
Hasil dari *differencing* lag 7 dan 1 dalam Gambar 4.8 (c) untuk pola nonmusima *cuts off* pada lag ke 1, 2, dan 6. Hasil plot PACF pukul 13:00 yang dapat dilihat pada Gambar 4.9 (c) menunjukkan bahwa untuk pola nonmusiman *cuts off* pada lag ke 1 dan 6. Sedangkan pada Gambar 4.10 (c) menunjukkan bahwa data untuk pola nonmusiman *cuts off* pada lag ke 1, 6, 9, dan 10. Untuk pola musiman pada ketiga data tersebut berdasarkan plot ACF pada Gambar 4.8 (c), 4.9 (c), dan 4.10 (c) menunjukkan *cuts off* pada lag ke 7. Sehingga dapat disimpulkan bahwa data konsumsi beban listrik pukul 05:00, 13:00, da 18:30 telah stasioner dalam *mean*. Penentuan model ARIMA yang akan digunakan dapat dilihat berdasarkan plot ACF dan PACF setelah *didifferencing* 7 dan 1.



**Gambar 4.8** Plot ACF Pukul 05:00 (a), Plot ACF differencing 7 Pukul 05:00 (b), Plot ACF differencing 7 dan 1 Pukul 05:00 (c) dan Plot PACF differencing 7 dan 1 Pukul 05:00 (d)



**Gambar 4.9** Plot ACF Pukul 13:00 (a), Plot ACF differencing 7 Pukul 13:00 (b), Plot ACF differencing 7 dan 1 Pukul 13:00 (c) dan Plot PACF differencing 7 dan 1 Pukul 13:00 (d)



**Gambar 4.10** Plot ACF Pukul 18:30 (a), Plot ACF differencing 7 Pukul 18:30 (b), Plot ACF differencing 7 dan 1 Pukul 18:30 (c) dan Plot PACF differencing 7 dan 1 Pukul 18:30 (d)

Pada Gambar 4.8 (d), 4.9 (d), dan 4.10 (d) menunjukkan adanya musiman karena *dies down* pada lag ke 7, 14, 21, dan 28 keluar dari batas signifikansi. Berdasarkan Gambar 4.8 (c) dan 4.8 (d) didapatkan dugaan model ARIMA yang dapat digunakan dalam meramalkan konsumsi beban listrik di Jawa Timur pukul 05:00 WIB adalah  $(0,1,2)(0,1,1)^7$ . Sedangkan untuk dugaan model ARIMA pukul 13:00 berdasarkan Gambar 4.9 (c) dan 4.9 (d) adalah  $(0,1,1)(0,1,1)^7$ . Untuk dugaan model pada pukul 18:30 berdasarkan Gambar 4.10 (c) dan 4.10 (d) adalah  $(0,1,[1,10])(0,1,1)^7$ .

Setelah melakukan identifikasi model, langkah selanjutnya adalah estimasi dan pengujian parameter. Hasil estimasi dan pengujian parameter pada semua model dengan  $\alpha = 0,05$  dalam Tabel 4.2 telah signifikan semua. Hal ini ditunjukkan oleh semua  $p-value < \alpha$ .

**Tabel 4.2** Hasil Uji Signifikansi Parameter Model ARIMA

Model ARIMA	Parameter	Estimasi	S.E	t	p-value
(0,1,2)(0,1,1) <sup>7</sup> (Pukul 05:00)	$\theta_1$	0,21546	0,04154	5,19	<0,0001
	$\theta_2$	0,14323	0,04148	3,45	0,0006
	$\Theta_1$	0,96159	0,01227	78,38	<0,0001
(0,1,1)(0,1,1) <sup>7</sup> (Pukul 13:00)	$\theta_1$	0,49798	0,03624	13,74	<0,0001
	$\Theta_1$	0,96450	0,01121	86,03	<0,0001
(0,1,[1,10])(0,1,1) <sup>7</sup> (Pukul 18:30)	$\theta_1$	0,35851	0,03879	9,24	<0,0001
	$\theta_{10}$	0,11225	0,03974	2,82	0,0049
	$\Theta_1$	0,87502	0,02031	43,08	<0,0001

Langkah selanjutnya setelah uji signifikansi parameter adalah melakukan pengujian asumsi residual bersifat *white noise* dan berdistribusi normal. Pada Tabel 4.3 menunjukkan bahwa untuk pada ketiga model ARIMA pukul 05:00, 13:00, dan 18:30 telah memenuhi asumsi *white noise*, tetapi tidak berdistribusi normal. Hal ini dapat dijelaskan oleh semua *p-value* pada setiap lag pengujian *white noise* lebih dari  $\alpha$ . Sedangkan untuk pengujian normalitas tidak memenuhi asumsi residual berdistribusi normal karena semua *p-value* kurang dari  $\alpha$ .

**Tabel 4.3** Hasil Pengujian Asumsi Residual Model ARIMA

Model ARIMA (0,1,2)(0,1,1) <sup>7</sup> (Pukul 05:00)				
Hingga Lag ke-	$\chi^2$	df	p-value	p-value
6	6,54	3	0,0882	$D = 0,063329$ <0,0100
12	15,01	9	0,0906	
18	22,11	15	0,1049	
24	24,14	21	0,2865	
30	28,56	27	0,3823	
Model ARIMA (0,1,1)(0,1,1) <sup>7</sup> (Pukul 13:00)				
Hingga Lag ke-	$\chi^2$	df	p-value	p-value
6	3,00	4	0,5583	$D = 0,145534$ <0,0100
12	12,59	10	0,2475	
18	22,14	16	0,1389	
24	27,97	22	0,1768	
30	30,64	28	0,3333	

**Tabel 4.3** (lanjutan)

Model ARIMA (0,1,[1,10])(0,1,1) <sup>7</sup> (Pukul 18:30)				
Uji White Noise			Uji Normalitas	
Hingga Lag ke-	$\chi^2$	df	p-value	p-value
6	7,71	3	0,0525	$D = 0,083341$ <0,0100
12	13,53	9	0,1400	
18	17,34	15	0,2988	
24	22,79	21	0,3550	
30	24,19	27	0,6197	

Residual yang tidak berdistribusi normal biasanya disebabkan oleh adanya *outlier* pada data konsumsi beban listrik di Jawa Timur. Oleh karena itu, dalam mengatasi hal tersebut perlu dilakukan deteksi *outlier* untuk mengetahui data yang diduga sebagai *outlier*. Setelah data *outlier* didapatkan, langkah selanjutnya adalah memasukkan *outlier* ke dalam model peramalan.

Pada model ARIMA (0,1,2)(0,1,1)<sup>7</sup> pukul 05:00 didapatkan sebanyak 33 data yang *outlier* dengan jenis *additive* sebanyak 3 dan *level shift* sebanyak 7. Untuk jumlah *outlier* yang ditemukan pada model ARIMA (0,1,1)(0,1,1)<sup>7</sup> pukul 13:00 sebanyak 25, dimana 6 data merupakan *outlier* jenis *level shift* dan sisanya jenis *additive*. Sedangkan pada model ARIMA (0,1,[1,10])(0,1,1)<sup>7</sup> ada 2 jenis *outlier* *level shift* dan 12 *additive*. Hasil dari deteksi *outlier* dan pengujian signifikansi parameter ketiga model ARIMA tersebut dapat dilihat dalam Tabel 4.4, 4.5, dan 4.6.

**Tabel 4.4** Hasil Uji Signifikansi Parameter Model ARIMA (0,1,2)(0,1,1)<sup>7</sup> dengan *Outlier* Data Pukul 05:00

Data ke-	Parameter	Estimasi	S.E	t	P-value	Outlier
-	$\hat{\theta}_1$	0,29824	0,043	6,89	<0,0001	-
-	$\hat{\theta}_2$	0,09898	0,043	2,28	0,0232	-
-	$\hat{\Theta}_1$	0,95205	0,013	71,73	<0,0001	-
570	$\hat{\omega}_1$	-876,712	114,275	-7,67	<0,0001	LS
452	$\hat{\omega}_2$	657,439	113,119	5,81	<0,0001	LS
575	$\hat{\omega}_3$	687,745	113,286	6,07	<0,0001	LS

**Tabel 4.4 (lanjutan)**

Data ke-	Parameter	Estimasi	S.E	t	P-value	Outlier
363	$\hat{\omega}_4$	717,690	113,199	6,34	<0,0001	LS
360	$\hat{\omega}_5$	-685,107	112,669	-6,08	<0,0001	LS
283	$\hat{\omega}_6$	-490,453	97,304	-5,04	<0,0001	AO
285	$\hat{\omega}_7$	553,706	113,464	4,88	<0,0001	LS
460	$\hat{\omega}_8$	-461,927	98,298	-4,70	<0,0001	AO
213	$\hat{\omega}_9$	-530,094	111,859	-4,74	<0,0001	LS
301	$\hat{\omega}_{10}$	341,941	96,698	3,54	0,0004	AO

**Tabel 4.5** Hasil Uji Signifikansi Parameter Model ARIMA (0,1,1)(0,1,1)<sup>7</sup> dengan Outlier Data Pukul 13:00

Data ke-	Parameter	Estimasi	S.E	t	P-value	Outlier
-	$\hat{\theta}_1$	0,53273	0,038	14,15	<0,0001	-
-	$\hat{\Theta}_1$	0,91225	0,018	50,55	<0,0001	-
177	$\hat{\omega}_1$	-1674,7	140,942	-11,88	<0,0001	AO
459	$\hat{\omega}_2$	-1418,7	141,116	-10,05	<0,0001	AO
550	$\hat{\omega}_3$	-1280,2	142,321	-8,99	<0,0001	AO
361	$\hat{\omega}_4$	-1359,8	144,978	-9,38	<0,0001	AO
481	$\hat{\omega}_5$	-1034,9	141,198	-7,33	<0,0001	AO
569	$\hat{\omega}_6$	-1215	144,979	-8,38	<0,0001	LS
450	$\hat{\omega}_7$	-964,203	141,064	-6,84	<0,0001	AO
236	$\hat{\omega}_8$	-985,010	140,828	-6,99	<0,0001	AO
575	$\hat{\omega}_9$	948,073	141,545	6,70	<0,0001	LS
19	$\hat{\omega}_{10}$	-749,041	140,959	-5,31	<0,0001	AO
212	$\hat{\omega}_{11}$	-573,200	142,138	-4,03	<0,0001	LS
374	$\hat{\omega}_{12}$	-704,984	141,413	-4,99	<0,0001	AO
304	$\hat{\omega}_{13}$	-655,974	141,917	-4,62	<0,0001	AO
567	$\hat{\omega}_{14}$	-779,720	148,264	-5,26	<0,0001	AO
354	$\hat{\omega}_{15}$	-691,326	141,044	-4,90	<0,0001	AO
152	$\hat{\omega}_{16}$	-618,932	140,912	-4,39	<0,0001	AO
495	$\hat{\omega}_{17}$	-607,322	141,264	-4,30	<0,0001	AO

**Tabel 4.5** (lanjutan)

Data ke-	Parameter	Estimasi	S.E	t	P-value	Outlier
360	$\hat{\omega}_{18}$	-619,785	145,016	-4,27	<0,0001	AO
225	$\hat{\omega}_{19}$	600,307	136,507	4,40	<0,0001	LS
507	$\hat{\omega}_{20}$	-591,455	141,336	-4,18	<0,0001	AO
83	$\hat{\omega}_{21}$	-594,116	140,825	-4,22	<0,0001	AO
468	$\hat{\omega}_{22}$	-601,316	140,976	-4,27	<0,0001	AO
391	$\hat{\omega}_{23}$	-555,480	140,838	-3,94	<0,0001	AO
214	$\hat{\omega}_{24}$	-634,356	142,903	-4,44	<0,0001	LS
218	$\hat{\omega}_{25}$	550,484	136,894	4,02	<0,0001	LS

**Tabel 4.6** Hasil Uji Signifikansi Parameter Model ARIMA (0,1,[1,10])(0,1,1)<sup>7</sup> dengan Outlier Data Pukul 18:30

Data ke-	Parameter	Estimasi	S.E	t	P-value	Outlier
-	$\hat{\theta}_1$	0,30607	0,041	7,43	<0,0001	-
-	$\hat{\theta}_{10}$	0,09915	0,042	2,37	0,0180	-
-	$\hat{\Theta}_1$	0,92126	0,017	55,22	<0,0001	-
361	$\hat{\omega}_1$	-859,887	107,655	-7,99	<0,0001	AO
283	$\hat{\omega}_2$	-704,449	101,926	-6,91	<0,0001	AO
459	$\hat{\omega}_3$	-646,810	101,382	-6,38	<0,0001	AO
450	$\hat{\omega}_4$	-580,539	101,254	-5,73	<0,0001	AO
569	$\hat{\omega}_5$	-685,735	120,893	-5,67	<0,0001	LS
550	$\hat{\omega}_6$	-577,844	102,148	-5,66	<0,0001	AO
10	$\hat{\omega}_7$	-571,475	101,040	-5,66	<0,0001	AO
481	$\hat{\omega}_8$	-519,018	101,391	-5,12	<0,0001	AO
213	$\hat{\omega}_9$	-518,435	119,391	-4,34	<0,0001	LS
236	$\hat{\omega}_{10}$	-482,460	101,099	-4,77	<0,0001	AO
83	$\hat{\omega}_{11}$	-391,960	101,109	-3,88	0,0001	AO
360	$\hat{\omega}_{12}$	-521,204	107,595	-4,84	<0,0001	AO
152	$\hat{\omega}_{13}$	-438,472	100,984	-4,34	<0,0001	AO
7	$\hat{\omega}_{14}$	406,177	40,370	10,06	<0,0001	AO

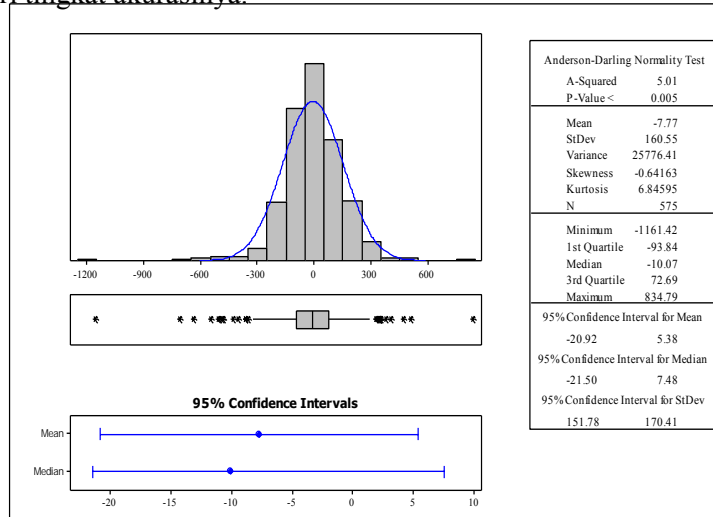
Pada Tabel 4.4, 4.5, dan 4.6 didapatkan hasil bahwa semua parameter ketiga model ARIMA signifikan karena masing-masing mempunyai  $p-value$  kurang dari  $\alpha$  dengan  $\alpha = 0,05$ . Data yang *outlier* kebanyakan disebabkan oleh adanya hari libur. Misalnya untuk data ke 360, 361, dan 363 merupakan data tanggal 31 Desember 2013, 1 Januari 2014, dan 3 Januari 2014, dimana pada tanggal tersebut merupakan hari libur karena adanya tahun baru. Sedangkan untuk data ke 213 merupakan data pada tanggal 6 yang bertepatan dengan adanya libur hari raya Idul Fitri.

**Tabel 4.7** Hasil Pengujian Asumsi Residual Model ARIMA dengan *Outlier*

Model ARIMA (0,1,2)(0,1,1) <sup>7</sup> (Pukul 05:00)			
Hingga Lag ke-	$\chi^2$	df	Uji Normalitas
6	5,27	3	$D = 0,02946$
12	11,45	9	
18	24,85	15	
24	30,17	21	
30	38,75	27	
Model ARIMA (0,1,1)(0,1,1) <sup>7</sup> (Pukul 13:00)			
Hingga Lag ke-	$\chi^2$	df	Uji Normalitas
6	9,46	4	$D = 0,066535$
12	13,64	10	
18	18,77	16	
24	20,62	22	
30	25,89	28	
Model ARIMA (0,1,[1,10])(0,1,1) <sup>7</sup> (Pukul 18:30)			
Hingga Lag ke-	$\chi^2$	df	Uji Normalitas
6	4,29	3	$D = 0,030306$
12	8,51	9	
18	9,95	15	
24	14,85	21	
30	19,41	27	

Setelah melakukan pengujian signifikansi parameter dengan deteksi *outlier* pada model ARIMA (0,1,2)(0,1,1)<sup>7</sup> dan (0,1,[1,10])(0,1,1)<sup>7</sup> didapatkan hasil bahwa asumsi residual bersifat *white noise* dan berdistribusi normal. Hal ini dapat dilihat

dalam Tabel 4.7  $p$ -value pada semua lag di pengujian *white noise* kedua model tersebut lebih dari  $\alpha$ . Demikian pula pada uji normalitas didapatkan  $p$ -value lebih dari  $\alpha$  dengan  $\alpha = 0,05$ . Sedangkan untuk model ARIMA (0,1,1)(0,1,1)<sup>7</sup> pada pukul 13:00 hanya memenuhi asumsi *white noise*, tetapi tidak berdistribusi normal. Pada pemodelan data pukul 13:00 meskipun sudah dilakukan deteksi *outlier* tetap saja tidak bisa diatasi kenormalan residualnya. Hal ini disebabkan oleh kurva distribusi pada residualnya berbentuk *Leptokurtik*. Kurva jenis *Leptokurtik* tersebut ditandai dengan kurva distribusinya lebih runcing dibandingkan dengan kurva normal seperti yang ditunjukkan pada Gambar 4.12. Pada penelitian yang dilakukan oleh Kostenko & Hyndman (2008) menyebutkan bahwa uji signifikansi statistik seperti signifikansi parameter dan uji asumsi residual berdistribusi normal mempunyai sedikit peranan untuk peramalan bisnis. Sedangkan menurut Diebold & Mariano (1995), dalam menentukan hasil atau kualitas ramalan terbaik biasanya dilihat dari tingkat akurasinya.



Gambar 4.11 Uji Kenormalan Data Pukul 13:00

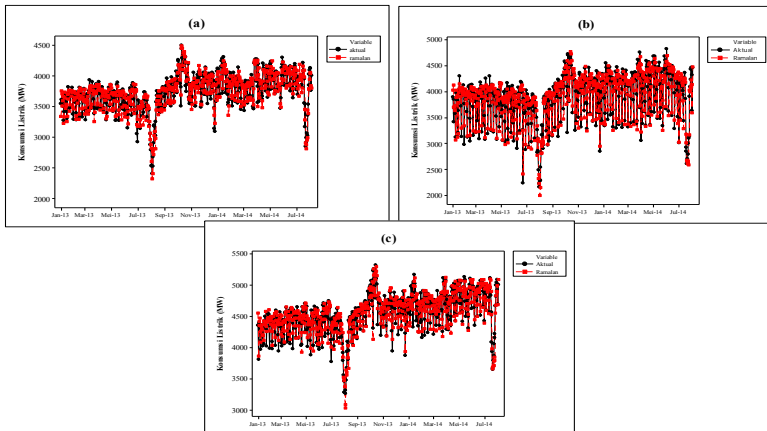
Secara matematis, model persamaan ARIMA untuk ketiga model tersebut dapat dituliskan seperti yang terlihat pada Tabel 4.8.

**Tabel 4.8** Persamaan Matematis Model ARIMA dengan *Outlier*

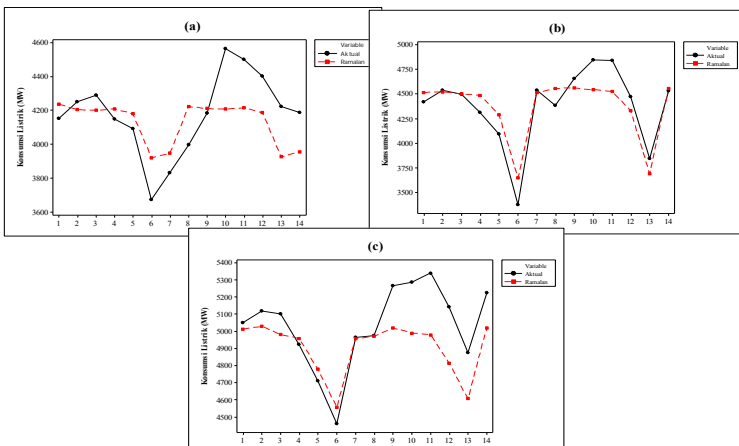
Pukul	Persamaan Matematis Model ARIMA
05:00	$Z_t = \frac{(1 - 0,29824B - 0,09898B^2)(1 - 0,95205B^7)a_t}{(1-B)(1-B^7)} - 876,712S_t^{(570)}$ $+ 657,439S_t^{(452)} + 687,745S_t^{(575)} + 717,690S_t^{(363)} - 685,107S_t^{(360)}$ $- 490,453I_t^{(283)} + 553,706S_t^{(285)} - 461,927I_t^{(460)} - 530,094S_t^{(213)}$ $+ 341,941I_t^{(301)}$
13:00	$Z_t = \frac{(1 - 0,53273B)(1 - 0,91225B^7)a_t}{(1-B)(1-B^7)} - 81674,7I_t^{(177)} - 1418,7I_t^{(459)}$ $- 1280,2I_t^{(550)} - 1359,8I_t^{(361)} - 1034,9I_t^{(481)} - 1215S_t^{(569)}$ $- 964,203I_t^{(450)} - 985,010I_t^{(236)} + 948,073S_t^{(575)} - 749,041I_t^{(19)}$ $- 573,2S_t^{(212)} - 704,984I_t^{(374)} - 655,974I_t^{(304)} - 779,720I_t^{(567)}$ $- 691,326I_t^{(354)} - 618,932I_t^{(152)} - 607,322I_t^{(495)} - 619,785I_t^{(360)}$ $+ 600,307S_t^{(225)} - 591,455I_t^{(507)} - 594,116I_t^{(83)} - 601,316I_t^{(468)}$ $- 555,48I_t^{(391)} - 634,356S_t^{(214)} + 550,484S_t^{(218)}$
18:30	$Z_t = \frac{(1 - 0,30607B - 0,09915B^{10})(1 - 0,92126B^7)a_t}{(1-B)(1-B^7)} - 859,887I_t^{(361)}$ $- 704,449I_t^{(283)} - 646,81I_t^{(459)} - 580,539I_t^{(450)} - 685,735S_t^{(569)}$ $- 577,844I_t^{(550)} - 571,475I_t^{(10)} - 519,018I_t^{(481)} - 518,435S_t^{(213)}$ $- 482,46I_t^{(236)} - 391,96I_t^{(83)} - 521,204I_t^{(360)} - 438,472I_t^{(152)}$ $+ 406,177I_t^{(7)}$

Hasil dari selisih antara data aktual dengan hasil ramalan untuk konsumsi listrik pukul 5:00, 13:00, dan 18:30 berdasarkan data *in sample* tidak terlalu jauh. Hal ini terlihat pada Gambar 4.12 pola data aktual dan ramalan yang didapatkan hampir sama. Begitu juga untuk hasil ramalan berdasarkan data *out sample* pada masing-masing model menunjukkan hasil yang cukup baik hingga hari ke 8, sedangkan untuk hari ke 9 hingga 12 selisihnya besar.

Hal ini disebabkan pada hari ke 9 sampai 12 bertepatan dengan tanggal 20 sampai 23 Agustus 2014, dimana pada saat itu diperkirakan banyak kegiatan dalam rangka perayaan HUT Kemerdekaan RI sehingga membutuhkan listrik yang besar.



**Gambar 4.12** Hasil Perbandingan Ramalan dengan Data Aktual Berdasarkan *In Sample* Pukul 05:00 (a), 13:00 (b) dan 18:30 (c)



**Gambar 4.13** Hasil Perbandingan Ramalan dengan Data Aktual Berdasarkan *Out Sample* Pukul 05:00 (a), 13:00 (b), dan 18:30 (c)

Secara lebih rinci hasil dari ramalan konsumsi beban listrik untuk 14 hari ke depan dengan nilai kebaikan model pada pukul 05:00, 13:00, dan 18:30 dapat dilihat dalam Tabel 4.9 dan 4.10.

**Tabel 4.9** Hasil Ramalan Data *Out Sample* dengan Model ARIMA

Pukul 05:00		Pukul 13:00		Pukul 18:30	
Aktual	Ramalan	Aktual	Ramalan	Aktual	Ramalan
4153,657	4238,010	4422,145	4516,140	5051,375	5012,940
4251,447	4205,130	4538,596	4522,420	5120,966	5030,300
4291,019	4201,500	4496,944	4503,080	5101,505	4982,240
4149,503	4210,560	4315,353	4486,530	4924,736	4958,540
4095,205	4181,220	4096,861	4289,860	4710,481	4778,710
3673,671	3920,870	3377,111	3652,430	4463,012	4557,610
3833,391	3947,700	4536,541	4513,860	4964,958	4959,110
3998,720	4224,520	4382,740	4556,850	4974,278	4970,920
4185,234	4212,090	4657,072	4563,130	5265,162	5021,510
4565,376	4208,460	4846,397	4543,790	5288,987	4990,820
4501,979	4217,520	4841,564	4527,240	5340,425	4980,410
4404,110	4188,170	4470,519	4330,570	5144,782	4816,160
4223,812	3927,820	3848,026	3693,140	4877,062	4607,860
4187,400	3954,660	4534,673	4554,570	5227,066	5018,970

Hasil model terbaik dalam meramalkan konsumsi beban listrik di Jawa Timur pukul 00:00 hingga 23:30 dengan tahapan analisis seperti pada peramalan pukul 05:00, 13:00, dan 18:30 sebelumnya dapat dilihat pada Tabel 4.10 berikut ini.

**Tabel 4.10** Hasil Pemilihan Model ARIMA dengan Deteksi *Outlier* Untuk Peramalan Konsumsi Beban Listrik Data Pukul 00:00 Hingga 23:30

Jam	Model ARIMAX	RMSE	SMAPE	MAPE
00:00	(0,1,1)(0,1,1) <sup>7</sup>	181,256	3,6531	3,6827
00:30	(0,1,1)(0,1,1) <sup>7</sup>	217,273	4,3031	4,3710
01:00	(0,1,1)(0,1,1) <sup>7</sup>	159,053	3,3482	3,3775
01:30	(0,1,1)(0,1,1) <sup>7</sup>	193,3789	4,0291	4,1457
02:00	(0,1,1)(0,1,1) <sup>7</sup>	170,556	3,4149	3,4908
02:30	(0,1,1)(0,1,1) <sup>7</sup>	182,652	3,8301	3,9309
03:00	(0,1,1)(0,1,1) <sup>7</sup>	190,2657	4,0204	4,1307
03:30	(0,1,1)(0,1,1) <sup>7</sup>	182,987	4,2175	4,2731
04:00	(0,1,1)(0,1,1) <sup>7</sup>	146,053	3,0007	3,0383
04:30	(0,1,[1,10,12,13])(0,1,1) <sup>7</sup>	221,554	4,2607	4,1317
05:30	(0,1,[1,2,6])(0,1,1) <sup>7</sup>	220,511	4,2798	4,1589

**Tabel 4.10 (lanjutan)**

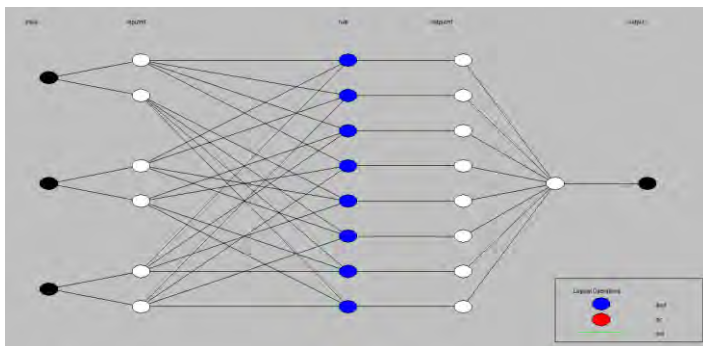
Jam	Model ARIMAX	RMSE	SMAPE	MAPE
06:00	(0,1,2)(0,1,1) <sup>7</sup>	182,0800	3,7824	3,7929
06:30	(0,1,2)(0,1,1) <sup>7</sup>	154,4804	3,2165	3,2787
07:30	(0,1,2)(0,1,1) <sup>7</sup>	178,4453	3,9746	4,0067
08:00	(0,1,2)(0,1,1) <sup>7</sup>	166,619	3,5149	3,5513
08:30	(0,1,2)(0,1,1) <sup>7</sup>	166,289	3,5756	3,5810
09:00	(0,1,1)(0,1,1) <sup>7</sup>	177,985	3,7430	3,7763
09:30	(0,1,1)(0,1,1) <sup>7</sup>	168,961	3,1054	3,1171
10:00	(0,1,1)(0,1,1) <sup>7</sup>	201,002	4,1584	4,0970
10:30	(0,1,1)(0,1,1) <sup>7</sup>	170,037	3,3675	3,3791
11:00	(0,1,1)(0,1,1) <sup>7</sup>	196,312	3,8919	3,9157
11:30	(0,1,1)(0,1,1) <sup>7</sup>	179,724	3,3755	3,4380
12:00	(0,1,1)(0,1,1) <sup>7</sup>	172,945	3,4798	3,4903
12:30	(0,1,1)(0,1,1) <sup>7</sup>	187,360	3,8936	3,8572
13:30	(0,1,1)(0,1,1) <sup>7</sup>	169,559	3,0875	3,1101
14:00	(0,1,1)(0,1,1) <sup>7</sup>	160,076	2,8423	2,9108
14:30	(0,1,1)(0,1,1) <sup>7</sup>	177,526	3,3908	3,3992
15:00	(0,1,1)(0,1,1) <sup>7</sup>	170,774	3,1461	3,1827
15:30	(0,1,1)(0,1,1) <sup>7</sup>	196,169	3,6132	3,5975
16:00	(0,1,[1,5,6])(0,1,1) <sup>7</sup>	180,351	3,6282	3,5667
16:30	(0,1,[1,6])(0,1,1) <sup>7</sup>	126,588	2,5651	2,5741
17:00	(0,1,1)(0,1,1) <sup>7</sup>	158,244	2,7898	2,8443
17:30	(0,1,1)(0,1,1) <sup>7</sup>	169,226	2,6895	2,7464
18:00	(0,1,1)(0,1,1) <sup>7</sup>	145,756	2,5896	2,5859
19:00	(0,1,1)(0,1,1) <sup>7</sup>	141,874	2,4966	2,4864
19:30	(0,1,1)(0,1,1) <sup>7</sup>	131,423	2,4250	2,4252
20:00	(0,1,1)(0,1,1) <sup>7</sup>	147,254	2,6184	2,6085
20:30	(0,1,1)(0,1,1) <sup>7</sup>	141,32	2,4212	2,4379
21:00	(0,1,1)(0,1,1) <sup>7</sup>	140,469	2,4836	2,4854
21:30	(0,1,1)(0,1,1) <sup>7</sup>	154,378	2,9274	2,9432
22:00	(0,1,1)(0,1,1) <sup>7</sup>	162,383	3,0906	3,0901
22:30	(0,1,1)(0,1,1) <sup>7</sup>	137,402	2,7397	2,7698
23:00	(0,1,1)(0,1,1) <sup>7</sup>	168,157	3,2030	3,2721
23:30	(0,1,1)(0,1,1) <sup>7</sup>	149,067	2,8453	2,8774

#### 4.3 Peramalan Konsumsi Beban Listrik di Jawa Timur Menggunakan Metode ANFIS

Langkah pertama dalam melakukan peramalan menggunakan metode ANFIS adalah menentukan variabel *input*. Variabel *input* merupakan variabel yang dipilih berdasarkan lag

AR yang signifikan dari model ARIMA terbaik. Setelah menentukan variabel *input*, langkah selanjutnya adalah menentukan *number of membership function* dan *membership function type*.

Pada peramalan konsumsi beban listrik dengan metode ANFIS ini menggunakan 3 *input* yaitu  $Z_{t-1}$ ,  $Z_{t-7}$ , dan  $Z_{t-8}$  dengan banyaknya fungsi keanggotaan 2 dan 3 jenis fungsi keanggotaan yaitu *Gaussian*, *Trapezoidal*, dan *Generalized Bell*. Hasil dari arsitektur ANFIS dengan 3 variabel input dan 2 fungsi keanggotaan dapat dilihat dalam Gambar 4.13. Pada Gambar 4.13 tersebut didapatkan 8 aturan (*rule*) yang berasal dari banyaknya fungsi keanggotaan dipangkatkan jumlah variabel *input* yang digunakan ( $2^3$ ). Peramalan menggunakan metode ANFIS ini dilakukan dengan cara mengkombinasikan jumlah dan jenis fungsi keanggotaan hingga didapatkan model terbaik berdasarkan kriteria RMSE, SMAPE, dan MAPE.



**Gambar 4.14** Struktur ANFIS dengan 3 *Input*

Pada analisis menggunakan metode ANFIS ini terdapat 2 parameter yang dihasilkan yaitu linier dan nonlinier. Parameter linier merupakan parameter konsekuensi yang digunakan dalam lapisan 4. Sedangkan parameter nonlinier merupakan parameter yang digunakan dalam lapisan satu. Seperti yang terlihat pada Gambar 4.14 terdapat 6 parameter nonlinier dan 8 parameter linier yang dihasilkan.

Pada lapisan 1 terjadi proses *fuzzyifikasi* yang merupakan suatu tahapan dalam mengubah himpunan bilangan *crisp* menjadi himpunan bilangan *fuzzy* sesuai dengan klasifikasi yang telah ditentukan. Pada lapisan ini bilangan *crisp* dari setiap input ditransformasi dengan parameter nonlinier hingga menjadi himpunan bilangan *fuzzy* yang telah mempunyai derajat keanggotaan. Hasil dari nilai parameter pada masing-masing jenis fungsi keanggotaan pukul 05:00, 13:00, dan 18:30 disajikan dalam Tabel 4.11, 4.12, dan 4.13.

**Tabel 4.11** Parameter Nonlinier Fungsi *Gaussian*

Pukul 05:00		
Input	$\sigma$	$c$
Input1 mf1 (A1)	890,9	2404
Input1 mf2 (A2)	891	4504
Input2 mf1 (B1)	891	2405
Input2 mf2 (B2)	890,9	4504
Input3 mf1 (C1)	891,4	2405
Input3 mf2 (C2)	891,7	4503
Pukul 13:00		
Input	$\sigma$	$c$
Input1 mf1 (A1)	1129	2165
Input1 mf2 (A2)	1128	4829
Input2 mf1 (B1)	1131	2165
Input2 mf2 (B2)	1131	4827
Input3 mf1 (C1)	1130	2166
Input3 mf2 (C2)	1131	4828
Pukul 18:30		
Input	$\sigma$	$c$
Input1 mf1 (A1)	870,7	3269
Input1 mf2 (A2)	870,6	5321
Input2 mf1 (B1)	870,5	3270
Input2 mf2 (B2)	870,4	5321
Input3 mf1 (C1)	871,7	3270
Input3 mf2 (C2)	871,7	5320

**Tabel 4.12** Parameter Nonlinier Fungsi *Trapezoidal*

Pukul 05:00				
Input	a	b	c	d
Input1 mf1 (A1)	935,5	1775	3034	3874
Input1 mf2 (A2)	3035	3874	5133	5973
Input2 mf1 (B1)	935,5	1775	3034	3877
Input2 mf2 (B2)	3034	3873	5133	5973
Input3 mf1 (C1)	935,5	1775	3034	3875
Input3 mf2 (C2)	3034	3874	5133	5973
Pukul 13:00				
Input	a	b	c	d
Input1 mf1 (A1)	302,3	1367	2964	4028
Input1 mf2 (A2)	2965	4029	5627	6691
Input2 mf1 (B1)	302,3	1367	2964	4029
Input2 mf2 (B2)	2964	4029	5627	6691
Input3 mf1 (C1)	302,3	1367	2965	4029
Input3 mf2 (C2)	2964	4029	5627	6691
Pukul 18:30				
Input	a	b	c	d
Input1 mf1 (A1)	1834	2654	3885	4706
Input1 mf2 (A2)	3885	4705	5936	6756
Input2 mf1 (B1)	1834	2654	3885	4708
Input2 mf2 (B2)	3886	4705	5936	6756
Input3 mf1 (C1)	1834	2654	3885	4706
Input3 mf2 (C2)	3886	4706	5936	6756

**Tabel 4.13** Parameter Nonlinier Fungsi *Generalized Bell*

Pukul 05:00			
Input	a	b	c
Input1 mf1 (A1)	1049	2,414	2405
Input1 mf2 (A2)	1049	3,821	4503
Input2 mf1 (B1)	1049	0,653	2405
Input2 mf2 (B2)	1049	3,156	4503
Input3 mf1 (C1)	1049	4,486	2405
Input3 mf2 (C2)	1049	0,9835	4503
Pukul 13:00			
Input	a	b	c
Input1 mf1 (A1)	1331	3,039	2166
Input1 mf2 (A2)	1331	4,491	4828
Input2 mf1 (B1)	1331	0,6039	2166
Input2 mf2 (B2)	1331	1,965	4828
Input3 mf1 (C1)	1331	3,578	2166
Input3 mf2 (C2)	1331	1,521	4828

**Tabel 4.13 (lanjutan)**

Input	Pukul 18:30		
	a	b	c
Input1 mf1 (A1)	1025	1,561	3270
Input1 mf2 (A2)	1025	2,056	5321
Input2 mf1 (B1)	1025	1,857	3270
Input2 mf2 (B2)	1025	2,732	5321
Input3 mf1 (C1)	1025	0,8441	3270
Input3 mf2 (C2)	1025	0,5015	5321

Nilai parameter nonlinier tersebut didapatkan dari hasil pembelajaran alur mundur yang akan digunakan dalam menghitung derajat keanggotaan pada lapisan satu sesuai dengan jenis masing-masing fungsi keanggotaannya. Pada setiap input terdiri dari 2 kelompok, sehingga total kelompok yang terbentuk adalah 6. Secara matematis fungsi keanggotaan yang dimiliki oleh masing-masing input berdasarkan parameter nonlinier untuk jenis fungsi keanggotaan *Gaussian* dapat dituliskan seperti pada Tabel 4.14. Sedangkan untuk fungsi *Trapezoidal* dan *Generalized Bell* dapat dilihat pada Tabel 4.15 dan 4.16.

**Tabel 4.14 Persamaan Fungsi *Gaussian***

Pukul	Persamaan			
5:00	$\mu_{A1}^*(Z_{t-1}) = e^{\frac{-(Z_{t-1}-2404)}{2(890,9)^2}}$	$\mu_{A2}^*(Z_{t-1}) = e^{\frac{-(Z_{t-1}-4504)}{2(891)^2}}$		
	$\mu_{B1}^*(Z_{t-7}) = e^{\frac{-(Z_{t-1}-2405)}{2(891)^2}}$	$\mu_{B2}^*(Z_{t-7}) = e^{\frac{-(Z_{t-7}-4504)}{2(890,9)^2}}$		
	$\mu_{C1}^*(Z_{t-8}) = e^{\frac{-(Z_{t-8}-2405)}{2(891,4)^2}}$	$\mu_{C2}^*(Z_{t-8}) = e^{\frac{-(Z_{t-8}-4503)}{2(891,7)^2}}$		
13:00	$\mu_{A1}^*(Z_{t-1}) = e^{\frac{-(Z_{t-1}-2165)}{2(1129)^2}}$	$\mu_{A2}^*(Z_{t-1}) = e^{\frac{-(Z_{t-1}-4829)}{2(1128)^2}}$		
	$\mu_{B1}^*(Z_{t-7}) = e^{\frac{-(Z_{t-1}-2165)}{2(1131)^2}}$	$\mu_{B2}^*(Z_{t-7}) = e^{\frac{-(Z_{t-7}-4827)}{2(1131)^2}}$		
	$\mu_{C1}^*(Z_{t-8}) = e^{\frac{-(Z_{t-8}-2166)}{2(1130)^2}}$	$\mu_{C2}^*(Z_{t-8}) = e^{\frac{-(Z_{t-8}-4828)}{2(1131)^2}}$		

**Tabel 4.14** (lanjutan)

18:30	$\mu_{A1}^*(Z_{t-1}) = e^{\frac{-(Z_{t-1}-3269)}{2(870,7)^2}}$ $\mu_{A2}^*(Z_{t-1}) = e^{\frac{-(Z_{t-1}-5321)}{2(870,6)^2}}$ $\mu_{B1}^*(Z_{t-7}) = e^{\frac{-(Z_{t-1}-3270)}{2(870,5)^2}}$ $\mu_{B2}^*(Z_{t-7}) = e^{\frac{-(Z_{t-7}-5321)}{2(870,4)^2}}$ $\mu_{C1}^*(Z_{t-8}) = e^{\frac{-(Z_{t-8}-3270)}{2(871,7)^2}}$ $\mu_{C2}^*(Z_{t-8}) = e^{\frac{-(Z_{t-8}-5320)}{2(871,7)^2}}$
-------	---

**Tabel 4.15** Persamaan Fungsi *Trapezoidal*

Pukul	Persamaan		
5:00	<table style="width: 100%; border-collapse: collapse;"> <tr> <td style="width: 15%;"></td> <td> <math display="block">\mu_{A1}^{**}(Z_{t-1}) = \begin{cases} 0 &amp; ; Z_{t-1} &lt; 935,5 \\ (Z_{t-1} - 935,5) / (1775 - 935,5) &amp; ; 935,5 \leq Z_{t-1} \leq 1775 \\ 1 &amp; ; 1775 \leq Z_{t-1} \leq 3034 \\ (3874 - Z_{t-1}) / (3874 - 3034) &amp; ; 3034 \leq Z_{t-1} \leq 3874 \\ 0 &amp; ; 3874 \leq Z_{t-1} \end{cases}</math>   <math display="block">\mu_{A2}^{**}(Z_{t-1}) = \begin{cases} 0 &amp; ; Z_{t-1} &lt; 3035 \\ (Z_{t-1} - 3035) / (3874 - 3035) &amp; ; 3035 \leq Z_{t-1} \leq 3874 \\ 1 &amp; ; 3874 \leq Z_{t-1} \leq 5133 \\ (5973 - Z_{t-1}) / (5973 - 5133) &amp; ; 5133 \leq Z_{t-1} \leq 5973 \\ 0 &amp; ; 5973 \leq Z_{t-1} \end{cases}</math>   <math display="block">\mu_{B1}^{**}(Z_{t-7}) = \begin{cases} 0 &amp; ; Z_{t-7} &lt; 935,5 \\ (Z_{t-7} - 935,5) / (1775 - 935,5) &amp; ; 935,5 \leq Z_{t-7} \leq 1775 \\ 1 &amp; ; 1775 \leq Z_{t-7} \leq 3034 \\ (3877 - Z_{t-7}) / (3877 - 3034) &amp; ; 3034 \leq Z_{t-7} \leq 3877 \\ 0 &amp; ; 3877 \leq Z_{t-7} \end{cases}</math>   <math display="block">\mu_{B2}^{**}(Z_{t-7}) = \begin{cases} 0 &amp; ; Z_{t-7} &lt; 3034 \\ (Z_{t-7} - 3034) / (3873 - 3034) &amp; ; 3034 \leq Z_{t-7} \leq 3873 \\ 1 &amp; ; 3873 \leq Z_{t-7} \leq 5133 \\ (5973 - Z_{t-7}) / (5973 - 5133) &amp; ; 5133 \leq Z_{t-7} \leq 5973 \\ 0 &amp; ; 5973 \leq Z_{t-7} \end{cases}</math> </td></tr> </table>		$\mu_{A1}^{**}(Z_{t-1}) = \begin{cases} 0 & ; Z_{t-1} < 935,5 \\ (Z_{t-1} - 935,5) / (1775 - 935,5) & ; 935,5 \leq Z_{t-1} \leq 1775 \\ 1 & ; 1775 \leq Z_{t-1} \leq 3034 \\ (3874 - Z_{t-1}) / (3874 - 3034) & ; 3034 \leq Z_{t-1} \leq 3874 \\ 0 & ; 3874 \leq Z_{t-1} \end{cases}$ $\mu_{A2}^{**}(Z_{t-1}) = \begin{cases} 0 & ; Z_{t-1} < 3035 \\ (Z_{t-1} - 3035) / (3874 - 3035) & ; 3035 \leq Z_{t-1} \leq 3874 \\ 1 & ; 3874 \leq Z_{t-1} \leq 5133 \\ (5973 - Z_{t-1}) / (5973 - 5133) & ; 5133 \leq Z_{t-1} \leq 5973 \\ 0 & ; 5973 \leq Z_{t-1} \end{cases}$ $\mu_{B1}^{**}(Z_{t-7}) = \begin{cases} 0 & ; Z_{t-7} < 935,5 \\ (Z_{t-7} - 935,5) / (1775 - 935,5) & ; 935,5 \leq Z_{t-7} \leq 1775 \\ 1 & ; 1775 \leq Z_{t-7} \leq 3034 \\ (3877 - Z_{t-7}) / (3877 - 3034) & ; 3034 \leq Z_{t-7} \leq 3877 \\ 0 & ; 3877 \leq Z_{t-7} \end{cases}$ $\mu_{B2}^{**}(Z_{t-7}) = \begin{cases} 0 & ; Z_{t-7} < 3034 \\ (Z_{t-7} - 3034) / (3873 - 3034) & ; 3034 \leq Z_{t-7} \leq 3873 \\ 1 & ; 3873 \leq Z_{t-7} \leq 5133 \\ (5973 - Z_{t-7}) / (5973 - 5133) & ; 5133 \leq Z_{t-7} \leq 5973 \\ 0 & ; 5973 \leq Z_{t-7} \end{cases}$
	$\mu_{A1}^{**}(Z_{t-1}) = \begin{cases} 0 & ; Z_{t-1} < 935,5 \\ (Z_{t-1} - 935,5) / (1775 - 935,5) & ; 935,5 \leq Z_{t-1} \leq 1775 \\ 1 & ; 1775 \leq Z_{t-1} \leq 3034 \\ (3874 - Z_{t-1}) / (3874 - 3034) & ; 3034 \leq Z_{t-1} \leq 3874 \\ 0 & ; 3874 \leq Z_{t-1} \end{cases}$ $\mu_{A2}^{**}(Z_{t-1}) = \begin{cases} 0 & ; Z_{t-1} < 3035 \\ (Z_{t-1} - 3035) / (3874 - 3035) & ; 3035 \leq Z_{t-1} \leq 3874 \\ 1 & ; 3874 \leq Z_{t-1} \leq 5133 \\ (5973 - Z_{t-1}) / (5973 - 5133) & ; 5133 \leq Z_{t-1} \leq 5973 \\ 0 & ; 5973 \leq Z_{t-1} \end{cases}$ $\mu_{B1}^{**}(Z_{t-7}) = \begin{cases} 0 & ; Z_{t-7} < 935,5 \\ (Z_{t-7} - 935,5) / (1775 - 935,5) & ; 935,5 \leq Z_{t-7} \leq 1775 \\ 1 & ; 1775 \leq Z_{t-7} \leq 3034 \\ (3877 - Z_{t-7}) / (3877 - 3034) & ; 3034 \leq Z_{t-7} \leq 3877 \\ 0 & ; 3877 \leq Z_{t-7} \end{cases}$ $\mu_{B2}^{**}(Z_{t-7}) = \begin{cases} 0 & ; Z_{t-7} < 3034 \\ (Z_{t-7} - 3034) / (3873 - 3034) & ; 3034 \leq Z_{t-7} \leq 3873 \\ 1 & ; 3873 \leq Z_{t-7} \leq 5133 \\ (5973 - Z_{t-7}) / (5973 - 5133) & ; 5133 \leq Z_{t-7} \leq 5973 \\ 0 & ; 5973 \leq Z_{t-7} \end{cases}$		

**Tabel 4.15 (lanjutan)**

Pukul	Persamaan
05:00	$\mu_{C1}^{**}(Z_{t-8}) = \begin{cases} 0 & ; Z_{t-8} < 935,5 \\ (Z_{t-8} - 935,5) / (1775 - 935,5) & ; 935,5 \leq Z_{t-8} \leq 1775 \\ 1 & ; 1775 \leq Z_{t-8} \leq 3035 \\ (3875 - Z_{t-8}) / (3875 - 3034) & ; 3035 \leq Z_{t-8} \leq 3875 \\ 0 & ; 3875 \leq Z_{t-8} \end{cases}$ $\mu_{C2}^{**}(Z_{t-8}) = \begin{cases} 0 & ; Z_{t-8} < 3034 \\ (Z_{t-8} - 3034) / (3874 - 3034) & ; 3034 \leq Z_{t-8} \leq 3874 \\ 1 & ; 3874 \leq Z_{t-8} \leq 5133 \\ (5973 - Z_{t-8}) / (5973 - 5133) & ; 5133 \leq Z_{t-8} \leq 5973 \\ 0 & ; 5973 \leq Z_{t-8} \end{cases}$
13:00	$\mu_{A1}^{**}(Z_{t-1}) = \begin{cases} 0 & ; Z_{t-1} < 302,3 \\ (Z_{t-1} - 302,3) / (1367 - 302,3) & ; 302,3 \leq Z_{t-1} \leq 1367 \\ 1 & ; 1367 \leq Z_{t-1} \leq 2964 \\ (4028 - Z_{t-1}) / (4028 - 2964) & ; 2964 \leq Z_{t-1} \leq 4028 \\ 0 & ; 4028 \leq Z_{t-1} \end{cases}$ $\mu_{A2}^{**}(Z_{t-1}) = \begin{cases} 0 & ; Z_{t-1} < 2965 \\ (Z_{t-1} - 2965) / (4029 - 2965) & ; 2965 \leq Z_{t-1} \leq 4029 \\ 1 & ; 4029 \leq Z_{t-1} \leq 5627 \\ (6691 - Z_{t-1}) / (6691 - 5627) & ; 5627 \leq Z_{t-1} \leq 6691 \\ 0 & ; 6691 \leq Z_{t-1} \end{cases}$ $\mu_{B1}^{**}(Z_{t-7}) = \begin{cases} 0 & ; Z_{t-7} < 302,3 \\ (Z_{t-7} - 302,3) / (1367 - 302,3) & ; 302,3 \leq Z_{t-7} \leq 1367 \\ 1 & ; 1367 \leq Z_{t-7} \leq 2964 \\ (4029 - Z_{t-7}) / (4029 - 2964) & ; 2964 \leq Z_{t-7} \leq 4029 \\ 0 & ; 4029 \leq Z_{t-7} \end{cases}$ $\mu_{B2}^{**}(Z_{t-7}) = \begin{cases} 0 & ; Z_{t-7} < 2964 \\ (Z_{t-7} - 2964) / (4029 - 2964) & ; 2964 \leq Z_{t-7} \leq 4029 \\ 1 & ; 4029 \leq Z_{t-7} \leq 5627 \\ (6691 - Z_{t-7}) / (6691 - 5627) & ; 5627 \leq Z_{t-7} \leq 6691 \\ 0 & ; 6691 \leq Z_{t-7} \end{cases}$

**Tabel 4.15 (lanjutan)**

Pukul	Persamaan
13:00	$\mu_{C1}^{**}(Z_{t-8}) = \begin{cases} 0 & ; Z_{t-8} < 302,3 \\ (Z_{t-8} - 302,3) / (1367 - 302,3) & ; 302,3 \leq Z_{t-8} \leq 1367 \\ 1 & ; 1367 \leq Z_{t-8} \leq 2965 \\ (4029 - Z_{t-8}) / (4029 - 2965) & ; 2965 \leq Z_{t-8} \leq 4029 \\ 0 & ; 4029 \leq Z_{t-8} \end{cases}$ $\mu_{C2}^{**}(Z_{t-8}) = \begin{cases} 0 & ; Z_{t-8} < 2964 \\ (Z_{t-8} - 2964) / (4029 - 2964) & ; 2964 \leq Z_{t-8} \leq 4029 \\ 1 & ; 4029 \leq Z_{t-8} \leq 5627 \\ (6691 - Z_{t-8}) / (6691 - 5627) & ; 5627 \leq Z_{t-8} \leq 6691 \\ 0 & ; 6691 \leq Z_{t-8} \end{cases}$
18:30	$\mu_{A1}^{**}(Z_{t-1}) = \begin{cases} 0 & ; Z_{t-1} < 1834 \\ (Z_{t-1} - 1834) / (2654 - 1834) & ; 1834 \leq Z_{t-1} \leq 2654 \\ 1 & ; 2654 \leq Z_{t-1} \leq 3885 \\ (4706 - Z_{t-1}) / (4706 - 3885) & ; 3885 \leq Z_{t-1} \leq 4706 \\ 0 & ; 4706 \leq Z_{t-1} \end{cases}$ $\mu_{A2}^{**}(Z_{t-1}) = \begin{cases} 0 & ; Z_{t-1} < 3885 \\ (Z_{t-1} - 3885) / (4705 - 3885) & ; 3885 \leq Z_{t-1} \leq 4705 \\ 1 & ; 4705 \leq Z_{t-1} \leq 5936 \\ (6756 - Z_{t-1}) / (6756 - 5936) & ; 5936 \leq Z_{t-1} \leq 6756 \\ 0 & ; 6756 \leq Z_{t-1} \end{cases}$ $\mu_{B1}^{**}(Z_{t-7}) = \begin{cases} 0 & ; Z_{t-7} < 1834 \\ (Z_{t-7} - 1834) / (2654 - 1834) & ; 1834 \leq Z_{t-7} \leq 2654 \\ 1 & ; 2654 \leq Z_{t-7} \leq 3885 \\ (4708 - Z_{t-7}) / (4708 - 3885) & ; 3885 \leq Z_{t-7} \leq 4708 \\ 0 & ; 4708 \leq Z_{t-7} \end{cases}$ $\mu_{B2}^{**}(Z_{t-7}) = \begin{cases} 0 & ; Z_{t-7} < 3886 \\ (Z_{t-7} - 3886) / (4705 - 3886) & ; 3886 \leq Z_{t-7} \leq 4705 \\ 1 & ; 4705 \leq Z_{t-7} \leq 5936 \\ (6756 - Z_{t-7}) / (6756 - 5936) & ; 5936 \leq Z_{t-7} \leq 6756 \\ 0 & ; 6756 \leq Z_{t-7} \end{cases}$

**Tabel 4.15 (lanjutan)**

Pukul	Persamaan
18:30	$\mu_{C1}^{**}(Z_{t-8}) = \begin{cases} 0 & ; Z_{t-8} < 1834 \\ (Z_{t-8} - 1834) / (2654 - 1834) & ; 1834 \leq Z_{t-8} \leq 2654 \\ 1 & ; 2654 \leq Z_{t-8} \leq 3885 \\ (4706 - Z_{t-8}) / (4706 - 3885) & ; 3885 \leq Z_{t-8} \leq 4706 \\ 0 & ; 4706 \leq Z_{t-8} \end{cases}$ $\mu_{C2}^{**}(Z_{t-8}) = \begin{cases} 0 & ; Z_{t-8} < 3886 \\ (Z_{t-8} - 3886) / (4706 - 3886) & ; 3886 \leq Z_{t-8} \leq 4706 \\ 1 & ; 4706 \leq Z_{t-8} \leq 5936 \\ (6756 - Z_{t-8}) / (6756 - 5936) & ; 5936 \leq Z_{t-8} \leq 6756 \\ 0 & ; 6756 \leq Z_{t-8} \end{cases}$

**Tabel 4.16 Persamaan Fungsi Generalized Bell**

Pukul	Persamaan
05:00	$\mu_{A1}^{***}(Z_{t-1}) = \frac{1}{1 + \left  \frac{Z_{t-1} - 2405}{1049} \right ^{2(2,414)}} \quad \mu_{A2}^{***}(Z_{t-1}) = \frac{1}{1 + \left  \frac{Z_{t-1} - 4503}{1049} \right ^{2(3,821)}}$ $\mu_{B1}^{**}(Z_{t-7}) = \frac{1}{1 + \left  \frac{Z_{t-7} - 2405}{1049} \right ^{2(0,653)}} \quad \mu_{B2}^{***}(Z_{t-7}) = \frac{1}{1 + \left  \frac{Z_{t-7} - 4503}{1049} \right ^{2(3,156)}}$ $\mu_{C1}^{***}(Z_{t-8}) = \frac{1}{1 + \left  \frac{Z_{t-8} - 2405}{1049} \right ^{2(4,486)}} \quad \mu_{C2}^{***}(Z_{t-8}) = \frac{1}{1 + \left  \frac{Z_{t-8} - 4503}{1049} \right ^{2(0,9835)}}$
13:00	$\mu_{A1}^{***}(Z_{t-1}) = \frac{1}{1 + \left  \frac{Z_{t-1} - 2166}{1331} \right ^{2(3,039)}} \quad \mu_{A2}^{***}(Z_{t-1}) = \frac{1}{1 + \left  \frac{Z_{t-1} - 4828}{1331} \right ^{2(4,491)}}$ $\mu_{B1}^{***}(Z_{t-7}) = \frac{1}{1 + \left  \frac{Z_{t-7} - 2166}{1331} \right ^{2(0,6039)}} \quad \mu_{B2}^{***}(Z_{t-7}) = \frac{1}{1 + \left  \frac{Z_{t-7} - 4828}{1331} \right ^{2(1,965)}}$ $\mu_{C1}^{***}(Z_{t-8}) = \frac{1}{1 + \left  \frac{Z_{t-8} - 2166}{1331} \right ^{2(3,578)}} \quad \mu_{C2}^{***}(Z_{t-8}) = \frac{1}{1 + \left  \frac{Z_{t-8} - 4828}{1331} \right ^{2(1,521)}}$
18:30	$\mu_{A1}^{***}(Z_{t-1}) = \frac{1}{1 + \left  \frac{Z_{t-1} - 3270}{1025} \right ^{2(1,561)}} \quad \mu_{A2}^{***}(Z_{t-1}) = \frac{1}{1 + \left  \frac{Z_{t-1} - 5321}{1025} \right ^{2(2,056)}}$

**Tabel 4.16** (lanjutan)

Pukul	Persamaan
18:30	$\mu_{B1}^{***}(Z_{t-7}) = \frac{1}{1 + \left  \frac{Z_{t-7} - 3270}{1025} \right ^{2(1,857)}}$ $\mu_{B2}^{**}(Z_{t-7}) = \frac{1}{1 + \left  \frac{Z_{t-7} - 5321}{1025} \right ^{2(2,732)}}$ $\mu_{C1}^{***}(Z_{t-8}) = \frac{1}{1 + \left  \frac{Z_{t-8} - 3270}{1025} \right ^{2(0,8441)}}$ $\mu_{C2}^{**}(Z_{t-8}) = \frac{1}{1 + \left  \frac{Z_{t-8} - 5321}{1025} \right ^{2(0,5015)}}$

Hasil dari proses perhitungan yang terjadi pada lapisan satu berdasarkan masing-masing jenis fungsi keanggotaannya dapat dilihat dalam Tabel 4.17, 4.18, dan 4.19.

**Tabel 4.17** Hasil Perhitungan Pada Lapisan 1 Fungsi *Gaussian*

Pukul 05:00					
$\mu_{A1}^*(Z_{t-1})$	$\mu_{A2}^*(Z_{t-1})$	$\mu_{B1}^*(Z_{t-7})$	$\mu_{B2}^*(Z_{t-7})$	$\mu_{C1}^*(Z_{t-8})$	$\mu_{C2}^*(Z_{t-8})$
0,605	0,400	0,600	0,405	0,629	0,380
0,435	0,566	0,421	0,582	0,600	0,406
:	:	:	:	:	:
0,156	0,912	0,563	0,438	0,780	0,257
0,309	0,712	0,443	0,559	0,564	0,439
Pukul 13:00					
$\mu_{A1}^*(Z_{t-1})$	$\mu_{A2}^*(Z_{t-1})$	$\mu_{B1}^*(Z_{t-7})$	$\mu_{B2}^*(Z_{t-7})$	$\mu_{C1}^*(Z_{t-8})$	$\mu_{C2}^*(Z_{t-8})$
0,640	0,367	0,349	0,665	0,758	0,274
0,308	0,711	0,281	0,749	0,349	0,665
:	:	:	:	:	:
0,160	0,905	0,691	0,328	0,712	0,310
0,429	0,570	0,306	0,717	0,159	0,000
Pukul 18:30					
$\mu_{A1}^*(Z_{t-1})$	$\mu_{A2}^*(Z_{t-1})$	$\mu_{B1}^*(Z_{t-7})$	$\mu_{B2}^*(Z_{t-7})$	$\mu_{C1}^*(Z_{t-8})$	$\mu_{C2}^*(Z_{t-8})$
0,562	0,439	0,503	0,496	0,741	0,288
0,460	0,540	0,488	0,511	0,504	0,498
:	:	:	:	:	:
0,167	0,898	0,550	0,450	0,591	0,415
0,261	0,773	0,001	0,000	0,001	0,000

**Tabel 4.18** Hasil Perhitungan Pada Lapisan 1 Fungsi *Trapezoidal*

Pukul 05:00					
$\mu_{A1}^{**}(Z_{t-1})$	$\mu_{A2}^{**}(Z_{t-1})$	$\mu_{B1}^{**}(Z_{t-7})$	$\mu_{B2}^{**}(Z_{t-7})$	$\mu_{C1}^{**}(Z_{t-8})$	$\mu_{C2}^{**}(Z_{t-8})$
0,686	0,313	0,677	0,676	0,729	0,728
0,382	0,617	0,356	0,353	0,677	0,676
⋮	⋮	⋮	⋮	⋮	⋮
0,000	1,000	0,614	0,612	1,000	0,000
0,124	0,876	0,397	0,394	0,614	0,387
Pukul 13:00					
$\mu_{A1}^{**}(Z_{t-1})$	$\mu_{A2}^{**}(Z_{t-1})$	$\mu_{B1}^{**}(Z_{t-7})$	$\mu_{B2}^{**}(Z_{t-7})$	$\mu_{C1}^{**}(Z_{t-8})$	$\mu_{C2}^{**}(Z_{t-8})$
0,749	0,251	0,209	0,209	0,960	0,959
0,123	0,876	0,058	0,058	0,210	0,209
⋮	⋮	⋮	⋮	⋮	⋮
0,000	1,000	0,837	0,837	0,961	0,040
0,371	0,628	0,117	0,117	0,876	0,125
Pukul 18:30					
$\mu_{A1}^{**}(Z_{t-1})$	$\mu_{A2}^{**}(Z_{t-1})$	$\mu_{B1}^{**}(Z_{t-7})$	$\mu_{B2}^{**}(Z_{t-7})$	$\mu_{C1}^{**}(Z_{t-8})$	$\mu_{C2}^{**}(Z_{t-8})$
0,611	0,390	0,507	0,506	0,927	0,929
0,428	0,572	0,481	0,479	0,506	0,507
⋮	⋮	⋮	⋮	⋮	⋮
0,000	1,000	0,592	0,591	0,782	0,217
0,011	0,990	0,051	0,047	0,660	0,340

**Tabel 4.19** Hasil Perhitungan Pada Lapisan 1 Fungsi *Generalized Bell*

Pukul 05:00					
$\mu_{A1}^{***}(Z_{t-1})$	$\mu_{A2}^{***}(Z_{t-1})$	$\mu_{B1}^{***}(Z_{t-7})$	$\mu_{B2}^{***}(Z_{t-7})$	$\mu_{C1}^{***}(Z_{t-8})$	$\mu_{C2}^{***}(Z_{t-8})$
0,685	0,257	0,549	0,303	0,859	0,418
0,393	0,681	0,464	0,687	0,797	0,435
⋮	⋮	⋮	⋮	⋮	⋮
0,090	0,999	0,379	0,980	0,025	0,798
0,130	0,993	0,370	0,988	0,033	0,770
Pukul 13:00					
$\mu_{A1}^{***}(Z_{t-1})$	$\mu_{A2}^{***}(Z_{t-1})$	$\mu_{B1}^{***}(Z_{t-7})$	$\mu_{B2}^{***}(Z_{t-7})$	$\mu_{C1}^{***}(Z_{t-8})$	$\mu_{C2}^{***}(Z_{t-8})$
0,794	0,163	0,437	0,738	0,964	0,278
0,168	0,961	0,410	0,847	0,183	0,691
⋮	⋮	⋮	⋮	⋮	⋮
0,083	0,997	0,401	0,877	0,065	0,860
0,185	0,948	0,413	0,834	0,085	0,820

**Tabel 4.19** (lanjutan)

Pukul 18:30					
$\mu_{A1}(Z_{t-1})$	$\mu_{A2}(Z_{t-1})$	$\mu_{B1}(Z_{t-7})$	$\mu_{B2}(Z_{t-7})$	$\mu_{C1}(Z_{t-8})$	$\mu_{C2}(Z_{t-8})$
0,572	0,413	0,504	0,493	0,670	0,427
0,456	0,560	0,484	0,522	0,502	0,499
⋮	⋮	⋮	⋮	⋮	⋮
0,210	0,956	0,145	0,994	0,305	0,729
0,320	0,787	0,184	0,976	0,309	0,721

Langkah selanjutnya setelah melakukan fuzzifikasi adalah proses operasi logika *fuzzy*. Pada proses operasi logika *fuzzy* di lapisan 2 ini semua *input* yang berasal dari lapisan 1 dikalikan dengan operator AND. Hasil dari operasi logika *fuzzy* pada lapisan 2 dapat dilihat dalam Tabel 4.20.

**Tabel 4.20** Operasi Logika *Fuzzy* Pada Lapisan 2

Logika AND
If $(Z_{t-1} \text{ is } A_1) \text{ and } (Z_{t-7} \text{ is } B_1) \text{ and } (Z_{t-8} \text{ is } C_1) \text{ then } (\text{output is } w_{1t})$
If $(Z_{t-1} \text{ is } A_1) \text{ and } (Z_{t-7} \text{ is } B_1) \text{ and } (Z_{t-8} \text{ is } C_2) \text{ then } (\text{output is } w_{2t})$
If $(Z_{t-1} \text{ is } A_1) \text{ and } (Z_{t-7} \text{ is } B_2) \text{ and } (Z_{t-8} \text{ is } C_1) \text{ then } (\text{output is } w_{3t})$
If $(Z_{t-1} \text{ is } A_1) \text{ and } (Z_{t-7} \text{ is } B_2) \text{ and } (Z_{t-8} \text{ is } C_2) \text{ then } (\text{output is } w_{4t})$
If $(Z_{t-1} \text{ is } A_2) \text{ and } (Z_{t-7} \text{ is } B_1) \text{ and } (Z_{t-8} \text{ is } C_1) \text{ then } (\text{output is } w_{5t})$
If $(Z_{t-1} \text{ is } A_2) \text{ and } (Z_{t-7} \text{ is } B_1) \text{ and } (Z_{t-8} \text{ is } C_2) \text{ then } (\text{output is } w_{6t})$
If $(Z_{t-1} \text{ is } A_2) \text{ and } (Z_{t-7} \text{ is } B_2) \text{ and } (Z_{t-8} \text{ is } C_1) \text{ then } (\text{output is } w_{7t})$
If $(Z_{t-1} \text{ is } A_2) \text{ and } (Z_{t-7} \text{ is } B_2) \text{ and } (Z_{t-8} \text{ is } C_2) \text{ then } (\text{output is } w_{8t})$

Pada Tabel 4.20 menunjukkan bahwa *output* yang dihasilkan oleh lapisan 2 yaitu berupa pembobot  $w_{it}$ , dimana dalam penelitian ini  $i$  menunjukkan banyaknya aturan ( $i = 1, 2, \dots, 8$ ) dan  $t$  merupakan banyaknya data efektif yang dimulai dari  $t = 9$  hingga 582 ( $t = 9, 10, \dots, 582$ ). Perhitungan *output* dari lapisan 2 berdasarkan masing-masing jenis fungsi keanggotaannya dapat dilihat dalam Tabel 4.21, 4.22, dan 4.23.

**Tabel 4.21** Hasil Perhitungan Pada Lapisan 2 Fungsi *Gaussian*

Pukul 05:00							
$w_{1t}$	$w_{2t}$	$w_{3t}$	$w_{4t}$	$w_{5t}$	$w_{6t}$	$w_{7t}$	$w_{8t}$
0,288	0,138	0,154	0,093	0,151	0,091	0,102	0,062
0,110	0,074	0,152	0,103	0,143	0,097	0,198	0,134
:	:	:	:	:	:	:	:
0,069	0,023	0,053	0,018	0,400	0,132	0,312	0,103
0,077	0,060	0,097	0,076	0,178	0,138	0,224	0,175
Pukul 13:00							
$w_{1t}$	$w_{2t}$	$w_{3t}$	$w_{4t}$	$w_{5t}$	$w_{6t}$	$w_{7t}$	$w_{8t}$
0,169	0,061	0,323	0,117	0,097	0,035	0,185	0,067
0,030	0,058	0,081	0,153	0,070	0,133	0,186	0,354
:	:	:	:	:	:	:	:
0,079	0,034	0,037	0,016	0,445	0,194	0,211	0,092
0,021	0,000	0,049	0,000	0,028	0,000	0,065	0,000
Pukul 18:30							
$w_{1t}$	$w_{2t}$	$w_{3t}$	$w_{4t}$	$w_{5t}$	$w_{6t}$	$w_{7t}$	$w_{8t}$
0,209	0,081	0,207	0,080	0,164	0,064	0,161	0,063
0,113	0,112	0,118	0,117	0,133	0,131	0,139	0,137
:	:	:	:	:	:	:	:
0,054	0,038	0,044	0,031	0,292	0,205	0,239	0,168
0,000	0,000	0,000	0,000	0,000	0,000	0,000	0,000

**Tabel 4.22** Hasil Perhitungan Pada Lapisan 2 Fungsi *Trapezoidal*

Pukul 05:00							
$w_{1t}$	$w_{2t}$	$w_{3t}$	$w_{4t}$	$w_{5t}$	$w_{6t}$	$w_{7t}$	$w_{8t}$
0,339	0,338	0,338	0,338	0,154	0,154	0,154	0,154
0,092	0,092	0,091	0,091	0,149	0,148	0,147	0,147
:	:	:	:	:	:	:	:
0,000	0,000	0,000	0,000	0,614	0,000	0,612	0,000
0,030	0,019	0,030	0,019	0,214	0,135	0,212	0,134
Pukul 13:00							
$w_{1t}$	$w_{2t}$	$w_{3t}$	$w_{4t}$	$w_{5t}$	$w_{6t}$	$w_{7t}$	$w_{8t}$
0,150	0,150	0,150	0,150	0,050	0,050	0,050	0,050
0,001	0,001	0,001	0,001	0,011	0,011	0,011	0,011
:	:	:	:	:	:	:	:
0,000	0,000	0,000	0,000	0,804	0,033	0,804	0,033
0,038	0,005	0,038	0,005	0,064	0,009	0,064	0,009

**Tabel 4.22** (lanjutan)

Pukul 18:30							
$w_{1t}$	$w_{2t}$	$w_{3t}$	$w_{4t}$	$w_{5t}$	$w_{6t}$	$w_{7t}$	$w_{8t}$
0,287	0,288	0,287	0,287	0,183	0,184	0,183	0,183
0,104	0,104	0,104	0,104	0,139	0,139	0,139	0,139
:	:	:	:	:	:	:	:
0,000	0,000	0,000	0,000	0,463	0,128	0,462	0,128
0,000	0,000	0,000	0,000	0,033	0,017	0,031	0,016

**Tabel 4.23** Hasil Perhitungan Pada Lapisan 2 Fungsi *Generalized Bell*

Pukul 05:00							
$w_{1t}$	$w_{2t}$	$w_{3t}$	$w_{4t}$	$w_{5t}$	$w_{6t}$	$w_{7t}$	$w_{8t}$
0,323	0,157	0,178	0,087	0,121	0,059	0,067	0,033
0,145	0,079	0,215	0,117	0,252	0,137	0,373	0,204
:	:	:	:	:	:	:	:
0,001	0,027	0,002	0,070	0,009	0,302	0,024	0,781
0,002	0,037	0,004	0,099	0,012	0,283	0,032	0,755
Pukul 13:00							
$w_{1t}$	$w_{2t}$	$w_{3t}$	$w_{4t}$	$w_{5t}$	$w_{6t}$	$w_{7t}$	$w_{8t}$
0,334	0,096	0,565	0,163	0,069	0,020	0,116	0,033
0,013	0,048	0,026	0,098	0,072	0,272	0,149	0,562
:	:	:	:	:	:	:	:
0,002	0,029	0,005	0,063	0,026	0,344	0,057	0,752
0,006	0,063	0,013	0,127	0,033	0,321	0,067	0,648
Pukul 18:30							
$w_{1t}$	$w_{2t}$	$w_{3t}$	$w_{4t}$	$w_{5t}$	$w_{6t}$	$w_{7t}$	$w_{8t}$
0,193	0,123	0,189	0,120	0,139	0,089	0,136	0,087
0,111	0,110	0,119	0,119	0,136	0,135	0,147	0,146
:	:	:	:	:	:	:	:
0,009	0,022	0,064	0,152	0,042	0,101	0,290	0,693
0,018	0,042	0,097	0,225	0,045	0,104	0,237	0,554

Langkah berikutnya yaitu proses pengaktifan derajat ternormalisasi pada lapisan 3. Dalam hal ini *output* yang dihasilkan berupa  $w_{it}^*$  yang diperoleh dari  $w_{it}$  dibagi dengan jumlah total  $w_{it}$ . Perhitungan *output* dari lapisan 3 berdasarkan masing-masing jenis fungsi keanggotaannya dapat dilihat dalam Tabel 4.24, 4.25, dan 4.26.

**Tabel 4.24** Hasil Perhitungan Pada Lapisan 3 Fungsi *Gaussian*

Pukul 05:00							
$w_{1t}^*$	$w_{2t}^*$	$w_{3t}^*$	$w_{4t}^*$	$w_{5t}^*$	$w_{6t}^*$	$w_{7t}^*$	$w_{8t}^*$
0,224	0,135	0,151	0,091	0,148	0,089	0,100	0,060
0,109	0,074	0,150	0,102	0,142	0,096	0,196	0,132
⋮	⋮	⋮	⋮	⋮	⋮	⋮	⋮
0,062	0,020	0,048	0,016	0,361	0,119	0,281	0,093
0,075	0,059	0,095	0,074	0,173	0,135	0,219	0,170
Pukul 13:00							
$w_{1t}^*$	$w_{2t}^*$	$w_{3t}^*$	$w_{4t}^*$	$w_{5t}^*$	$w_{6t}^*$	$w_{7t}^*$	$w_{8t}^*$
0,161	0,058	0,306	0,111	0,092	0,033	0,176	0,063
0,028	0,054	0,076	0,144	0,066	0,125	0,175	0,333
⋮	⋮	⋮	⋮	⋮	⋮	⋮	⋮
0,071	0,031	0,034	0,015	0,401	0,175	0,191	0,083
0,128	0,000	0,301	0,000	0,171	0,000	0,400	0,000
Pukul 18:30							
$w_{1t}^*$	$w_{2t}^*$	$w_{3t}^*$	$w_{4t}^*$	$w_{5t}^*$	$w_{6t}^*$	$w_{7t}^*$	$w_{8t}^*$
0,204	0,079	0,201	0,078	0,159	0,062	0,157	0,061
0,113	0,112	0,118	0,117	0,133	0,131	0,139	0,137
⋮	⋮	⋮	⋮	⋮	⋮	⋮	⋮
0,051	0,036	0,041	0,029	0,272	0,191	0,223	0,157
0,252	0,000	0,000	0,000	0,748	0,000	0,000	0,000

**Tabel 4.25** Hasil Perhitungan Pada Lapisan 3 Fungsi *Trapezoidal*

Pukul 05:00							
$w_{1t}^*$	$w_{2t}^*$	$w_{3t}^*$	$w_{4t}^*$	$w_{5t}^*$	$w_{6t}^*$	$w_{7t}^*$	$w_{8t}^*$
0,172	0,172	0,172	0,171	0,078	0,078	0,078	0,078
0,096	0,096	0,095	0,095	0,155	0,155	0,154	0,154
⋮	⋮	⋮	⋮	⋮	⋮	⋮	⋮
0,000	0,000	0,000	0,000	0,501	0,000	0,499	0,000
0,038	0,024	0,038	0,024	0,270	0,170	0,268	0,169

**Tabel 4.25** (lanjutan)

Pukul 13:00							
$w_{1t}^*$	$w_{2t}^*$	$w_{3t}^*$	$w_{4t}^*$	$w_{5t}^*$	$w_{6t}^*$	$w_{7t}^*$	$w_{8t}^*$
0,187	0,187	0,187	0,187	0,063	0,063	0,063	0,063
0,031	0,031	0,031	0,031	0,220	0,219	0,220	0,219
⋮	⋮	⋮	⋮	⋮	⋮	⋮	⋮
0,000	0,000	0,000	0,000	0,480	0,020	0,480	0,020
0,162	0,023	0,162	0,023	0,275	0,039	0,275	0,039

Pukul 18:30							
$w_{1t}^*$	$w_{2t}^*$	$w_{3t}^*$	$w_{4t}^*$	$w_{5t}^*$	$w_{6t}^*$	$w_{7t}^*$	$w_{8t}^*$
0,153	0,153	0,152	0,153	0,097	0,098	0,097	0,097
0,107	0,107	0,107	0,107	0,143	0,143	0,143	0,143
⋮	⋮	⋮	⋮	⋮	⋮	⋮	⋮
0,000	0,000	0,000	0,000	0,392	0,109	0,391	0,109
0,004	0,002	0,003	0,002	0,340	0,175	0,313	0,161

**Tabel 4.26** Hasil Perhitungan Pada Lapisan 3 Fungsi *Generalized Bell*

Pukul 05:00							
$w_{1t}^*$	$w_{2t}^*$	$w_{3t}^*$	$w_{4t}^*$	$w_{5t}^*$	$w_{6t}^*$	$w_{7t}^*$	$w_{8t}^*$
0,315	0,153	0,174	0,085	0,118	0,058	0,065	0,032
0,095	0,052	0,141	0,077	0,165	0,090	0,245	0,134
⋮	⋮	⋮	⋮	⋮	⋮	⋮	⋮
0,001	0,022	0,002	0,058	0,008	0,248	0,020	0,641
0,001	0,030	0,003	0,081	0,010	0,231	0,026	0,617

Pukul 13:00							
$w_{1t}^*$	$w_{2t}^*$	$w_{3t}^*$	$w_{4t}^*$	$w_{5t}^*$	$w_{6t}^*$	$w_{7t}^*$	$w_{8t}^*$
0,240	0,069	0,404	0,117	0,049	0,014	0,083	0,024
0,010	0,038	0,021	0,079	0,058	0,220	0,120	0,453
⋮	⋮	⋮	⋮	⋮	⋮	⋮	⋮
0,002	0,022	0,004	0,049	0,020	0,269	0,045	0,589
0,005	0,049	0,010	0,099	0,026	0,251	0,053	0,507

**Tabel 4.26 (lanjutan)**

Pukul 18:30							
$w_{1t}^*$	$w_{2t}^*$	$w_{3t}^*$	$w_{4t}^*$	$w_{5t}^*$	$w_{6t}^*$	$w_{7t}^*$	$w_{8t}^*$
0,179	0,114	0,175	0,112	0,129	0,083	0,127	0,081
0,108	0,108	0,117	0,116	0,133	0,132	0,143	0,143
:	:	:	:	:	:	:	:
0,007	0,016	0,046	0,111	0,031	0,074	0,211	0,504
0,014	0,032	0,073	0,170	0,034	0,079	0,179	0,419

Proses selanjutnya adalah defuzzifikasi, dimana pada proses tersebut terjadi pengembalian himpunan bilangan *fuzzy* menjadi bilangan *crisp* menggunakan parameter linier yang didapatkan dari hasil pembelajaran alur maju. Hasil dari nilai parameter linier berdasarkan masing-masing jenis fungsi keanggotaannya dapat dilihat dalam Tabel 4.27, 4.28, dan 4.29.

**Tabel 4.27 Nilai Parameter Linier Fungsi *Gaussian***

Pukul 05:00				
Aturan	$\alpha$	$\beta$	$\gamma$	$\tau$
1	-2,141	6,665	-5,968	6096
2	3,842	-25,41	6,916	45360
3	4,713	-2,226	10,69	-32120
4	1,252	-5,863	2,455	15250
5	-0,5014	-7,747	4,806	15950
6	3,749	9,583	1,408	-49530
7	3,096	-5,22	-0,3088	12430
8	0,3111	3,42	-1,228	-7487

Pukul 13:00				
Aturan	$\alpha$	$\beta$	$\gamma$	$\tau$
1	6.131	0.5301	2.198	-18550
2	-6.062	-10.61	6.755	19000
3	3.336	-5.739	0.661	14770
4	4.238	-1.896	-1.516	10970
5	6.793	2.444	-3.663	-22980
6	-1.864	-2.622	-1.586	29230
7	-0.8402	3.444	2.611	-15150
8	2.930	-1.602	1.326	-8657

**Tabel 4.27** (lanjutan)

Pukul 18:30				
Aturan	$\alpha$	$\beta$	$\gamma$	$\tau$
1	4,81	0,4817	1,518	-19120
2	-1,937	-14,08	14,05	-1745
3	-1,565	-11,21	14,74	7092
4	7,733	-0,7727	3,643	-38590
5	6,816	0,8778	-3,735	-19310
6	1,641	-3,1	-4,668	33500
7	-3,981	4,196	-1,516	10050
8	4,377	-1,415	-0,5369	-7983

**Tabel 4.28** Nilai Parameter Linier Fungsi *Trapezoidal*

Pukul 05:00				
Aturan	$\alpha$	$\beta$	$\gamma$	$\tau$
1	0,4436	1,205	-0,8624	897,1
2	2,161	-4,084	2,448	1165
3	1,649	0,6086	0,4583	-5299
4	0,8939	0,517	-0,7503	1466
5	1,191	-1,96	0,2927	4309
6	1,918	1,019	-0,8406	-4408
7	0,4037	-1,356	0,08413	7207
8	0,675	0,3414	-0,2302	827,4
Pukul 13:00				
Aturan	$\alpha$	$\beta$	$\gamma$	$\tau$
1	1,281	-0,4044	0,532	-810,4
2	0,5489	-1,652	0,863	2760
3	2,305	-1,44	-0,3837	3715
4	1,349	0,9275	-0,5522	-1710
5	1,669	1,259	-1,546	-2129
6	1,523	-0,9865	0,05341	424,6
7	0,349	0,9384	0,3385	-2289
8	0,7979	0,02659	-0,01143	694,3
Pukul 18:30				
Aturan	$\alpha$	$\beta$	$\gamma$	$\tau$
1	1,396	-0,05061	0,5998	-3205
2	0,9561	-1,096	3,912	-13160
3	0,1273	-1,589	3,065	-808
4	2,354	1,054	0,6783	-13560
5	2,018	-0,3463	-0,1352	-3007
6	2,33	-0,7668	0,211	-4050

**Tabel 4.28** (lanjutan)

Pukul 18:30				
Aturan	$\alpha$	$\beta$	$\gamma$	$\tau$
7	-0,4039	0,8722	-0,613	5038
8	0,9632	0,3425	-0,3816	302,7

**Tabel 4.29** Nilai Parameter Linier Fungsi *Generalized Bell*

Pukul 05:00				
Aturan	$\alpha$	$\beta$	$\gamma$	$\tau$
1	-0,1977	4,113	-2,128	-2000
2	3,147	-6,577	1,759	9209
3	2,111	2,633	0,2523	-14500
4	0,4509	2,449	-1,4	-970,4
5	1,065	-1,603	-0,1487	5304
6	2,843	-1,486	0,7925	-6560
7	0,4216	-2,086	1,924	3934
8	-0,04009	0,6413	-0,455	4012
Pukul 13:00				
Aturan	$\alpha$	$\beta$	$\gamma$	$\tau$
1	2,298	0,947	-0,2442	-5751
2	-2,232	-9,314	2,032	27690
3	1,065	-2,474	-0,819	12440
4	3,477	1,549	-1,533	-1020
5	2,9	3,252	-2,389	-9597
6	1,028	-3,246	0,3626	8034
7	-1,829	1,64	1,902	-2595
8	1,044	0,2621	0,04983	-329,5
Pukul 18:30				
Aturan	$\alpha$	$\beta$	$\gamma$	$\tau$
1	4,398	8,52	-3,454	-23300
2	-2,431	-17,18	19,08	-9949
3	-6,434	-10,54	38,04	-35020
4	10,27	6,542	27,36	-23120
5	2,616	-1,717	4,811	-15270
6	2,892	1,57	3,802	-37580
7	-4,122	3,714	-3,933	19280
8	3,966	-1,196	-4,3	13690

Proses defuzzifikasi pada lapisan 4 untuk fungsi *Gaussian*, *Trapezoidal*, dan *Generalized Bell* dapat dituliskan dalam persamaan seperti pada Tabel 4.30, 4.31, dan 4.32.

**Tabel 4.30** Persamaan Defuzzifikasi dengan Fungsi *Gaussian*

Pukul	Persamaan
5:00	$O_{4,1t}^* = w_{1t}^* Z_t^{(1)} = w_{1t}^* (-2,141Z_{t-1} + 6,665Z_{t-7} - 5,968Z_{t-8} + 6096)$ $O_{4,2t}^* = w_{2t}^* Z_t^{(2)} = w_{2t}^* (3,842Z_{t-1} - 25,41Z_{t-7} + 6,916Z_{t-8} + 45360)$ $O_{4,3t}^* = w_{3t}^* Z_t^{(3)} = w_{3t}^* (4,713Z_{t-1} - 2,226Z_{t-7} + 10,69Z_{t-8} - 32120)$ $O_{4,4t}^* = w_{4t}^* Z_t^{(4)} = w_{4t}^* (1252Z_{t-1} - 5863Z_{t-7} + 2,455Z_{t-8} + 15250)$ $O_{4,5t}^* = w_{5t}^* Z_t^{(5)} = w_{5t}^* (-0,5014Z_{t-1} - 7,747Z_{t-7} + 4,806Z_{t-8} + 15950)$ $O_{4,6t}^* = w_{6t}^* Z_t^{(6)} = w_{6t}^* (3,749Z_{t-1} + 9,583Z_{t-7} + 1,408Z_{t-8} - 49530)$ $O_{4,7t}^* = w_{7t}^* Z_t^{(7)} = w_{7t}^* (3,096Z_{t-1} - 5,22Z_{t-7} - 0,3088Z_{t-8} + 12430)$ $O_{4,8t}^* = w_{8t}^* Z_t^{(8)} = w_{8t}^* (0,3111Z_{t-1} + 3,42Z_{t-7} - 1,228Z_{t-8} - 7487)$
13:00	$O_{4,1t}^* = w_{1t}^* Z_t^{(1)} = w_{1t}^* (6,131Z_{t-1} + 0,5301Z_{t-7} + 2,198Z_{t-8} - 18550)$ $O_{4,2t}^* = w_{2t}^* Z_t^{(2)} = w_{2t}^* (-6,062Z_{t-1} - 10,61Z_{t-7} + 6,755Z_{t-8} + 19000)$ $O_{4,3t}^* = w_{3t}^* Z_t^{(3)} = w_{3t}^* (3,336Z_{t-1} - 5,739Z_{t-7} + 0,661Z_{t-8} + 14770)$ $O_{4,4t}^* = w_{4t}^* Z_t^{(4)} = w_{4t}^* (4,238Z_{t-1} - 1,896Z_{t-7} - 1,516Z_{t-8} + 10970)$ $O_{4,5t}^* = w_{5t}^* Z_t^{(5)} = w_{5t}^* (6,793Z_{t-1} + 2,444Z_{t-7} - 3,663Z_{t-8} - 22980)$ $O_{4,6t}^* = w_{6t}^* Z_t^{(6)} = w_{6t}^* (-1,864Z_{t-1} - 2,622Z_{t-7} - 1,586Z_{t-8} + 29230)$ $O_{4,7t}^* = w_{7t}^* Z_t^{(7)} = w_{7t}^* (-0,8402Z_{t-1} + 3,444Z_{t-7} + 2,611Z_{t-8} - 15150)$ $O_{4,8t}^* = w_{8t}^* Z_t^{(8)} = w_{8t}^* (2,930Z_{t-1} - 1,602Z_{t-7} + 1,326Z_{t-8} - 8657)$
18:30	$O_{4,1t}^* = w_{1t}^* Z_t^{(1)} = w_{1t}^* (4,81Z_{t-1} + 0,4817Z_{t-7} + 1,518Z_{t-8} - 19120)$ $O_{4,2t}^* = w_{2t}^* Z_t^{(2)} = w_{2t}^* (-1,937Z_{t-1} - 14,08Z_{t-7} + 14,05Z_{t-8} - 1745)$ $O_{4,3t}^* = w_{3t}^* Z_t^{(3)} = w_{3t}^* (-1,565Z_{t-1} - 11,21Z_{t-7} + 14,74Z_{t-8} + 7092)$ $O_{4,4t}^* = w_{4t}^* Z_t^{(4)} = w_{4t}^* (7,733Z_{t-1} - 0,7727Z_{t-7} - 3,735Z_{t-8} - 38590)$

**Tabel 4.30** (lanjutan)

Pukul	Persamaan
18:30	$O_{4,5t}^* = w_{5t}^* Z_t^{(5)} = w_{5t}^* (6,816Z_{t-1} + 0,8778Z_{t-7} - 3,735Z_{t-8} - 19310)$ $O_{4,6t}^* = w_{6t}^* Z_t^{(6)} = w_{6t}^* (1,641Z_{t-1} - 3,1Z_{t-7} - 4,668Z_{t-8} - 33500)$ $O_{4,7t}^* = w_{7t}^* Z_t^{(7)} = w_{7t}^* (-3,981Z_{t-1} + 4,196Z_{t-7} - 1,516Z_{t-8} + 10050)$ $O_{4,8t}^* = w_{8t}^* Z_t^{(8)} = w_{8t}^* (4,377Z_{t-1} - 1,415Z_{t-7} - 0,5369Z_{t-8} - 7983)$

**Tabel 4.31** Persamaan Defuzzifikasi dengan Fungsi *Trapezoidal*

Pukul	Persamaan
5:00	$O_{4,1t}^* = w_{1t}^* Z_t^{(1)} = w_{1t}^* (0,4436Z_{t-1} + 1,205Z_{t-7} - 0,8624Z_{t-8} + 897,1)$ $O_{4,2t}^* = w_{2t}^* Z_t^{(2)} = w_{2t}^* (2,161Z_{t-1} - 4,084Z_{t-7} + 2,448Z_{t-8} + 1165)$ $O_{4,3t}^* = w_{3t}^* Z_t^{(3)} = w_{3t}^* (1,649Z_{t-1} + 0,6086Z_{t-7} + 0,4583Z_{t-8} - 5299)$ $O_{4,4t}^* = w_{4t}^* Z_t^{(4)} = w_{4t}^* (0,8939Z_{t-1} + 0,517Z_{t-7} - 0,7503Z_{t-8} + 1466)$ $O_{4,5t}^* = w_{5t}^* Z_t^{(5)} = w_{5t}^* (1,191Z_{t-1} - 1,96Z_{t-7} + 0,2927Z_{t-8} + 4309)$ $O_{4,6t}^* = w_{6t}^* Z_t^{(6)} = w_{6t}^* (1,918Z_{t-1} + 1,019Z_{t-7} - 0,8406Z_{t-8} - 4408)$ $O_{4,7t}^* = w_{7t}^* Z_t^{(7)} = w_{7t}^* (0,4037Z_{t-1} - 1,356Z_{t-7} + 0,08413Z_{t-8} + 7207)$ $O_{4,8t}^* = w_{8t}^* Z_t^{(8)} = w_{8t}^* (0,675Z_{t-1} + 0,3414Z_{t-7} - 0,2302Z_{t-8} + 827,4)$
13:00	$O_{4,1t}^* = w_{1t}^* Z_t^{(1)} = w_{1t}^* (1,281Z_{t-1} - 0,4044Z_{t-7} + 0,532Z_{t-8} - 810,4)$ $O_{4,2t}^* = w_{2t}^* Z_t^{(2)} = w_{2t}^* (0,5489Z_{t-1} - 1,652Z_{t-7} + 0,863Z_{t-8} + 2760)$ $O_{4,3t}^* = w_{3t}^* Z_t^{(3)} = w_{3t}^* (2,305Z_{t-1} - 1,44Z_{t-7} - 0,3837Z_{t-8} + 3715)$ $O_{4,4t}^* = w_{4t}^* Z_t^{(4)} = w_{4t}^* (1,349Z_{t-1} + 0,9275Z_{t-7} - 0,5522Z_{t-8} - 1710)$ $O_{4,5t}^* = w_{5t}^* Z_t^{(5)} = w_{5t}^* (1,669Z_{t-1} + 1,259Z_{t-7} - 1,546Z_{t-8} - 2129)$ $O_{4,6t}^* = w_{6t}^* Z_t^{(6)} = w_{6t}^* (1,523Z_{t-1} - 0,9865Z_{t-7} - 0,05341Z_{t-8} - 424,6)$ $O_{4,7t}^* = w_{7t}^* Z_t^{(7)} = w_{7t}^* (0,349Z_{t-1} + 0,9384Z_{t-7} + 0,3385Z_{t-8} - 2289)$ $O_{4,8t}^* = w_{8t}^* Z_t^{(8)} = w_{8t}^* (0,7979Z_{t-1} + 0,02659Z_{t-7} - 0,01143Z_{t-8} + 694,3)$

**Tabel 4.31** (lanjutan)

Pukul	Persamaan
18:30	$O_{4,1t}^* = w_{1t}^* Z_t^{(1)} = w_{1t}^* (1,396Z_{t-1} - 0,05061Z_{t-7} + 0,5998Z_{t-8} - 3205)$ $O_{4,2t}^* = w_{2t}^* Z_t^{(2)} = w_{2t}^* (0,9561Z_{t-1} - 1,096Z_{t-7} + 3,912Z_{t-8} - 13160)$ $O_{4,3t}^* = w_{3t}^* Z_t^{(3)} = w_{3t}^* (0,1273Z_{t-1} - 1,589Z_{t-7} + 3,065Z_{t-8} - 808)$ $O_{4,4t}^* = w_{4t}^* Z_t^{(4)} = w_{4t}^* (2,354Z_{t-1} + 1,054Z_{t-7} + 0,6783Z_{t-8} - 13560)$ $O_{4,5t}^* = w_{5t}^* Z_t^{(5)} = w_{5t}^* (2,018Z_{t-1} - 0,3463Z_{t-7} - 0,1352Z_{t-8} - 3007)$ $O_{4,6t}^* = w_{6t}^* Z_t^{(6)} = w_{6t}^* (2,33Z_{t-1} - 0,7668Z_{t-7} + 0,211Z_{t-8} - 4050)$ $O_{4,7t}^* = w_{7t}^* Z_t^{(7)} = w_{7t}^* (-0,4039Z_{t-1} + 0,8722Z_{t-7} - 0,613Z_{t-8} + 5038)$ $O_{4,8t}^* = w_{8t}^* Z_t^{(8)} = w_{8t}^* (0,9632Z_{t-1} + 0,3425Z_{t-7} - 0,3816Z_{t-8} + 302,7)$

**Tabel 4.32** Persamaan Defuzzifikasi dengan Fungsi *Generalized Bell*

Pukul	Persamaan
5:00	$O_{4,1t}^* = w_{1t}^* Z_t^{(1)} = w_{1t}^* (-0,1977Z_{t-1} + 4,113Z_{t-7} - 2,128Z_{t-8} - 2000)$ $O_{4,2t}^* = w_{2t}^* Z_t^{(2)} = w_{2t}^* (3,147Z_{t-1} - 6,577Z_{t-7} + 1,759Z_{t-8} + 9209)$ $O_{4,3t}^* = w_{3t}^* Z_t^{(3)} = w_{3t}^* (2,111Z_{t-1} + 2,633Z_{t-7} + 0,2523Z_{t-8} - 14500)$ $O_{4,4t}^* = w_{4t}^* Z_t^{(4)} = w_{4t}^* (0,4509Z_{t-1} + 2,499Z_{t-7} - 1,4Z_{t-8} - 970,4)$ $O_{4,5t}^* = w_{5t}^* Z_t^{(5)} = w_{5t}^* (1,065Z_{t-1} - 1,603Z_{t-7} - 0,1487Z_{t-8} + 5304)$ $O_{4,6t}^* = w_{6t}^* Z_t^{(6)} = w_{6t}^* (2,843Z_{t-1} - 1,486Z_{t-7} + 0,7925Z_{t-8} - 6560)$ $O_{4,7t}^* = w_{7t}^* Z_t^{(7)} = w_{7t}^* (0,4216Z_{t-1} - 2,086Z_{t-7} + 1,924Z_{t-8} + 3934)$ $O_{4,8t}^* = w_{8t}^* Z_t^{(8)} = w_{8t}^* (-0,04009Z_{t-1} + 0,6413Z_{t-7} - 0,455Z_{t-8} + 4012)$
13:00	$O_{4,1t}^* = w_{1t}^* Z_t^{(1)} = w_{1t}^* (2,298Z_{t-1} + 0,947Z_{t-7} - 0,2442Z_{t-8} - 5751)$ $O_{4,2t}^* = w_{2t}^* Z_t^{(2)} = w_{2t}^* (-2,232Z_{t-1} - 9,314Z_{t-7} + 2,032Z_{t-8} + 27690)$ $O_{4,3t}^* = w_{3t}^* Z_t^{(3)} = w_{3t}^* (1,065Z_{t-1} - 2,474Z_{t-7} - 0,819Z_{t-8} + 12440)$ $O_{4,4t}^* = w_{4t}^* Z_t^{(4)} = w_{4t}^* (3,477Z_{t-1} + 1,549Z_{t-7} - 1,533Z_{t-8} - 1020)$ $O_{4,5t}^* = w_{5t}^* Z_t^{(5)} = w_{5t}^* (2,9Z_{t-1} + 3,252Z_{t-7} - 2,389Z_{t-8} - 9597)$ $O_{4,6t}^* = w_{6t}^* Z_t^{(6)} = w_{6t}^* (1,028Z_{t-1} - 3,246Z_{t-7} + 0,3626Z_{t-8} + 8304)$

**Tabel 4.32 (lanjutan)**

Pukul	Persamaan
13:00	$O_{4,7t}^* = w_{7t}^* Z_t^{(7)} = w_{7t}^* (-1,829Z_{t-1} + 1,64Z_{t-7} + 1,902Z_{t-8} - 2595)$ $O_{4,8t}^* = w_{8t}^* Z_t^{(8)} = w_{8t}^* (1,044Z_{t-1} + 0,2621Z_{t-7} + 0,04983Z_{t-8} - 329,5)$
18:30	$O_{4,1t}^* = w_{1t}^* Z_t^{(1)} = w_{1t}^* (4,398Z_{t-1} + 8,52Z_{t-7} - 3,454Z_{t-8} - 23300)$ $O_{4,2t}^* = w_{2t}^* Z_t^{(2)} = w_{2t}^* (-2,431Z_{t-1} - 17,18Z_{t-7} + 19,08Z_{t-8} - 9949)$ $O_{4,3t}^* = w_{3t}^* Z_t^{(3)} = w_{3t}^* (-6,434Z_{t-1} - 10,54Z_{t-7} + 38,04Z_{t-8} - 35020)$ $O_{4,4t}^* = w_{4t}^* Z_t^{(4)} = w_{4t}^* (10,27Z_{t-1} + 6,542Z_{t-7} + 27,36Z_{t-8} - 23120)$ $O_{4,5t}^* = w_{5t}^* Z_t^{(5)} = w_{5t}^* (2,616Z_{t-1} - 1,717Z_{t-7} + 4,811Z_{t-8} - 15270)$ $O_{4,6t}^* = w_{6t}^* Z_t^{(6)} = w_{6t}^* (2,892Z_{t-1} + 1,57Z_{t-7} + 3,802Z_{t-8} - 37580)$ $O_{4,7t}^* = w_{7t}^* Z_t^{(7)} = w_{7t}^* (-4,122Z_{t-1} + 3,714Z_{t-7} - 3,933Z_{t-8} + 19280)$ $O_{4,8t}^* = w_{8t}^* Z_t^{(8)} = w_{8t}^* (3,966Z_{t-1} - 1,196Z_{t-7} - 4,3Z_{t-8} + 13690)$

Hasil perhitungan output yang dihasilkan pada lapisan 4 berdasarkan masing-masing jenis fungsi keanggotaannya dapat dilihat dalam Tabel 4.33, 4.34, dan 4.35.

**Tabel 4.33 Hasil Perhitungan Pada Lapisan 4 Fungsi Gaussian**

Pukul 05:00							
$O_{4,1t}^*$	$O_{4,2t}^*$	$O_{4,3t}^*$	$O_{4,4t}^*$	$O_{4,5t}^*$	$O_{4,6t}^*$	$O_{4,7t}^*$	$O_{4,8t}^*$
358	-460	1652	729	646	-79	437	50
283	-667	1801	698	333	261	733	237
:	:	:	:	:	:	:	:
96	-64	588	131	881	284	1888	145
119	-409	1299	551	478	443	1001	285
Pukul 13:00							
$O_{4,1t}^*$	$O_{4,2t}^*$	$O_{4,3t}^*$	$O_{4,4t}^*$	$O_{4,5t}^*$	$O_{4,6t}^*$	$O_{4,7t}^*$	$O_{4,8t}^*$
1592	-1198	1743	1431	-252	279	545	-82
443	-1134	571	2044	-50	691	906	484
:	:	:	:	:	:	:	:
1153	-626	448	282	1228	1430	-24	247
1613	0	1965	0	-18	0	1333	0

**Tabel 4.33 (lanjutan)**

Pukul 18:30							
$O_{4,1t}^*$	$O_{4,2t}^*$	$O_{4,3t}^*$	$O_{4,4t}^*$	$O_{4,5t}^*$	$O_{4,6t}^*$	$O_{4,7t}^*$	$O_{4,8t}^*$
1868	-1175	2122	388	-257	538	838	136
1177	-1189	1791	863	-249	950	599	366
:	:	:	:	:	:	:	:
648	-461	517	320	729	1850	399	858
2981	0	0	0	640	0	0	0

**Tabel 4.34 Hasil Perhitungan Pada Lapisan 4 Fungsi Trapezoidal**

$O_{4,1t}^*$	$O_{4,2t}^*$	$O_{4,3t}^*$	$O_{4,4t}^*$	$O_{4,5t}^*$	$O_{4,6t}^*$	$O_{4,7t}^*$	$O_{4,8t}^*$
607	478	627	628	212	198	338	268
378	223	404	381	387	507	627	568
:	:	:	:	:	:	:	:
0	0	0	0	1764	0	2281	0
150	74	175	100	766	613	1128	644

Pukul 13:00

$O_{4,1t}^*$	$O_{4,2t}^*$	$O_{4,3t}^*$	$O_{4,4t}^*$	$O_{4,5t}^*$	$O_{4,6t}^*$	$O_{4,7t}^*$	$O_{4,8t}^*$
634	157	847	845	215	110	216	210
143	51	171	159	767	580	898	847
:	:	:	:	:	:	:	:
0	0	0	0	2190	82	1528	84
634	22	855	117	1117	89	1015	143

Pukul 18:30

$O_{4,1t}^*$	$O_{4,2t}^*$	$O_{4,3t}^*$	$O_{4,4t}^*$	$O_{4,5t}^*$	$O_{4,6t}^*$	$O_{4,7t}^*$	$O_{4,8t}^*$
736	243	760	541	335	322	452	419
559	328	647	444	530	528	631	620
:	:	:	:	:	:	:	:
0	0	0	0	1930	553	1640	536
23	6	18	10	1512	794	1336	754

**Tabel 4.35** Hasil Perhitungan Pada Lapisan 4 Fungsi *Generalized Bell*

Pukul 05:00							
$O_{4,1t}^*$	$O_{4,2t}^*$	$O_{4,3t}^*$	$O_{4,4t}^*$	$O_{4,5t}^*$	$O_{4,6t}^*$	$O_{4,7t}^*$	$O_{4,8t}^*$
1261	548	346	344	358	28	306	144
473	139	459	367	472	76	1061	624
:	:	:	:	:	:	:	:
5	119	8	282	31	637	90	2962
5	110	11	381	31	359	120	2841
Pukul 13:00							
$O_{4,1t}^*$	$O_{4,2t}^*$	$O_{4,3t}^*$	$O_{4,4t}^*$	$O_{4,5t}^*$	$O_{4,6t}^*$	$O_{4,7t}^*$	$O_{4,8t}^*$
1091	-611	1617	1346	243	1	287	101
60	-389	77	1014	320	119	483	2251
:	:	:	:	:	:	:	:
13	-112	27	699	119	911	16	3039
281	-514	41	1278	162	54	162	2353
Pukul 18:30							
$O_{4,1t}^*$	$O_{4,2t}^*$	$O_{4,3t}^*$	$O_{4,4t}^*$	$O_{4,5t}^*$	$O_{4,6t}^*$	$O_{4,7t}^*$	$O_{4,8t}^*$
3244	-2123	7483	17478	947	-306	301	670
1919	-1378	6403	19395	1245	-251	68	1051
:	:	:	:	:	:	:	:
138	-255	2026	18405	310	-102	-317	5410
265	-462	3554	28334	333	-121	-140	3923

Keterangan:

$w_{it}^*$  : hasil perhitungan  $w_{it}^*$  dalam lapisan 3 pada fungsi *Gaussian*

$w_{it}^{**}$  : hasil perhitungan  $w_{it}^*$  dalam lapisan 3 pada fungsi *Trapezoidal*

$w_{it}^{***}$  : hasil perhitungan  $w_{it}^*$  dalam lapisan 3 pada fungsi *Generalized Bell*.

Proses akhir dari ANFIS yaitu perhitungan pada lapisan 5 dengan cara menjumlahkan seluruh *output* yang berasal dari lapisan 4. Secara matematis *output* yang dihasilkan oleh lapisan 5 dapat dituliskan sebagai berikut,

$$\begin{aligned}
O_{5t}^* &= \hat{Z}_t^* = w_{1t}^* Z_t^{(1)} + w_{2t}^* Z_t^{(2)} + w_{3t}^* Z_t^{(3)} + w_{4t}^* Z_t^{(4)} + w_{5t}^* Z_t^{(5)} \\
&\quad + w_{6t}^* Z_t^{(6)} + w_{7t}^* Z_t^{(7)} + w_{8t}^* Z_t^{(8)} \\
O_{5t}^{**} &= \hat{Z}_t^{**} = w_{1t}^{**} Z_t^{(1)} + w_{2t}^{**} Z_t^{(2)} + w_{3t}^{**} Z_t^{(3)} + w_{4t}^{**} Z_t^{(4)} + w_{5t}^{**} Z_t^{(5)} \\
&\quad + w_{6t}^{**} Z_t^{(6)} + w_{7t}^{**} Z_t^{(7)} + w_{8t}^{**} Z_t^{(8)} \\
O_{5t}^{***} &= \hat{Z}_t^{***} = w_{1t}^{***} Z_t^{(1)} + w_{2t}^{***} Z_t^{(2)} + w_{3t}^{***} Z_t^{(3)} + w_{4t}^{***} Z_t^{(4)} + w_{5t}^{***} Z_t^{(5)} \\
&\quad + w_{6t}^{***} Z_t^{(6)} + w_{7t}^{***} Z_t^{(7)} + w_{8t}^{***} Z_t^{(8)}
\end{aligned}$$

dimana

- $O_{5t}^*$  : persamaan *output* lapisan 5 dengan fungsi keanggotaan *Gaussian*
- $O_{5t}^{**}$  : persamaan *output* lapisan 5 dengan fungsi keanggotaan *Trapezoidal*
- $O_{5t}^{***}$  : persamaan *output* lapisan 5 dengan fungsi keanggotaan *Generalized Bell*.

Berdasarkan hasil dari peramalan konsumsi beban listrik di Jawa Timur pukul 05:00, 13:00, dan 18:30 menggunakan ANFIS didapatkan hasil kebaikan ramalan dari data *in sample* menghasilkan *error* yang berbeda jauh. Hal ini disebabkan oleh *error* yang dihasilkan berdasarkan ramalan *out sample* sekitar 2 kali lipat dari *in sample*. Perbandingan tingkat keakuratan hasil ramalan *in sample* dan *out sample* dapat dilihat dalam Tabel 4.36.

**Tabel 4.36** Hasil Perbandingan Kebaikan Ramalan *In Sample* dan *Out Sample* Model ANFIS

Kriteria Kebaikan Model		Pukul 05:00		
		Fungsi Keanggotaan		
		<i>Gaussian</i>	<i>Trapezoidal</i>	<i>Generalized Bell</i>
		RMSE <i>In Sample</i>	154,161	154,899
SMAPE		<i>Out Sample</i>	343,848	343,668
		<i>In Sample</i>	3,095	3,113
MAPE		<i>Out Sample</i>	7,096	7,138
		<i>In Sample</i>	3,108	3,125
		<i>Out Sample</i>	6,783	6,825

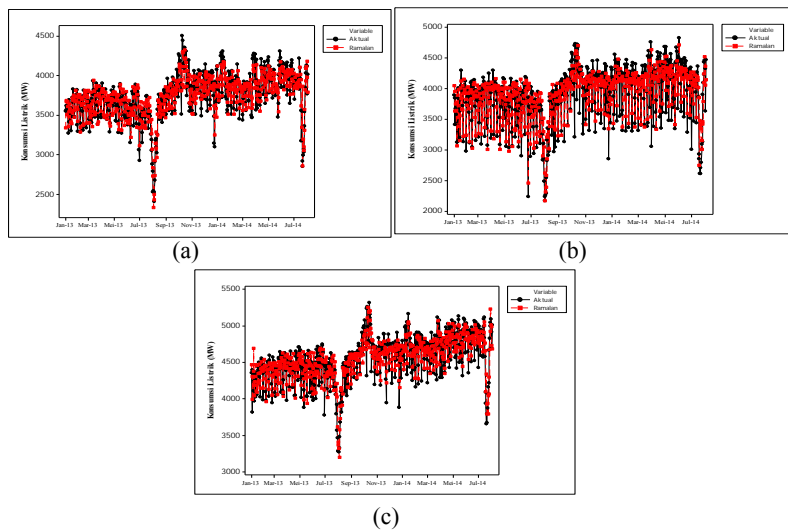
**Tabel 4.36 (lanjutan)**

		Pukul 13:00		
Kriteria Kebaikan Model		Fungsi Keanggotaan		
		Gaussian	Trapezoidal	Generalized Bell
RMSE	<i>In Sample</i>	271,358	270,235	266,954
	<i>Out Sample</i>	409,778	429,841	426,218
SMAPE	<i>In Sample</i>	4,833	4,812	4,757
	<i>Out Sample</i>	7,817	8,456	8,347
MAPE	<i>In Sample</i>	4,953	4,932	4,869
	<i>Out Sample</i>	7,492	8,039	7,971

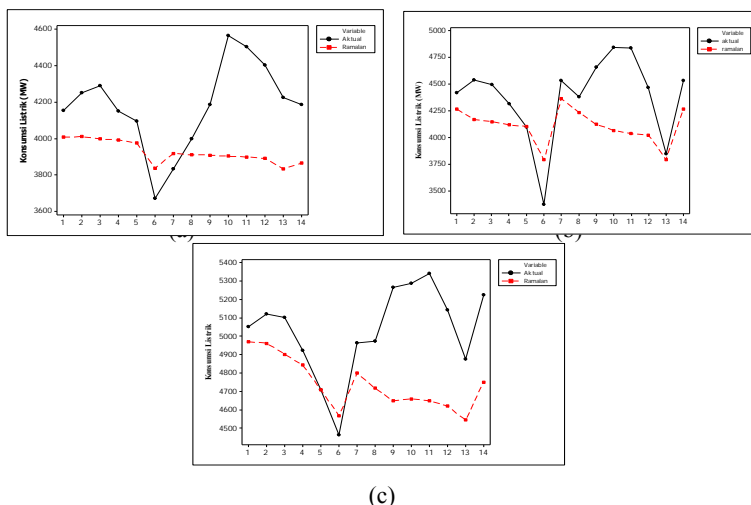
  

		Pukul 18:30		
Kriteria Kebaikan Model		Fungsi Keanggotaan		
		Gaussian	Trapezoidal	Generalized Bell
RMSE	<i>In Sample</i>	166,993	169,280	165,457
	<i>Out Sample</i>	386,464	382,050	407,636
SMAPE	<i>In Sample</i>	2,697	2,762	2,686
	<i>Out Sample</i>	6,688	6,254	7,013
MAPE	<i>In Sample</i>	2,709	2,773	2,700
	<i>Out Sample</i>	6,406	5,975	6,694

Hasil dari kebaikan ramalan Pada Tabel 4.36 untuk data konsumsi listrik pukul 05:00 baik pada *in sample* maupun *out sample* memberikan ramalan dengan tingkat akurasi yang sama. Hal ini ditunjukkan oleh nilai RMSE, SMAPE, dan MAPE pukul 05:00 yang paling kecil baik pada *in sample* maupun *out sample* berasal dari jenis fungsi keanggotaan *Generalized Bell*. Sedangkan pada peramalan konsumsi listrik pukul 13:00 dan 18:30 dari *in sample* dan *out sample* memberikan ramalan dengan tingkat akurasi yang berbeda. Pada kebaikan *in sample* peramalan konsumsi listrik pukul 13:00 dan 18:30, fungsi keanggotaan *Generalized Bell* memberikan hasil yang paling akurat.



**Gambar 4.15** Perbandingan Ramalan *In Sample* Model ANFIS Pukul 05:00 (a),  
13:00 (b) dan 18:30 (c)



**Gambar 4.16** Perbandingan Ramalan *Out Sample* Model ANFIS Pukul 05:00  
(a), 13:00 (b), dan 18:30 (c)

Apabila dilihat dari *out sample*, maka pada peramalan pukul 13:00 jenis fungsi keanggotaan yang paling memberikan hasil ramalan akurat adalah *Gaussian*. Sedangkan untuk peramalan pukul 18:30 jenis fungsi keanggotaan yang paling akurat berdasarkan *out sample* adalah *Trapezoidal*. Jika hasil kebaikan model peramalan dari data *in sample* dan *out sample* berbeda, maka pemilihan model terbaik dilihat berdasarkan *out sample*. Oleh karena itu, model ANFIS dengan jenis fungsi keanggotaan *Generalized Bell* memberikan hasil yang paling akurat untuk meramalkan konsumsi beban listrik pukul 05:00 dibandingkan dengan 2 jenis fungsi keanggotaan lainnya yaitu *Gaussian* dan *Trapezoidal*. Sedangkan untuk meramalkan konsumsi listrik pada pukul 13:00 model ANFIS yang paling akurat menggunakan jenis fungsi keanggotaan *Gaussian*. Selanjutnya untuk jenis fungsi keanggotaan yang paling baik digunakan dalam meramalkan konsumsi listrik pukul 18:30 dengan ANFIS adalah *Trapezoidal*. Secara visual hasil dari perbandingan data aktual dengan ramalan menggunakan ANFIS terbaik berdasarkan data *in sample* maupun *out sample* dapat dilihat dalam Gambar 4.15 dan 4.16. Sedangkan hasil model terbaik berdasarkan data *out sample* dalam meramalkan konsumsi beban listrik di Jawa Timur pukul 00:00 hingga 23:30 dengan tahapan analisis model ANFIS seperti pada peramalan pukul 05:00, 13:00, dan 18:30 sebelumnya dapat dilihat pada Tabel 4.37 berikut ini.

**Tabel 4.37** Hasil Pemilihan Model ANFIS Terbaik Untuk Peramalan Konsumsi Beban Listrik Data Pukul 00:00 Hingga 23:30

Jam	Jenis Fungsi Keanggotaan	RMSE	SMAPE	MAPE
00:00	<i>Trapezoidal</i>	326,1202	6,9770	6,7326
00:30	<i>Gaussian</i>	340,1852	7,3902	7,0727
01:00	<i>Gaussian</i>	331,7736	7,0634	3,3970
01:30	<i>Gaussian</i>	302,2525	6,6001	6,3545
02:00	<i>Gaussian</i>	317,8906	7,1524	6,8745
02:30	<i>Gaussian</i>	322,3134	7,2993	7,0106
03:00	<i>Gaussian</i>	343,2033	7,3610	7,6914
03:30	<i>Gaussian</i>	325,6463	7,3880	7,0815
04:00	<i>Gaussian</i>	297,5031	6,6739	6,4245
04:30	<i>Gaussian</i>	306,9514	6,7737	6,5205

**Tabel 4.37 (lanjutan)**

Jam	Jenis Fungsi Keanggotaan	RMSE	SMAPE	MAPE
05:30	<i>Gaussian</i>	293,2884	6,2063	5,9967
06:00	<i>Trapezoidal</i>	481,2494	12,0995	12,4617
06:30	<i>Gaussian</i>	435,8612	11,1585	11,5393
07:00	<i>Trapezoidal</i>	418,2722	10,2331	10,7980
07:30	<i>Trapezoidal</i>	492,1420	11,7590	12,5787
08:00	<i>Trapezoidal</i>	551,2520	12,4016	13,5605
08:30	<i>Gaussian</i>	634,4432	14,3317	15,2206
09:00	<i>Gaussian</i>	679,8931	15,7526	16,3215
09:30	<i>Generalized Bell</i>	680,3761	15,3121	15,9909
10:00	<i>Gaussian</i>	712,2523	15,6030	16,2744
10:30	<i>Trapezoidal</i>	726,9495	16,2741	17,1303
11:00	<i>Generalized Bell</i>	765,0649	16,0608	17,6381
11:30	<i>Trapezoidal</i>	737,2540	15,7121	16,8023
12:00	<i>Trapezoidal</i>	690,1737	15,2892	15,9811
12:30	<i>Generalized Bell</i>	696,1146	16,4268	16,9534
13:30	<i>Trapezoidal</i>	786,9758	16,9685	17,5909
14:00	<i>Generalized Bell</i>	729,4074	16,1518	17,0712
14:30	<i>Generalized Bell</i>	719,6345	15,3639	16,5812
15:00	<i>Gaussian</i>	773,4012	17,5220	18,1208
15:30	<i>Trapezoidal</i>	755,5545	16,3203	17,5443
16:00	<i>Generalized Bell</i>	685,5501	13,6354	15,0887
16:30	<i>Gaussian</i>	667,8337	14,1700	15,2378
17:00	<i>Gaussian</i>	637,5523	13,3137	13,9681
17:30	<i>Trapezoidal</i>	619,4490	11,7572	12,2769
18:00	<i>Trapezoidal</i>	560,7807	10,0661	10,4042
19:00	<i>Generalized Bell</i>	568,0955	10,4178	10,7299
19:30	<i>Trapezoidal</i>	564,6564	10,5000	10,6954
20:00	<i>Trapezoidal</i>	559,6174	10,4781	10,7608
20:30	<i>Gaussian</i>	545,2137	10,3681	10,6127
21:00	<i>Gaussian</i>	534,3837	10,3739	10,5891
21:30	<i>Gaussian</i>	544,5463	10,9386	11,1759
22:00	<i>Trapezoidal</i>	483,6620	10,0531	10,2567
22:30	<i>Generalized Bell</i>	555,0872	11,5814	12,0824
23:00	<i>Trapezoidal</i>	510,7900	11,0723	11,4722
23:30	<i>Trapezoidal</i>	519,4860	11,6553	12,008

#### 4.4 Perbandingan Hasil Ramalan Metode ARIMA dan ANFIS

Ramalan konsumsi beban listrik di Jawa Timur menggunakan metode ARIMA dan ANFIS pada pembahasan sebelumnya menunjukkan hasil yang berbeda-beda. Oleh karena itu, dalam pembahasan ini akan dilakukan perbandingan kebaikan model hasil ramalan dari kedua metode tersebut untuk mengetahui metode yang paling sesuai untuk meramalkan konsumsi beban listrik per setengah jamnya.

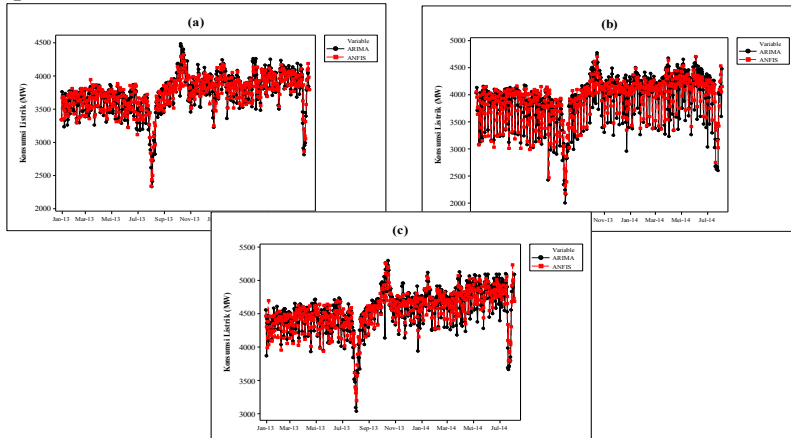
**Tabel 4.38** Hasil Perbandingan Kebaikan Ramalan *In Sample* dan *Out Sample* Metode ARIMA dan ANFIS

Jam	Metode	RMSE		SMAPE		MAPE	
		<i>In</i>	<i>Out</i>	<i>In</i>	<i>Out</i>	<i>In</i>	<i>Out</i>
05:00	ARIMA	119,065	198,386	2,513	4,071	2,518	4,027
	ANFIS	152,963	342,276	3,050	7,06	3,063	6,755
13:00	ARIMA	160,600	174,332	2,978	3,303	2,998	3,305
	ANFIS	271,358	409,778	4,833	7,817	4,953	7,492
18:30	ARIMA	126,126	196,462	2,147	3,084	2,152	3,015
	ANFIS	169,993	382,050	2,762	6,254	2,773	5,975

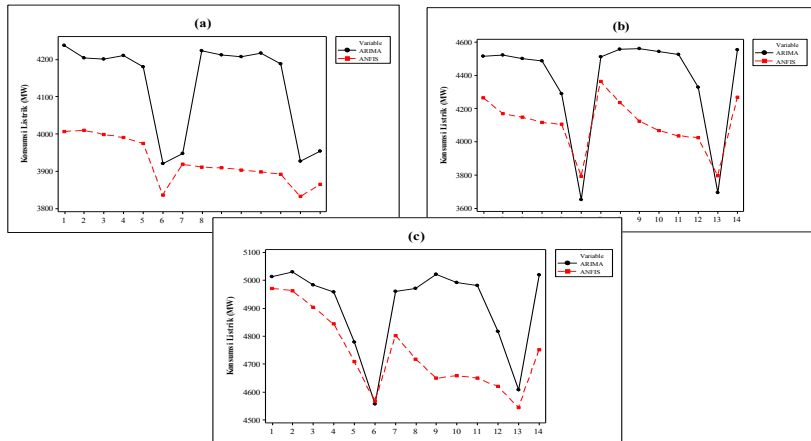
Kebaikan model ditentukan berdasarkan 3 kriteria yaitu RMSE, SMAPE, dan MAPE. Hasil dari perbandingan kedua metode tersebut berdasarkan data *in sample* dan *out sample* dapat dilihat pada Tabel 4.38. Secara umum hasil kebaikan model dengan metode ARIMA yang terdapat dalam Tabel 4.38 menghasilkan nilai yang lebih akurat dibandingkan dengan metode ANFIS. Hal ini ditunjukkan oleh nilai RMSE, SMAPE, dan MAPE pada metode ARIMA untuk ketiga waktu tersebut baik dari *in sample* maupun *out sample* memberikan nilai yang lebih kecil dibandingkan hasil ANFIS.

Sedangkan untuk nilai keakuratan *in sample* lebih baik dibandingkan *out sample* pada kedua metode tersebut. Hal ini menunjukkan bahwa kedua metode ARIMA dan ANFIS telah mampu mengikuti pola data aktual (asli) yang digunakan sebagai data *in sample* dengan baik. Perbandingan hasil metode ARIMA dan ANFIS berdasarkan data *in sample* dan *out sample* secara

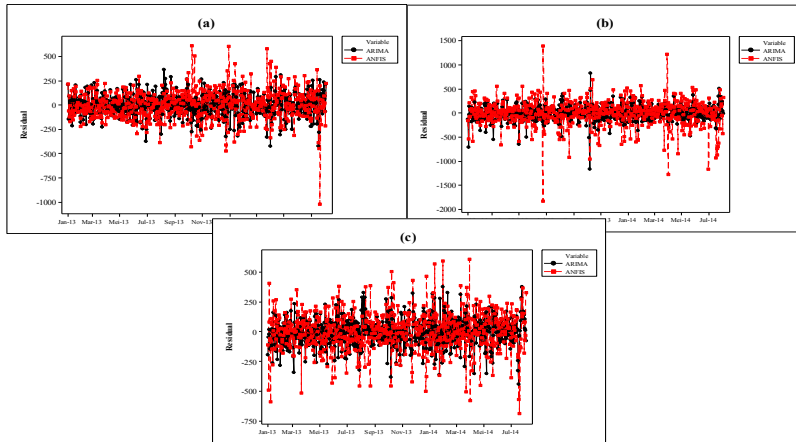
visual dapat dilihat pada Gambar 4.17 dan 4.18. Sedangkan untuk perbandingan residual yang dihasilkan oleh kedua metode tersebut baik pada *in sample* maupun *out sample* dapat dilihat pada Gambar 4.19 dan 4.20.



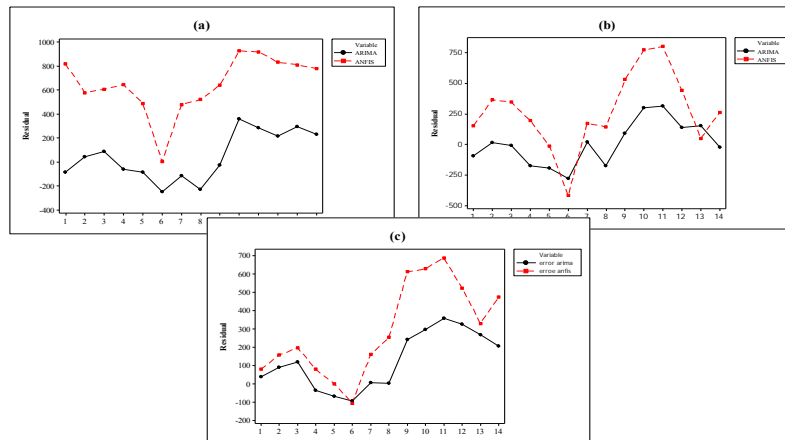
**Gambar 4.17** Perbandingan Ramalan *In Sample* Model ARIMA dan ANFIS  
Pukul 05:00 (a), 13:00 (b) dan 18:30 (c)



**Gambar 4.18** Perbandingan Ramalan *Out Sample* Model ARIMA dan ANFIS  
Pukul 05:00 (a), 13:00 (b) dan 18:30 (c)



**Gambar 4.19** Perbandingan *Error In Sample* Model ARIMA dan ANFIS Pukul 05:00 (a), 13:00 (b) dan 18:30 (c)



**Gambar 4.20** Perbandingan *Error Out Sample* Model ARIMA dan ANFIS Pukul 05:00 (a), 13:00 (b) dan 18:30 (c)

Hasil perbandingan nilai *error* yang dihasilkan data *in sample* pukul 05:00, 13:00, dan 18:30 dalam Gambar 4.19 secara umum menunjukkan bahwa varians *error* dari ANFIS lebih besar dibandingkan ARIMA. Pada perbandingan nilai *error* berdasarkan

data *out sample* pada Gambar 4.20 (a) menunjukkan bahwa *error* yang dihasilkan oleh semua data *out sample* pukul 05:00 pada metode ARIMA lebih kecil daripada ANFIS. Begitu juga untuk *error* dari hasil peramalan pada pukul 13:00 dan 18:30 dengan metode ARIMA hanya ada 1 yang lebih kecil dari hasil ANFIS. Oleh karena itu, ARIMA merupakan metode yang paling sesuai untuk meramalkan konsumsi listrik pada pukul 05:00, 13:00, dan 18:00. Hasil dari peramalan konsumsi listrik pukul 05:00, 13:00, dan 18:30 dengan metode ARIMA yang disertai deteksi *outlier* untuk 14 hari ke depan dapat dilihat dalam Tabel 4.39.

**Tabel 4.39** Hasil Ramalan Konsumsi Beban Listrik

Pukul	Tanggal	Ramalan	LCL	UCL
05:00	26 Agustus 2014	4457,96	4220,34	4695,57
	27 Agustus 2014	4465,38	4174,37	4756,40
	28 Agustus 2014	4482,42	4157,56	4807,28
	29 Agustus 2014	4481,09	4125,59	4836,58
	30 Agustus 2014	4447,17	4063,48	4830,86
	31 Agustus 2014	4183,24	3773,28	4593,19
	1 September 2014	4213,25	3778,61	4647,88
	2 September 2014	4480,89	4019,16	4942,61
	3 September 2014	4484,29	3998,04	4970,54
	4 September 2014	4501,33	3992,07	5010,58
	5 September 2014	4499,99	3968,72	5031,26
	6 September 2014	4466,08	3913,67	5018,48
	7 September 2014	4202,14	3629,39	4774,90
	8 September 2014	4232,15	3639,74	4824,57
13:00	26 Agustus 2014	4662,47	4340,15	4984,79
	27 Agustus 2014	4701,65	4345,24	5058,05
	28 Agustus 2014	4698,72	4311,21	5086,22
	29 Agustus 2014	4669,71	4253,43	5086,00
	30 Agustus 2014	4455,45	4012,25	4898,66
	31 Agustus 2014	3813,24	3344,66	4281,82
	1 September 2014	4683,20	4190,55	5175,84
	2 September 2014	4710,75	4186,14	5235,36
	3 September 2014	4749,92	4199,85	5300,00
	4 September 2014	4747,00	4172,59	5321,40
	5 September 2014	4717,99	4120,24	5351,75
	6 September 2014	4503,73	3883,51	5123,95
	7 September 2014	3861,51	3219,61	4503,42
	8 September 2014	4731,47	4068,60	5394,35
18:30	26 Agustus 2014	5280,24	5030,47	5530,01
	27 Agustus 2014	5359,61	5054,69	5671,88
	28 Agustus 2014	5320,37	4968,85	5671,88

**Tabel 4.39 (lanjutan)**

Pukul	Tanggal	Ramalan	LCL	UCL
18:30	29 Agustus 2014	5301,79	4909,17	5694,41
	30 Agustus 2014	5109,91	4680,11	5539,72
	31 Agustus 2014	4883,28	4419,25	5347,31
	1 September 2014	5286,21	4790,32	5782,10
	2 September 2014	5304,80	4772,09	5837,50
	3 September 2014	5384,47	4819,33	5949,61
	4 September 2014	5361,67	4765,86	5957,48
	5 September 2014	5344,79	4726,49	5963,08
	6 September 2014	5173,80	4533,81	5813,80
	7 September 2014	4957,99	4297,01	5618,97
	8 September 2014	5370,86	4689,55	6052,18

Dari Tabel 4.39 menunjukkan bahwa hasil ramalan konsumsi beban listrik dari pagi hingga malam terus mengalami kenaikan. Terutama pada malam hari yakni pukul 18:30 konsumsi listrik rata-rata diatas 5000 MW, kecuali pada tanggal 31 Agustus 2014 dan 7 September 2014. Hal ini disebabkan pada kedua tanggal tersebut merupakan hari minggu.

### Catatan :

Berdasarkan hasil analisis yang telah dilakukan dalam penelitian ini menunjukkan bahwa model ARIMA dengan deteksi *outlier* memberikan tingkat akurasi yang lebih baik dibandingkan dengan model ANFIS. Pada metode ANFIS hanya mempertimbangkan adanya pola musiman dan tidak mempertimbangkan adanya *outlier*. Sedangkan pada metode ARIMA mempertimbangkan kedua faktor tersebut. Hasil dari penelitian ini mendukung dari hasil penelitian yang dilakukan oleh Makridakis dan Hibon (2000) yang menyebutkan bahwa berbagai macam metode seperti Theta, ForecastPro, ForecastX, Comb S-H-D, Dampen, RBF, dan ARARMA memberikan tingkat keakuratan yang lebih baik dibandingkan dengan metode Naïve2. Hal ini disebabkan oleh keenam metode tersebut dapat melakukan peramalan dengan mempertimbangkan faktor lain selain pola musiman dari data, sedangkan pada metode Naïve2 hanya dapat memasukkan faktor musimannya saja.

## **BAB V**

### **KESIMPULAN DAN SARAN**

#### **5.1 Kesimpulan**

Berdasarkan analisis dan pembahasan yang telah dilakukan, maka kesimpulan yang dapat diambil dari penelitian ini adalah sebagai berikut.

1. Karakteristik konsumsi listrik di Jawa Timur pada Tahun 2013 hingga 2014 yang dihitung tiap setengah jam mempunyai rata-rata tertinggi sebesar 4549,8 MW dan terendah 3428,5 MW. Rata-rata konsumsi tertinggi tersebut terjadi pada pukul 18:30 WIB dan yang terendah terjadi pada pukul 07:00. Sedangkan jika konsumsi listrik dihitung berdasarkan rata-rata harianya, maka rata-rata pemakaian listrik mengalami penurunan secara drastis pada hari Sabtu dan Minggu. Keragaman pemakaian listrik di Jawa Timur paling besar terjadi pada pukul 13:30 dan yang terendah pada pukul 06:00.
2. Berikut uraian hasil peramalan konsumsi listrik pada masing-masing metode yang digunakan :
  - a) Pada analisis peramalan untuk konsumsi listrik pukul 05:00 didapatkan model ARIMA yang terbaik yaitu  $(0,1,2)(0,1,1)^7$ . Sedangkan model yang terbaik dalam meramalkan konsumsi listrik di Jawa Timur pukul 13:00 dan 18:30 adalah  $(0,1,2)(0,1,1)^7$  dan  $(0,1,[1,10])(0,1,1)^7$ . Hasil dari selisih antara data aktual dengan hasil ramalan untuk konsumsi listrik pukul 5:00, 13:00, dan 18:30 berdasarkan data *in sample* berdasarkan nilai MAPE yaitu sebesar 2,518, 2,998, dan 2,152. Begitu juga untuk hasil ramalan berdasarkan data *out sample* pada masing-masing model menunjukkan hasil yang cukup baik hingga hari ke 8, sedangkan untuk hari ke 9 hingga 12 selisihnya besar.
  - b) Pada metode ANFIS, model terbaik dalam meramalkan konsumsi listrik di Jawa timur pukul 05:00 yaitu model

ANFIS dengan fungsi keanggotaan *Generalized Bell*. Sedangkan untuk meramalkan konsumsi listrik pada pukul 13:00 model ANFIS yang paling akurat menggunakan jenis fungsi keanggotaan *Gaussian*. Selanjutnya untuk jenis fungsi keanggotaan yang paling baik digunakan dalam meramalkan konsumsi listrik pukul 18:30 dengan ANFIS adalah *Trapezoidal*.

3. Secara umum hasil kebaikan model dengan metode ARIMA menghasilkan nilai yang lebih akurat dibandingkan dengan metode ANFIS. Hal ini ditunjukkan oleh nilai RMSE, SMAPE, dan MAPE pada metode ARIMA untuk meramalkan konsumsi listrik pukul 05:00, 13:00, dan 18:30 baik dari *in sample* maupun *out sample* memberikan nilai yang lebih kecil dibandingkan hasil ANFIS. Selain itu juga pada hasil perbandingan nilai *error* yang dihasilkan dari data *in sample* maupun *out sample* secara umum menunjukkan bahwa varians *error* dari metode ANFIS lebih besar dibandingkan metode ARIMA. Oleh karena itu, dalam penelitian ini ARIMA merupakan metode yang paling sesuai untuk meramalkan konsumsi listrik di Jawa Timur untuk pukul 05:00, 13:00, dan 18:30.

## 5.2 Saran

Saran yang diberikan untuk penelitian selanjutnya sebaiknya menggunakan metode lain selain ARIMA dan ANFIS agar mendapatkan perbandingan hasil peramalan yang lebih akurat. Pada penelitian ini, deteksi *outlier* hanya dilakukan untuk pemodelan ARIMA. Oleh karena itu, pada penelitian selanjutnya diharapkan untuk melakukan deteksi *outlier* pada pemodelan ANFIS.

## DAFTAR LAMPIRAN

	<b>Halaman</b>	
Lampiran 1	Data Konsumsi Beban Listrik di Jawa Timur Tahun 2013-2014.....	97
Lampiran 2	Syntax SAS Model ARIMA $(0,1,2)(0,1,1)^7$ Untuk Data Pukul 05:00 .....	104
Lampiran 3	Syntax SAS Model ARIMA $(0,1,1)(0,1,1)^7$ Untuk Data Pukul 13:00 .....	105
Lampiran 4	Syntax SAS Model ARIMA $(0,1,[1,0])(0,1,1)^7$ Untuk Data Pukul 18:30 .....	106
Lampiran 5	Syntax SAS Model ARIMAX $(0,1,2)(0,1,1)^7$ Untuk Data Pukul 05:00 .....	107
Lampiran 6	Syntax SAS Model ARIMAX $(0,1,1)(0,1,1)^7$ Untuk Data Pukul 13:00 .....	109
Lampiran 7	Syntax SAS Model ARIMAX $(0,1,[1,0])(0,1,1)^7$ Untuk Data Pukul 18:30 .....	112
Lampiran 8	Syntax MATLAB Model ANFIS Untuk Data Pukul 05:00 dengan Fungsi <i>Gaussian</i> dan 2 <i>Membership Function</i> .....	114
Lampiran 9	Syntax MATLAB Model ANFIS Untuk Data Pukul 05:00 dengan Fungsi <i>Trapezoidal</i> dan 2 <i>Membership Function</i> .....	115
Lampiran 10	Syntax MATLAB Model ANFIS Untuk Data Pukul 05:00 dengan Fungsi <i>Generalized Bell</i> dan 2 <i>Membership Function</i> .....	116
Lampiran 11	Output SAS Model ARIMA $(0,1,2)(0,1,1)^7$ Untuk Data Pukul 05:00 .....	117
Lampiran 12	Output SAS Model ARIMA $(0,1,1)(0,1,1)^7$ Untuk Data Pukul 13:00 .....	118

Lampiran 13	<i>Output SAS Model ARIMA (0,1,[1,10])(0,1,1)<sup>7</sup></i>	
	Untuk Data Pukul 18:30 .....	119
Lampiran 14	<i>Output SAS Model ARIMAX (0,1,2)(0,1,1)<sup>7</sup></i>	
	Untuk Data Pukul 05:00 .....	120
Lampiran 15	<i>Output SAS Model ARIMAX (0,1,1)(0,1,1)<sup>7</sup></i>	
	Untuk Data Pukul 13:00 .....	121
Lampiran 16	<i>Output SAS Model ARIMA (0,1,[1,10])(0,1,1)<sup>7</sup></i>	
	Untuk Data Pukul 18:30 .....	123
Lampiran 17	<i>Output MATLAB Model ANFIS Fungsi Gaussian</i> Untuk Data Pukul 05:00 .....	124
Lampiran 18	<i>Output MATLAB Model ANFIS Fungsi Trapezoidal</i> Untuk Data Pukul 05:00 .....	129
Lampiran 19	<i>Output MATLAB Model ANFIS Fungsi Generalized Bell</i> Untuk Data Pukul 05:00 .....	134
Lampiran 20	<i>Output MATLAB Model ANFIS Fungsi Gaussian</i> Untuk Data Pukul 13:00 .....	140
Lampiran 21	<i>Output MATLAB Model ANFIS Fungsi Trapezoidal</i> Untuk Data Pukul 13:00 .....	146
Lampiran 22	<i>Output MATLAB Model ANFIS Fungsi Generalized Bell</i> Untuk Data Pukul 13:00 .....	152
Lampiran 23	<i>Output MATLAB Model ANFIS Fungsi Gaussian</i> Untuk Data Pukul 18:30 .....	158
Lampiran 24	<i>Output MATLAB Model ANFIS Fungsi Trapezoidal</i> Untuk Data Pukul 18:30 .....	166
Lampiran 25	<i>Output MATLAB Model ANFIS Fungsi Generalized Bell</i> Untuk Data Pukul 18:30 .....	168

## LAMPIRAN

**Lampiran 1 : Data Konsumsi Beban Listrik di Jawa Timur Tahun 2013-2014**

Tanggal	Jam	Konsumsi Listrik (MW)	Tanggal	Jam	Konsumsi Listrik (MW)
6/1/2013	0:30	3265,350	2/2/2013	0:30	3641,990
	1:00	3183,900		1:00	3539,280
	.	.		.	.
	.	.		.	.
7/1/2013	0:00	3137,830	28/1/2013	0:00	3452,000
	0:30	3073,590		.	.
	1:00	3035,390		.	.
	.	.		.	.
31/1/2013	0:00	3557,980	1/3/2013	0:30	3618,230
	.	.		1:00	3582,030
	.	.		.	.
	.	.		.	.
1/2/2013	0:30	3615,200	2/3/2013	0:00	3738,250
	1:00	3555,350		0:30	3569,390
	.	.		1:00	3535,960
	.	.		.	.
.	0:00	3800,000	.	0:00	3578,410
	0:30	3633,160		0:30	3628,590
	1:00	3595,180		1:00	3578,810
	.	.		.	.
.	0:00	3657,114	.	0:00	3491,360
	.	.		.	.

### Lampiran 1 (lanjutan)

Tanggal	Jam	Konsumsi Listrik (MW)	Tanggal	Jam	Konsumsi Listrik (MW)
.	.	.	1/5/2013	0:30	3705,910
.	.	.		1:00	3655,220
31/3/2013	0:30	3234,100		.	.
	1:00	3240,100		.	.
	.	.		0:00	3638,080
	.	.	2/5/2013	0:30	3527,370
	.	.		1:00	3477,730
1/4/2013	0:00	3247,790		.	.
	0:30	3222,690		.	.
	1:00	3192,100		.	.
	.	.		0:00	3795,500
	.	.		.	.
2/4/2013	0:00	3663,280		.	.
	0:30	3659,490	31/5/2013	0:30	3520,380
	1:00	3637,240		1:00	3445,780
	.	.		.	.
	.	.		.	.
	0:00	3900,000	1/6/2013	0:00	3458,730
	.	.		0:30	3521,190
	.	.		1:00	3454,540
30/4/2013	0:30	3644,980		.	.
	1:00	3608,950		.	.
	.	.		0:00	3498,920
	.	.		.	.
	0:00	3827,230		.	.

### Lampiran 1 (lanjutan)

Tanggal	Jam	Konsumsi Listrik (MW)	Tanggal	Jam	Konsumsi Listrik (MW)
30/6/2013	0:30	3619,310	1/8/2013	0:30	3635,233
	1:00	3517,910		1:00	3613,285
	.	.		.	.
	.	.		.	.
1/7/2013	0:00	3400,300	2/8/2013	0:00	3714,110
	0:30	3344,390		0:30	3678,540
	1:00	3398,860		1:00	3540,880
	.	.		.	.
2/7/2013	0:00	3815,410	31/8/2013	0:00	3705,900
	0:30	3765,610		.	.
	1:00	3728,750		.	.
	.	.		.	.
31/7/2013	0:00	3804,370	1/9/2013	0:30	3723,350
	.	.		1:00	3628,260
	.	.		.	.
	0:30	3610,010		0:00	3680,200
	1:00	3542,760		0:30	3562,200
	.	.		1:00	3510,280
	.	.		.	.
	0:00	3811,930		0:00	3417,600

### Lampiran 1 (lanjutan)

Tanggal	Jam	Konsumsi Listrik (MW)	Tanggal	Jam	Konsumsi Listrik (MW)
2/9/2013	0:30	3408,282	31/10/2013	0:30	4006,057
	1:00	3397,678		1:00	3893,667
	.	.		.	.
	.	.		.	.
	0:00	3860,520		0:00	4013,844
	.	.		0:30	3867,416
	.	.		1:00	3839,182
	.	.		.	.
	0:30	3434,380		.	.
	1:00	3429,290		.	.
30/9/2013	.	.	1/11/2013	0:00	3907,640
	.	.		0:30	4253,510
	.	.		1:00	4254,210
	0:00	3875,630		.	.
	0:30	3892,534		.	.
	1:00	3688,871		.	.
	.	.		0:00	3838,300
	.	.		.	.
	0:00	3879,940		.	.
	0:30	3809,960		0:30	3755,257
1/10/2013	1:00	3750,670	30/11/2013	1:00	3601,147
	.	.		.	.
	.	.		.	.
	0:00	3830,700		0:00	3569,422
	.	.		.	.
	.	.		.	.
	0:00	.		.	.
	.	.		.	.
	.	.		.	.
	0:00	.		.	.
2/10/2013	.	.		.	.
	.	.		.	.
	0:00	.		.	.
	.	.		.	.
	.	.		.	.
	0:00	.		.	.
	.	.		.	.
	.	.		.	.
	0:00	.		.	.
	.	.		.	.

### Lampiran 1 (lanjutan)

Tanggal	Jam	Konsumsi Listrik (MW)	Tanggal	Jam	Konsumsi Listrik (MW)
31/12/2013	0:30	3526,380	1/2/2014	0:30	3278,540
	1:00	3421,596		1:00	3311,820
	.	.		.	.
	.	.		.	.
	0:00	3208,630		0:00	3659,600
	1/1/2014	3217,474		0:30	3527,600
1/1/2014	1:00	3158,740	2/2/2014	1:00	3425,600
	.	.		.	.
	.	.		.	.
	0:00	3117,360		0:00	3450,020
	0:30	3094,206		.	.
	1:00	3070,699		.	.
2/1/2014	.	.	28/2/2014	0:30	3828,310
	.	.		1:00	3735,770
	0:00	3950,200		.	.
	.	.		.	.
	.	.		.	.
	0:00	3656,660		0:00	3774,980
31/1/2014	1:00	3686,690	1/3/2014	0:30	3791,640
	.	.		1:00	3660,660
	.	.		.	.
	.	.		.	.
	0:00	3477,220		0:00	3580,030

**Lampiran 1 : (lanjutan)**

Tanggal	Jam	Konsumsi Listrik (MW)	Tanggal	Jam	Konsumsi Listrik (MW)
2/3/2014	0:30	3531,830	30/4/2014	0:30	3965,704
	1:00	3467,920		1:00	3958,800
	.	.		.	.
	.	.		.	.
	0:00	3588,920		0:00	4031,020
	.	.		0:30	3929,560
	.	.		1:00	3934,200
	.	.		.	.
	0:30	3378,060		.	.
	1:00	3298,260		0:00	3576,120
	.	.		.	.
31/3/2014	0:00	3424,660	31/5/2014	0:30	3865,270
	0:30	3472,690		1:00	3721,160
	1:00	3426,720		.	.
	.	.		.	.
1/4/2014	0:00	4105,370	1/6/2014	0:00	3638,910
	0:30	4126,850		0:30	3470,020
	1:00	4117,830		1:00	3452,820
	.	.		.	.
	0:00	4230,480		0:00	3426,540
	.	.		.	.
	.	.		.	.

### Lampiran 1 (lanjutan)

Tanggal	Jam	Konsumsi Listrik (MW)	Tanggal	Jam	Konsumsi Listrik (MW)
30/6/2014	0:30	3888,100	31/7/2014	0:30	2691,330
	1:00	3807,560		1:00	2676,640
	.	.		.	.
	.	.		.	.
1/7/2014	0:00	4370,290	1/8/2014	0:00	3088,230
	0:30	4299,500		0:30	3056,370
	1:00	4205,880		1:00	2944,360
	.	.		.	.
2/7/2014	0:00	4312,040	25/8/2014	0:00	3232,200
	0:30	4326,300		.	.
	1:00	4276,790		.	.
	.	.		.	.
.	0:00	4413,150	.	0:30	3992,760
	.	.		1:00	3931,180
	.	.		.	.
	.	.		0:00	4199,520

**Lampiran 2 :** Syntax SAS Model ARIMA (0,1,2)(0,1,1)<sup>7</sup> Untuk Data Pukul 05:00

```
data pertama;
input y;
datalines;
3262.69
3305.99
3576.98
.
.
.
4121.42
3769.80
4016.44
;

/*Tahap Identifikasi*/
proc arima data=pertama;
    identify var=y(1,7);
    run;

/*Tahap Estimasi*/
estimate q=(1,2)(7) noconstant method=cls;
run;

/*Tahap Peramalan*/
forecast out=hasil lead=14;
run;

/*Tahap Deteksi Outlier*/
outlier maxnum=200 alpha=0.05;
run;

/*Menampilkan Output*/
proc print data=hasil;
run;

/*Tahap Uji Normalitas Residual*/
proc univariate data=hasil normal;
    var residual;
    run;
```

**Lampiran 3 : Syntax SAS Model ARIMA (0,1,1)(0,1,1)<sup>7</sup> Untuk Data Pukul 13:00**

```
data pertama;
input y;
datalines;
3007.59
3806
3967.3
.
.
.
4326.08
3633.11
4470.46
;

/*Tahap Identifikasi*/
proc arima data=pertama;
    identify var=y(1,7);
    run;

/*Tahap Estimasi*/
estimate q=(1)(7) noconstant method=cls;
run;

/*Tahap Peramalan*/
forecast out=hasil lead=14;
run;

/*Tahap Deteksi Outlier*/
outlier maxnum=200 alpha=0.05;
run;

/*Menampilkan Output*/
proc print data=hasil;
run;

/*Tahap Uji Normalitas Residual*/
proc univariate data=hasil normal;
var residual;
run;
```

**Lampiran 4 : Syntax SAS Model ARIMA (0,1,[1,10])(0,1,1)<sup>7</sup>**  
Untuk Data Pukul 18:30

```
data pertama;
input y;
datalines;
3944.57
4290.6
4312.4
.
.
.
4916.74
4697
5011.76
;

/*Tahap Identifikasi*/
proc arima data=pertama;
    identify var=y(1,7);
    run;

/*Tahap Estimasi*/
estimate q=(1,10)(7) noconstant method=cls;
run;

/*Tahap Peramalan*/
forecast out=hasil lead=14;
run;

/*Tahap Deteksi Outlier*/
outlier maxnum=200 alpha=0.05;
run;

/*Menampilkan Output*/
proc print data=hasil;
run;

/*Tahap Uji Normalitas Residual*/
proc univariate data=hasil normal;
    var residual;
    run;
```

**Lampiran 5 :** Syntax SAS Model ARIMA dengan Deteksi Outlier (0,1,2)(0,1,1)<sup>7</sup> Untuk Data Pukul 05:00

**Lampiran 5 (lanjutan)**

```
if _n_ =301 then AO3=1;else AO3=0;
run;
/*Tahap Identifikasi*/
proc arima data=pertama;
identify var=y(1,7);
crosscorr (LS0(1,7) LS1(1,7) LS2(1,7) LS3(1,7) LS4(1,7) AO1(1,7)
LS5(1,7) AO2(1,7) LS6(1,7) AO3(1,7))
noprint;
run;

/*Tahap Estimasi*/
estimate q=(1,2)(7)
input=(LS0 LS1 LS2 LS3 LS4 AO1 LS5 AO2 LS6 AO3)
noconstant method=cls;
run;

/*Tahap Peramalan*/
forecast out=hasil lead=14;
run;

/*Menampilkan Output*/
proc print data=hasil;
run;

/*Tahap Uji Normalitas Residual*/
proc univariate data=hasil normal;
var residual;
run;
```

## Lampiran 6 : Syntax SAS Model ARIMA dengan Deteksi Outlier (0,1,1)(0,1,1)<sup>7</sup> Untuk Data Pukul 13:00

## Lampiran 6 (lanjutan)

```

if _n_ =19 then AO8=1;else AO8=0;
if _n_ >=212 then LS3=1;else LS3=0;
if _n_ =374 then AO9=1;else AO9=0;
if _n_ =304 then AO10=1;else AO10=0;
if _n_ =567 then AO11=1;else AO11=0;
if _n_ =354 then AO12=1;else AO12=0;
if _n_ =152 then AO13=1;else AO13=0;
if _n_ =495 then AO14=1;else AO14=0;
if _n_ =360 then AO15=1;else AO15=0;
if _n_ >=225 then LS4=1;else LS4=0;
if _n_ =507 then AO16=1;else AO16=0;
if _n_ =83 then AO17=1;else AO17=0;
if _n_ =468 then AO18=1;else AO18=0;
if _n_ =391 then AO19=1;else AO19=0;
if _n_ >=214 then LS5=1;else LS5=0;
if _n_ >=218 then LS6=1;else LS6=0;
run;
/*Tahap Identifikasi*/
proc arima data=pertama;
identify var=y(1,7);
crosscorr (AO1(1,7) AO2(1,7) AO3(1,7) AO4(1,7) AO5(1,7) LS1(1,7)
AO6(1,7) AO7(1,7) LS2(1,7) AO8(1,7) LS3(1,7) AO9(1,7) AO10(1,7)
AO11(1,7) AO12(1,7) AO13(1,7) AO14(1,7) AO15(1,7) LS4(1,7)
AO16(1,7) AO17(1,7) AO18(1,7) AO19(1,7) LS5(1,7) LS6(1,7))
noprint;
run;

/*Tahap Estimasi*/
estimate q=(1,2)(7)
input=(AO1 AO2 AO3 AO4 AO5 LS1 AO6 AO7 LS2 AO8 LS3 AO9
AO10 AO11 AO12 AO13 AO14 AO15 LS4 AO16 AO17 AO18
AO19 LS5 LS6)
noconstant method=cls;
run;

/*Tahap Peramalan*/
forecast out=hasil lead=14;
run;

```

**Lampiran 6 (lanjutan)**

```
/*Menampilkan Output*/
proc print data=hasil;
run;

/*Tahap Uji Normalitas Residual*/
proc univariate data=hasil normal;
var residual;
run;
```

**Lampiran 7 :** Syntax SAS Model ARIMA dengan Deteksi Outlier  $(0,1,[1,10])(0,1,1)^7$  Untuk Data Pukul 18:30

## Lampiran 7 (lanjutan)

```
if _n_ >=213 then LS2=1;else LS2=0;
if _n_ =236 then AO8=1;else AO8=0;
if _n_ =83 then AO9=1;else AO9=0;
if _n_ =360 then AO10=1;else AO10=0;
if _n_ =152 then AO11=1;else AO11=0;
if _n_ =7 then AO13=1;else AO13=0;
run;
/*Tahap Identifikasi*/
proc arima data=pertama;
    identify var=y(1,7);
    crosscorr (AO1(1,7) AO2(1,7) AO3(1,7) AO4(1,7) LS1(1,7) AO5(1,7)
    AO6(1,7) AO7(1,7) LS2(1,7) AO8(1,7) AO9(1,7) AO10(1,7)
    AO11(1,7) AO13(1,7))
    noprint;
    run;

/*Tahap Estimasi*/
estimate q=(1,10)(7)
input=(AO1 AO2 AO3 AO4 LS1 AO5 AO6 AO7 LS2 AO8 AO9
AO10 AO11 AO13)
noconstant method=cls;
run;

/*Tahap Peramalan*/
forecast out=hasil lead=14;
run;

/*Menampilkan Output*/
proc print data=hasil;
    run;

/*Tahap Uji Normalitas Residual*/
proc univariate data=hasil normal;
    var residual;
    run;
```

**Lampiran 8 : Syntax MATLAB Model ANFIS Untuk Data Pukul 05:00 dengan Fungsi *Gaussian* dan 2 *Membership Function***

```

x=load('d:/TA10.txt');
/*data in sample*/
x_3=x(8:582);
x_2=x(2:576);
x_1=x(1:575);
xt=[x_3 x_2 x_1];
/*data out sample*/
x_3a=x(583:596);
x_2a=x(577:590);
x_1a=x(576:589);
xta=[x_3a x_2a x_1a];
/*output*/
y1=x(9:583);
y1a=x(584:597)
/*proses anfis*/
epoch_n=100;
numMFs=2;
mfType='gaussmf';
in_fis1=genfis1([xt y1],numMFs,mfType);
out_fis1=anfis([xt y1],in_fis1,epoch_n);
/*peramalan*/
y1_hat=evalfis(xt,out_fis1);
yt=x;
for i=584:597;
    yt(i)=evalfis([yt(i-1) yt(i-7) yt(i-8)],out_fis1);
end
y1a_hat=yt(584:597);
/*residual*/
er_in=y1-y1_hat;
er_out=y1a-y1a_hat;
rmse_in=sqrt(sum(er_in.*er_in)/length(er_in))
rmse_out=sqrt(sum(er_out.*er_out)/length(er_out))
mape_in =sum(abs(er_in./y1)/length(er_in))*100
mape_out=sum(abs(er_out./y1a)/length(er_out))*100
smape_in=sum(abs(er_in.((y1+y1_hat)/2))/length(er_in))*100
smape_out=sum(abs(er_out.((y1a+y1a_hat)/2))/length(er_out))*100
showfis(in_fis1)
showfis(out_fis1)

```

**Lampiran 9 :** Syntax MATLAB Model ANFIS Untuk Data Pukul 05:00 dengan Fungsi *Trapezoidal* dan 2 *Membership Function*

```

x=load('d:/TA10.txt');
/*data in sample*/
x_3=x(8:582);
x_2=x(2:576);
x_1=x(1:575);
xt=[x_3 x_2 x_1];
/*data out sample*/
x_3a=x(583:596);
x_2a=x(577:590);
x_1a=x(576:589);
xta=[x_3a x_2a x_1a];
/*output*/
y1=x(9:583);
y1a=x(584:597)
/*proses anfis*/
epoch_n=100;
numMFs=2;
mfType='trapmf';
in_fis1=genfis1([xt y1],numMFs,mfType);
out_fis1=anfis([xt y1],in_fis1,epoch_n);
/*peramalan*/
y1_hat=evalfis(xt,out_fis1);
yt=x;
for i=584:597;
    yt(i)=evalfis([yt(i-1) yt(i-7) yt(i-8)],out_fis1);
end
y1a_hat=yt(584:597);
/*residual*/
er_in=y1-y1_hat;
er_out=y1a-y1a_hat;
rmse_in=sqrt(sum(er_in.*er_in)/length(er_in))
rmse_out=sqrt(sum(er_out.*er_out)/length(er_out))
mape_in =sum(abs(er_in./y1)/length(er_in))*100
mape_out=sum(abs(er_out./y1a)/length(er_out))*100
smape_in =sum(abs(er_in./((y1+y1_hat)/2))/length(er_in))*100
smape_out= sum(abs(er_out./((y1a+y1a_hat)/2))/length(er_out))*100
showfis(in_fis1)
showfis(out_fis1)

```

**Lampiran 10 :** Syntax MATLAB Model ANFIS Untuk Data Pukul 05:00 dengan Fungsi *Generalized Bell* dan 2 *Membership Function*

```

x=load('d:/TA10.txt');
/*data in sample*/
x_3=x(8:582);
x_2=x(2:576);
x_1=x(1:575);
xt=[x_3 x_2 x_1];
/*data out sample*/
x_3a=x(583:596);
x_2a=x(577:590);
x_1a=x(576:589);
xta=[x_3a x_2a x_1a];
/*output*/
y1=x(9:583);
y1a=x(584:597)
/*proses anfis*/
epoch_n=100;
numMFs=2;
mfType='gbellmf';
in_fis1=genfis1([xt y1],numMFs,mfType);
out_fis1=anfis([xt y1],in_fis1,epoch_n);
/*peramalan*/
y1_hat=evalfis(xt,out_fis1);
yt=x;
for i=584:597;
    yt(i)=evalfis([yt(i-1) yt(i-7) yt(i-8)],out_fis1);
end
y1a_hat=yt(584:597);
/*residual*/
er_in=y1-y1_hat;
er_out=y1a-y1a_hat;
rmse_in=sqrt(sum(er_in.*er_in)/length(er_in))
rmse_out=sqrt(sum(er_out.*er_out)/length(er_out))
mape_in =sum(abs(er_in./y1)/length(er_in))*100
mape_out=sum(abs(er_out./y1a)/length(er_out))*100
smape_in=sum(abs(er_in.((y1+y1_hat)/2))/length(er_in))*100
smape_out=sum(abs(er_out.((y1a+y1a_hat)/2))/length(er_out))*100
showfis(in_fis1)
showfis(out_fis1)

```

**Lampiran 11 : Output SAS Model ARIMA  $(0,1,2)(0,1,1)^7$**   
**Untuk Data Pukul 05:00**

The ARIMA Procedure									
Conditional Least Squares Estimation									
Parameter	Estimate	Standard Error	t Value	Pr >  t	Approx Lag				
MA1,1	0.21546	0.04154	5.19	<.0001	1				
MA1,2	0.14323	0.04148	3.45	0.0006	2				
MA2,1	0.96159	0.01227	78.38	<.0001	7				
Variance Estimate									
21987.09									
Std Error Estimate									
148.2895									
AIC									
7383.743									
SBC									
7396.896									
Number of Residuals									
575									
* AIC and SBC do not include log determinant.									
Autocorrelation Check of Residuals									
To Lag	Chi-Square	DF	Pr > Chisq	-----Autocorrelations-----					
6	6.54	3	0.0882	0.002	0.010	0.013	-0.008	-0.084	-0.062
12	15.01	9	0.0006	-0.055	-0.064	-0.006	-0.078	-0.024	0.025
18	22.11	15	0.1049	-0.048	-0.018	-0.049	-0.067	0.049	0.008
24	24.14	21	0.2865	-0.003	0.002	-0.014	0.033	-0.010	-0.044
30	28.56	27	0.3823	-0.021	-0.035	-0.002	-0.001	0.025	0.071
36	32.42	33	0.4958	0.065	0.001	0.037	-0.017	-0.005	-0.019
42	33.06	39	0.7367	-0.011	-0.023	0.005	-0.016	0.000	0.009
48	39.69	45	0.6959	-0.051	-0.042	0.061	0.024	0.019	0.041
Tests for Normality									
Test		--Statistic--		----p Value-----					
Shapiro-Wilk		W		Pr < W	<0.0001				
Kolmogorov-Smirnov		D		Pr > D	<0.0100				
Cramer-von Mises		W-Sq		Pr > W-Sq	<0.0050				
Anderson-Darling		A-Sq		Pr > A-Sq	<0.0050				

**Lampiran 12 : Output SAS Model ARIMA (0,1,1)(0,1,1)<sup>7</sup>**  
 Untuk Data Pukul 13:00

The ARIMA Procedure									
Conditional Least Squares Estimation									
Parameter	Estimate	Standard Error	t Value	Pr >  t	Approx Lag				
MA1,1	0.49798	0.03624	13.74	<.0001	1				
MA2,1	0.96450	0.01121	86.03	<.0001	7				
Variance Estimate	70798.89								
Std Error Estimate	266.0806								
AIC	80955.145								
SBC	8063.854								
Number of Residuals	575								
* AIC and SBC do not include log determinant.									
Autocorrelation Check of Residuals									
To Lag	Chi-Square	DF	Pr > Chisq	-----Autocorrelations-----					
6	3.00	4	0.5583	0.021	-0.023	-0.001	-0.039	-0.029	-0.042
12	12.59	10	0.2475	-0.048	-0.079	0.020	-0.023	-0.073	0.040
18	22.14	16	0.1389	0.009	-0.025	-0.034	-0.091	0.077	-0.003
24	27.97	22	0.1768	0.035	0.021	0.020	0.079	-0.026	-0.029
30	30.64	28	0.3333	0.002	0.007	0.022	0.044	-0.044	-0.004
36	34.66	34	0.4363	0.062	0.004	0.009	0.010	-0.032	0.039
42	35.46	40	0.6747	0.015	0.007	0.025	-0.013	0.001	-0.015
48	41.15	46	0.6752	0.017	-0.017	0.052	0.020	0.069	-0.026
Tests for Normality									
Test	--Statistic---			----p Value----					
Shapiro-Wilk	W	0.850241		Pr < W	<0.0001				
Kolmogorov-Smirnov	D	0.145534		Pr > D	<0.1000				
Cramer-von Mises	W-Sq	3.535087		Pr > W-Sq	<0.0050				
Anderson-Darling	A-Sq	20.52495		Pr > A-Sq	<0.0050				

**Lampiran 13 : Output SAS Model ARIMA (0,1,[1,10])(0,1,1)<sup>7</sup>**  
 Untuk Data Pukul 18:30

The ARIMA Procedure									
Conditional Least Squares Estimation									
Parameter	Estimate	Standard Error	t Value	Pr >  t	Approx	Lag			
MA1,1	0.35851	0.03879	9.24	<.0001		1			
MA1,2	0.11225	0.03974	2.82	0.0049		10			
MA2,1	0.87502	0.02031	43.08	<.0001		7			
Variance Estimate									
				29295.7					
Std Error Estimate									
				171.1599					
AIC									
				7548.759					
SBC									
				7561.822					
Number of Residuals									
				575					
* AIC and SBC do not include log determinant.									
Autocorrelation Check of Residuals									
To Lag	Chi-Square	DF	Pr > ChiSq	-----Autocorrelations-----					
6	7.71	3	0.0525	0.026	-0.078	0.010	0.002	-0.061	-0.053
12	13.53	9	0.1480	-0.054	-0.077	-0.010	-0.005	-0.009	0.030
18	17.34	15	0.2988	0.011	-0.001	-0.037	-0.066	0.022	0.010
24	22.79	21	0.3550	-0.016	-0.016	0.034	0.070	-0.049	0.013
30	24.19	27	0.6197	-0.010	0.006	0.004	0.008	-0.044	0.012
36	31.18	33	0.5581	0.087	-0.012	0.043	0.009	0.005	0.041
42	36.23	39	0.5968	-0.049	-0.070	0.003	-0.019	0.021	0.006
48	42.89	45	0.5618	0.015	-0.025	0.075	0.043	0.040	-0.025
Tests for Normality									
Test	--Statistic---			----p Value----					
Shapiro-Wilk	W	0.952474		Pr < W		<0.0001			
Kolmogorov-Smirnov	D	0.083341		Pr > D		<0.0100			
Cramer-von Mises	W-Sq	1.122795		Pr > W-Sq		<0.0050			
Anderson-Darling	A-Sq	6.853531		Pr > A-Sq		<0.0050			

**Lampiran 14 : Output SAS Model ARIMAX  $(0,1,2)(0,1,1)^7$**   
 Untuk Data Pukul 05:00

The ARIMA Procedure									
Conditional Least Squares Estimation									
Parameter	Estimate	Standard Error	t Value	Pr >  t	Approx Lag	Variable	Shift		
MA1,1	0.29824	0.04331	6.89	<.0001	1	y	0		
MA1,2	0.09898	0.04347	2.28	0.0232	2	y	0		
MA2,1	0.95205	0.01327	71.73	<.0001	7	y	0		
NUM1	-876.71155	114.27527	-7.67	<.0001	0	LS0	0		
NUM2	657.43948	113.11933	5.81	<.0001	0	LS1	0		
NUM3	687.74466	113.28619	6.07	<.0001	0	LS2	0		
NUM4	717.68971	113.19928	6.34	<.0001	0	LS3	0		
NUM5	-685.10731	112.66900	-6.08	<.0001	0	LS4	0		
NUM6	-490.45259	97.38396	-5.04	<.0001	0	A01	0		
NUM7	553.70629	113.46382	4.88	<.0001	0	LS5	0		
NUM8	-461.92703	98.29819	-4.70	<.0001	0	A02	0		
NUM9	-530.09351	111.85934	-4.74	<.0001	0	LS6	0		
NUM10	341.94114	96.69753	3.54	0.0004	0	A03	0		
Variance Estimate									
Std Error Estimate									
AIC									
SBC									
Number of Residuals									
* AIC and SBC do not include log determinant.									
Autocorrelation Check of Residuals									
To Lag	Chi-Square	DF	Pr > ChiSq	-----Autocorrelations-----					
6	5.27	3	0.1529	0.000	0.003	0.012	0.002	-0.039	-0.086
12	11.45	9	0.2462	0.018	-0.007	0.014	-0.085	-0.004	0.051
18	24.85	15	0.0520	-0.045	-0.045	-0.081	-0.022	0.089	0.060
24	30.17	21	0.0886	-0.025	-0.033	-0.060	-0.032	-0.034	-0.038
30	38.75	27	0.0667	0.031	0.000	0.004	0.028	0.072	0.084
36	40.85	33	0.1635	-0.001	-0.032	0.024	-0.013	-0.034	-0.023
42	42.69	39	0.3154	-0.017	-0.002	-0.027	-0.020	0.031	0.023
48	49.34	45	0.3039	-0.057	-0.017	0.070	0.009	0.023	0.040
Tests for Normality									
Test	--Statistic---			----p Value----					
Shapiro-Wilk	W	0.995403	Pr < W	0.0870					
Kolmogorov-Smirnov	D	0.02946	Pr > D	>0.1500					
Cramer-von Mises	W-Sq	0.084267	Pr > W-Sq	0.1892					
Anderson-Darling	A-Sq	0.53225	Pr > A-Sq	0.1808					

**Lampiran 15 :** Output SAS Model ARIMAX  $(0,1,1)(0,1,1)^7$   
Untuk Data Pukul 13:00

**Lampiran 15 (lanjutan)**

Autocorrelation Check of Residuals									
To Lag	Chi-Square	DF	Pr > ChiSq	Autocorrelations					
6	9.46	4	0.0505	0.062	-0.089	-0.011	-0.045	-0.024	-0.043
12	13.64	10	0.1903	-0.035	0.009	-0.064	0.026	0.016	-0.029
18	18.77	16	0.2808	0.032	0.004	-0.040	-0.032	0.070	-0.011
24	20.62	22	0.5442	0.035	-0.025	-0.004	0.026	-0.000	0.024
30	25.89	28	0.5789	-0.030	-0.017	0.073	0.047	-0.008	0.003
36	28.65	34	0.7273	0.034	-0.002	0.037	0.029	0.000	0.033
42	32.58	40	0.7913	-0.036	-0.001	-0.029	0.002	0.023	-0.061
48	42.27	46	0.6294	-0.025	-0.013	0.067	0.097	-0.027	-0.009

Tests for Normality									
Test	--Statistic--			----p Value-----					
Shapiro-Wilk	W	0.93512	Pr < W	<0.0001					
Kolmogorov-Smirnov	D	0.066535	Pr > D	<0.0100					
Cramer-von Mises	W-Sq	0.781245	Pr > W-Sq	<0.0050					
Anderson-Darling	A-Sq	5.012376	Pr > A-Sq	<0.0050					

**Lampiran 16 :** Output SAS Model ARIMAX (0,1,[1,10])  
(0,1,1)<sup>7</sup> Untuk Data Pukul 18:30

The ARIMA Procedure									
Conditional Least Squares Estimation									
Parameter	Estimate	Standard		Approx		Lag	Variable	Shift	
		Error	t value	Pr >  t					
MA1,1	0.30607	0.04121	7.43	<.0001		1	y	0	
MA1,2	0.08915	0.04179	2.37	0.0180		10	y	0	
MA2,1	0.92126	0.01668	55.22	<.0001		7	y	0	
NUM1	-859.88657	107.65538	-7.99	<.0001		0	A01	0	
NUM2	-704.44896	101.92614	-6.91	<.0001		0	A02	0	
NUM3	-646.81025	101.38238	-6.38	<.0001		0	A03	0	
NUM4	-580.53904	101.25408	-5.73	<.0001		0	A04	0	
NUM5	-685.73499	120.89278	-5.67	<.0001		0	LS1	0	
NUM6	-577.84355	102.14787	-5.66	<.0001		0	A05	0	
NUM7	-571.47548	101.03970	-5.66	<.0001		0	A06	0	
NUM8	-519.81813	101.39875	-5.12	<.0001		0	A07	0	
NUM9	-518.43458	119.39130	-4.34	<.0001		0	LS2	0	
NUM10	-482.45957	101.09925	-4.77	<.0001		0	A08	0	
NUM11	-391.95998	101.10880	-3.88	0.0001		0	A09	0	
NUM12	-521.20438	107.59551	-4.84	<.0001		0	A010	0	
NUM13	-438.47212	100.98407	-4.34	<.0001		0	A011	0	
NUM14	406.17723	40.37028	10.06	<.0001		0	A013	0	
Variance Estimate									
Std Error Estimate									
AIC									
SBC									
Number of Residuals									
575									
* AIC and SBC do not include log determinant.									
Autocorrelation Check of Residuals									
To Lag	Chi-Square	DF	Pr > ChiSq	-----Autocorrelations-----					
6	4.29	3	0.2314	-0.015	0.019	0.072	0.027	-0.026	-0.014
12	8.51	9	0.4836	-0.028	-0.032	-0.064	-0.003	0.004	0.036
18	9.95	15	0.8231	-0.027	0.013	-0.015	-0.013	0.032	-0.008
24	14.85	21	0.8305	-0.026	-0.033	0.028	0.026	-0.042	0.057
30	19.41	27	0.8544	0.008	0.050	0.057	-0.019	0.032	-0.017
36	24.17	33	0.8681	0.033	-0.022	0.070	0.031	0.020	0.001
42	29.87	39	0.8532	0.037	-0.031	-0.070	0.003	0.041	0.018
Tests for Normality									
Test	--Statistic---			----p Value----					
Shapiro-Wilk	W			Pr < W					
Kolmogorov-Smirnov	D			Pr > D					
Cramer-von Mises	W-Sq			Pr > W-Sq					
Anderson-Darling	A-Sq			Pr > A-Sq					

**Lampiran 17 : Output MATLAB Model ANFIS Fungsi Gaussian Untuk Data Pukul 05:00**

```
data in sample
data out sample
output
proses anfis

ANFIS info:
    Number of nodes: 34
    Number of linear parameters: 32
    Number of nonlinear parameters: 12
    Total number of parameters: 44
    Number of training data pairs: 575
    Number of checking data pairs: 0
    Number of fuzzy rules: 8

Start training ANFIS ...
1   154.162
2   154.162
3   154.162
4   154.162
5   154.162
6   154.162
7   154.162
8   154.162
9   154.162
10  154.162
11  154.162
12  154.162
13  154.162
14  154.162
15  154.162
16  154.162
17  154.162
18  154.162
19  154.162
20  154.162
21  154.162
22  154.162
Step size increases to 0.011000 after epoch 22.
23  154.162
24  154.162
25  154.162
26  154.162
27  154.162
28  154.162
29  154.162
30  154.162
31  154.162
32  154.162
Step size decreases to 0.009900 after epoch 32.
33  154.162
34  154.162
35  154.162
36  154.162
37  154.162
38  154.162
39  154.162
40  154.162
41  154.162
42  154.162
43  154.162
Step size decreases to 0.008910 after epoch 43.
44  154.162
45  154.162
46  154.162
47  154.162
48  154.162
49  154.162
```

## Lampiran 17 (lanjutan)

```
Step size increases to 0.009801 after epoch 49.  
50 154.162  
51 154.162  
52 154.162  
53 154.162  
Step size increases to 0.010781 after epoch 53.  
54 154.162  
55 154.162  
56 154.162  
57 154.162  
Step size decreases to 0.009703 after epoch 57.  
58 154.161  
59 154.162  
60 154.161  
61 154.161  
62 154.161  
Step size decreases to 0.008733 after epoch 62.  
63 154.161  
64 154.161  
65 154.161  
66 154.161  
67 154.161  
68 154.161  
69 154.161  
70 154.161  
71 154.161  
72 154.161  
Step size decreases to 0.007859 after epoch 72.  
73 154.161  
74 154.161  
75 154.161  
76 154.161  
77 154.161  
78 154.161  
Step size decreases to 0.007073 after epoch 78.  
79 154.161  
80 154.161  
81 154.161  
82 154.161  
83 154.161  
84 154.161  
85 154.161  
Step size decreases to 0.006366 after epoch 85.  
86 154.161  
87 154.161  
88 154.161  
89 154.161  
Step size decreases to 0.005730 after epoch 89.  
90 154.161  
91 154.161  
92 154.161  
93 154.161  
Step size decreases to 0.005157 after epoch 93.  
94 154.161  
95 154.161  
96 154.161  
97 154.161  
98 154.161  
99 154.161  
100 154.161  
Designated epoch number reached --> ANFIS training completed at epoch 100.
```

**Lampiran 17 (lanjutan)**

```
peramalan
residual

rmse_in =
154.1610

rmse_out =
343.8476

mape_in =
3.1081

mape_out =
6.7829

smape_in =
3.0951

smape_out =
7.0962

1. Name          anfis
2. Type          sugeno
3. Inputs/Outputs [3 1]
4. NumInputMFs   [2 2 2]
5. NumOutputMFs 8
6. NumRules      8
7. AndMethod     prod
8. OrMethod      max
9. ImplMethod    prod
10. AggMethod    max
11. DefuzzMethod wtaver
12. InLabels     input1
13.             input2
14.             input3
15. OutLabels    output
16. InRange       [2405 4503]
17.             [2405 4503]
18.             [2405 4503]
19. OutRange      [2405 4503]
20. InMFLabels   in1mf1
21.             in1mf2
22.             in2mf1
23.             in2mf2
24.             in3mf1
25.             in3mf2
26. OutMFLabels  out1mf1
27.             out1mf2
28.             out1mf3
29.             out1mf4
30.             out1mf5
31.             out1mf6
32.             out1mf7
33.             out1mf8
34. InMFTypes    gaussmf
35.             gaussmf
36.             gaussmf
37.             gaussmf
38.             gaussmf
39.             gaussmf
```

## Lampiran 17 (lanjutan)

```

40. OutMFTypes    linear
41.               linear
42.               linear
43.               linear
44.               linear
45.               linear
46.               linear
47.               linear
48. InMFParams   [891.3 2405 0 0]
49.               [891.3 4503 0 0]
50.               [891.3 2405 0 0]
51.               [891.3 4503 0 0]
52.               [891.3 2405 0 0]
53.               [891.3 4503 0 0]
54. OutMFParams [0 0 0 0]
55.               [0 0 0 0]
56.               [0 0 0 0]
57.               [0 0 0 0]
58.               [0 0 0 0]
59.               [0 0 0 0]
60.               [0 0 0 0]
61.               [0 0 0 0]
62. Rule Antecedent [1 1 1]
63.               [1 1 2]
64.               [1 2 1]
65.               [1 2 2]
66.               [2 1 1]
67.               [2 1 2]
68.               [2 2 1]
69.               [2 2 2]
70. Rule Consequent 1
71.               2
72.               3
73.               4
74.               5
75.               6
76.               7
77.               8
78. Rule Weight    1
79.               1
80.               1
81.               1
82.               1
83.               1
84.               1
85.               1
86.               1
87.               1
88.               1
89.               1
90. Rule Connection 1
91.               1
92.               1
93.               1
94.               1
95.               1
96.               1
97.               1
98.               1
99.               1
100. Name          anfis
101. Type          sugeno
102. Inputs/Outputs [3 1]
103. NumInputMFs   [2 2 2]
104. NumOutputMFs 8
105. NumRules      8
106. AndMethod     prod
107. OrMethod      max
108. ImpMethod     prod
109. AggMethod     max
110. DefuzzMethod wtaver
111. InLabels     input1
112.             input2
113.             input3
114.             output
115. OutLabels    [2405 4503]
116. InRange      [2405 4503]
117.             [2405 4503]
118.             [2405 4503]
119. OutRange     [2405 4503]

```

## Lampiran 17 (lanjutan)

```

20. InMFLabels      in1mf1
21.          in1mf2
22.          in2mf1
23.          in2mf2
24.          in3mf1
25.          in3mf2
26. OutMFLabels     out1mf1
27.          out1mf2
28.          out1mf3
29.          out1mf4
30.          out1mf5
31.          out1mf6
32.          out1mf7
33.          out1mf8
34. InMFTypes        gaussmf
35.          gaussmf
36.          gaussmf
37.          gaussmf
38.          gaussmf
39.          gaussmf
40. OutMFTypes       linear
41.          linear
42.          linear
43.          linear
44.          linear
45.          linear
46.          linear
47.          linear
48. InMFParams       [890.9 2404 0 0]
49.          [891 4584 0 0]
50.          [891 2405 0 0]
51.          [890.9 4584 0 0]
52.          [891.4 2405 0 0]
53.          [891.7 4583 0 0]
54. OutMFParams      [-2.141 6.665 -5.968 6096]
55.          [3.842 -25.41 6.916 4.536e+004]
56.          [4.713 -2.226 10.69 -3.212e+004]
57.          [1.252 -5.863 2.455 1.525e+004]
58.          [-0.5814 -7.747 4.806 1.595e+004]
59.          [3.749 9.583 1.403 -4.953e+004]
60.          [3.096 -5.22 -0.3088 1.243e+004]
61.          [0.3111 3.42 -1.228 -7487]
62. Rule Antecedent [1 1 1]
63.          [1 1 2]
64.          [1 2 1]
65.          [1 2 2]
66.          [2 1 1]
67.          1
68.          1
69.          1
62. Rule Connection  1
63.          1
64.          1
65.          1
66.          1
67.          1
68.          1
69.          1

```

**Lampiran 18 : Output MATLAB Model ANFIS Fungsi Trapezoidal Untuk Data Pukul 05:00**

```
data in sample
data out sample
output
proses anfis

ANFIS info:
    Number of nodes: 34
    Number of linear parameters: 32
    Number of nonlinear parameters: 24
    Total number of parameters: 56
    Number of training data pairs: 575
    Number of checking data pairs: 0
    Number of fuzzy rules: 8

Start training ANFIS ...
1   154.935
2   154.935
3   154.935
4   154.935
5   154.935
Step size increases to 0.011000 after epoch 5.
6   154.934
7   154.934
8   154.934
9   154.934
Step size increases to 0.012100 after epoch 9.
10  154.934
11  154.934
12  154.934
13  154.934
Step size increases to 0.013310 after epoch 13.
14  154.934
15  154.934
16  154.934
17  154.933
Step size increases to 0.014641 after epoch 17.
18  154.933
19  154.933
20  154.933
21  154.933
Step size increases to 0.016105 after epoch 21.
22  154.932
23  154.932
24  154.932
25  154.932
Step size increases to 0.017716 after epoch 25.
26  154.932
27  154.932
28  154.932
29  154.931
Step size increases to 0.019487 after epoch 29.
30  154.931
31  154.931
32  154.931
33  154.931
Step size increases to 0.021436 after epoch 33.
34  154.93
35  154.93
36  154.93
37  154.93
Step size increases to 0.023579 after epoch 37.
38  154.93
39  154.929
40  154.929
41  154.929
```

## Lampiran 18 (lanjutan)

```

Step size increases to 0.025937 after epoch 41.
 42    154.929
 43    154.928
 44    154.928
 45    154.928
Step size increases to 0.028531 after epoch 45.
 46    154.928
 47    154.928
 48    154.927
 49    154.927
Step size increases to 0.031384 after epoch 49.
 50    154.927
 51    154.926
 52    154.926
 53    154.926
Step size increases to 0.034523 after epoch 53.
 54    154.925
 55    154.925
 56    154.925
 57    154.924
Step size increases to 0.037975 after epoch 57.
 58    154.924
 59    154.924
 60    154.923
 61    154.923
Step size increases to 0.041772 after epoch 61.
 62    154.923
 63    154.922
 64    154.922
 65    154.922
Step size increases to 0.045950 after epoch 65.
 66    154.921
 67    154.921
 68    154.92
 69    154.92
Step size increases to 0.050545 after epoch 69.
 70    154.919
 71    154.919
 72    154.918
 73    154.918
Step size increases to 0.055599 after epoch 73.
 74    154.917
 75    154.917
 76    154.916
 77    154.916
Step size increases to 0.061159 after epoch 77.
 78    154.915
 79    154.915
 80    154.914
 81    154.914
Step size increases to 0.067275 after epoch 81.
 82    154.913
 83    154.912
 84    154.912
 85    154.911
Step size increases to 0.074002 after epoch 85.
 86    154.911
 87    154.91
 88    154.909
 89    154.908
Step size increases to 0.081403 after epoch 89.
 90    154.908
 91    154.907
 92    154.906
 93    154.905
Step size increases to 0.089543 after epoch 93.
 94    154.905
 95    154.904
 96    154.903
 97    154.902
Step size increases to 0.098497 after epoch 97.
 98    154.901
 99    154.9
100    154.899

Designated epoch number reached --> ANFIS training completed at epoch 100.

```

## Lampiran 18 (lanjutan)

```
peramalan
residual

rmse_in =
    154.8993

rmse_out =
    343.6679

mape_in =
    3.1251

mape_out =
    6.8252

smape_in =
    3.1129

smape_out =
    7.1382

1. Name          anfis
2. Type          sugeno
3. Inputs/Outputs [3 1]
4. NumInputMFs   [2 2 2]
5. NumOutputMFs 8
6. NumRules      8
7. AndMethod     prod
8. OrMethod      max
9. ImpMethod     prod
10. AggMethod    max
11. DefuzzMethod wtaver
12. InLabels     input1
13.             input2
14.             input3
15. OutLabels    output
16. InRange      [2405 4503]
17.             [2405 4503]
18.             [2405 4503]
19. OutRange     [2405 4503]
20. InMFLabels   in1mf1
21.             in1mf2
22.             in2mf1
23.             in2mf2
24.             in3mf1
25.             in3mf2
26. OutMFLabels  outimf1
27.             outimf2
28.             outimf3
29.             outimf4
30.             outimf5
31.             outimf6
32.             outimf7
33.             outimf8
34. InMFTypes    trapmf
35.             trapmf
36.             trapmf
37.             trapmf
38.             trapmf
39.             trapmf
```

## Lampiran 18 (lanjutan)

```

40. OutMFTypes linear
41. linear
42. linear
43. linear
44. linear
45. linear
46. linear
47. linear
48. InMFParams [935,5 1775 3034 3874]
49. [3034 3874 5133 5973]
50. [935,5 1775 3034 3874]
51. [3034 3874 5133 5973]
52. [935,5 1775 3034 3874]
53. [3034 3874 5133 5973]
54. OutMFParams [0 0 0 0]
55. [0 0 0 0]
56. [0 0 0 0]
57. [0 0 0 0]
58. [0 0 0 0]
59. [0 0 0 0]
60. [0 0 0 0]
61. [0 0 0 0]
62. Rule Antecedent [1 1 1]
63. [1 1 2]
64. [1 2 1]
65. [1 2 2]
66. [2 1 1]
67. [2 1 2]
68. [2 2 1]
69. [2 2 2]
62. Rule Consequent 1
63. 2
64. 3
65. 4
66. 5
67. 6
68. 7
69. 8
62. Rule Weight 1
63. 1
64. 1
65. 1
66. 1
67. 1
68. 1
69. 1
62. Rule Connection 1
63. 1
64. 1
65. 1
66. 1
67. 1
68. 1
69. 1
1. Name anfis
2. Type sugeno
3. Inputs/Outputs [3 1]
4. NumInputMFS [2 2 2]
5. NumOutputMFS 8
6. NumRules 8
7. AndMethod prod
8. OrMethod max
9. ImpMethod prod
10. AggMethod max
11. DefuzzMethod wtaver
12. InLabels input1
13. input2
14. input3
15. OutLabels output
16. InRange [2405 4503]
17. [2405 4503]
18. [2405 4503]
19. OutRange [2405 4503]

```

## Lampiran 18 (lanjutan)

```

19. OutRange      [2405 4503]
20. InMFLabels   in1mf1
21.          in1mf2
22.          in2mf1
23.          in2mf2
24.          in3mf1
25.          in3mf2
26. OutMFLabels  outimf1
27.          outimf2
28.          outimf3
29.          outimf4
30.          outimf5
31.          outimf6
32.          outimf7
33.          outimf8
34. InMFTypes    trapmf
35.          trapmf
36.          trapmf
37.          trapmf
38.          trapmf
39.          trapmf
40. OutMFTypes   linear
41.          linear
42.          linear
43.          linear
44.          linear
45.          linear
46.          linear
47.          linear
48. InMFParams   [935.5 1775 3034 3874]
49.          [3035 3874 5133 5973]
50.          [935.5 1775 3034 3877]
51.          [3034 3873 5133 5973]
52.          [935.5 1775 3034 3875]
53.          [3034 3874 5133 5973]
54. OutMFParams  [0.4432 1.205 -0.8624 897.1]
55.          [2.161 -4.084 2.448 1165]
56.          [1.649 0.6086 0.4583 -5299]
57.          [0.8939 0.517 -0.7503 1466]
58.          [1.191 -1.96 0.2927 4309]
59.          [1.918 1.019 -0.8406 -4408]
60.          [0.4037 -1.356 0.08413 7207]
61.          [0.675 0.3414 -0.2302 827.4]
62. Rule Antecedent [1 1 1]
63.          [1 1 2]
64.          [1 2 1]
65.          [1 2 2]
66.          [2 1 1]
67.          [2 1 2]
68.          7
69.          8
70. Rule Weight   1
71.          1
72.          1
73.          1
74.          1
75.          1
76.          1
77.          1
78.          1
79.          1
80.          1
81.          1
82.          1
83.          1
84.          1
85.          1
86.          1
87.          1
88.          1
89.          1
90.          1
91.          1
92.          1
93.          1
94.          1
95.          1
96.          1
97.          1
98.          1
99.          1
100.         1
101.         1
102.         1
103.         1
104.         1
105.         1
106.         1
107.         1
108.         1
109.         1
110.         1
111.         1
112.         1
113.         1
114.         1
115.         1
116.         1
117.         1
118.         1
119.         1
120.         1
121.         1
122.         1
123.         1
124.         1
125.         1
126.         1
127.         1
128.         1
129.         1
130.         1
131.         1
132.         1
133.         1
134.         1
135.         1
136.         1
137.         1
138.         1
139.         1
140.         1
141.         1
142.         1
143.         1
144.         1
145.         1
146.         1
147.         1
148.         1
149.         1
150.         1
151.         1
152.         1
153.         1
154.         1
155.         1
156.         1
157.         1
158.         1
159.         1
160.         1
161.         1
162.         1
163.         1
164.         1
165.         1
166.         1
167.         1
168.         1
169.         1
170.         1
171.         1
172.         1
173.         1
174.         1
175.         1
176.         1
177.         1
178.         1
179.         1
180.         1
181.         1
182.         1
183.         1
184.         1
185.         1
186.         1
187.         1
188.         1
189.         1
190.         1
191.         1
192.         1
193.         1
194.         1
195.         1
196.         1
197.         1
198.         1
199.         1
200.         1
201.         1
202.         1
203.         1
204.         1
205.         1
206.         1
207.         1
208.         1
209.         1
210.         1
211.         1
212.         1
213.         1
214.         1
215.         1
216.         1
217.         1
218.         1
219.         1
220.         1
221.         1
222.         1
223.         1
224.         1
225.         1
226.         1
227.         1
228.         1
229.         1
230.         1
231.         1
232.         1
233.         1
234.         1
235.         1
236.         1
237.         1
238.         1
239.         1
240.         1
241.         1
242.         1
243.         1
244.         1
245.         1
246.         1
247.         1
248.         1
249.         1
250.         1
251.         1
252.         1
253.         1
254.         1
255.         1
256.         1
257.         1
258.         1
259.         1
260.         1
261.         1
262.         1
263.         1
264.         1
265.         1
266.         1
267.         1
268.         1
269.         1
270.         1
271.         1
272.         1
273.         1
274.         1
275.         1
276.         1
277.         1
278.         1
279.         1
280.         1
281.         1
282.         1
283.         1
284.         1
285.         1
286.         1
287.         1
288.         1
289.         1
290.         1
291.         1
292.         1
293.         1
294.         1
295.         1
296.         1
297.         1
298.         1
299.         1
300.         1
301.         1
302.         1
303.         1
304.         1
305.         1
306.         1
307.         1
308.         1
309.         1
310.         1
311.         1
312.         1
313.         1
314.         1
315.         1
316.         1
317.         1
318.         1
319.         1
320.         1
321.         1
322.         1
323.         1
324.         1
325.         1
326.         1
327.         1
328.         1
329.         1
330.         1
331.         1
332.         1
333.         1
334.         1
335.         1
336.         1
337.         1
338.         1
339.         1
340.         1
341.         1
342.         1
343.         1
344.         1
345.         1
346.         1
347.         1
348.         1
349.         1
350.         1
351.         1
352.         1
353.         1
354.         1
355.         1
356.         1
357.         1
358.         1
359.         1
360.         1
361.         1
362.         1
363.         1
364.         1
365.         1
366.         1
367.         1
368.         1
369.         1
370.         1
371.         1
372.         1
373.         1
374.         1
375.         1
376.         1
377.         1
378.         1
379.         1
380.         1
381.         1
382.         1
383.         1
384.         1
385.         1
386.         1
387.         1
388.         1
389.         1
390.         1
391.         1
392.         1
393.         1
394.         1
395.         1
396.         1
397.         1
398.         1
399.         1
400.         1
401.         1
402.         1
403.         1
404.         1
405.         1
406.         1
407.         1
408.         1
409.         1
410.         1
411.         1
412.         1
413.         1
414.         1
415.         1
416.         1
417.         1
418.         1
419.         1
420.         1
421.         1
422.         1
423.         1
424.         1
425.         1
426.         1
427.         1
428.         1
429.         1
430.         1
431.         1
432.         1
433.         1
434.         1
435.         1
436.         1
437.         1
438.         1
439.         1
440.         1
441.         1
442.         1
443.         1
444.         1
445.         1
446.         1
447.         1
448.         1
449.         1
450.         1
451.         1
452.         1
453.         1
454.         1
455.         1
456.         1
457.         1
458.         1
459.         1
460.         1
461.         1
462.         1
463.         1
464.         1
465.         1
466.         1
467.         1
468.         1
469.         1
470.         1
471.         1
472.         1
473.         1
474.         1
475.         1
476.         1
477.         1
478.         1
479.         1
480.         1
481.         1
482.         1
483.         1
484.         1
485.         1
486.         1
487.         1
488.         1
489.         1
490.         1
491.         1
492.         1
493.         1
494.         1
495.         1
496.         1
497.         1
498.         1
499.         1
500.         1
501.         1
502.         1
503.         1
504.         1
505.         1
506.         1
507.         1
508.         1
509.         1
510.         1
511.         1
512.         1
513.         1
514.         1
515.         1
516.         1
517.         1
518.         1
519.         1
520.         1
521.         1
522.         1
523.         1
524.         1
525.         1
526.         1
527.         1
528.         1
529.         1
530.         1
531.         1
532.         1
533.         1
534.         1
535.         1
536.         1
537.         1
538.         1
539.         1
540.         1
541.         1
542.         1
543.         1
544.         1
545.         1
546.         1
547.         1
548.         1
549.         1
550.         1
551.         1
552.         1
553.         1
554.         1
555.         1
556.         1
557.         1
558.         1
559.         1
560.         1
561.         1
562.         1
563.         1
564.         1
565.         1
566.         1
567.         1
568.         1
569.         1
570.         1
571.         1
572.         1
573.         1
574.         1
575.         1
576.         1
577.         1
578.         1
579.         1
580.         1
581.         1
582.         1
583.         1
584.         1
585.         1
586.         1
587.         1
588.         1
589.         1
590.         1
591.         1
592.         1
593.         1
594.         1
595.         1
596.         1
597.         1
598.         1
599.         1
600.         1
601.         1
602.         1
603.         1
604.         1
605.         1
606.         1
607.         1
608.         1
609.         1
610.         1
611.         1
612.         1
613.         1
614.         1
615.         1
616.         1
617.         1
618.         1
619.         1
620.         1
621.         1
622.         1
623.         1
624.         1
625.         1
626.         1
627.         1
628.         1
629.         1
630.         1
631.         1
632.         1
633.         1
634.         1
635.         1
636.         1
637.         1
638.         1
639.         1
640.         1
641.         1
642.         1
643.         1
644.         1
645.         1
646.         1
647.         1
648.         1
649.         1
650.         1
651.         1
652.         1
653.         1
654.         1
655.         1
656.         1
657.         1
658.         1
659.         1
660.         1
661.         1
662.         1
663.         1
664.         1
665.         1
666.         1
667.         1
668.         1
669.         1
670.         1
671.         1
672.         1
673.         1
674.         1
675.         1
676.         1
677.         1
678.         1
679.         1
680.         1
681.         1
682.         1
683.         1
684.         1
685.         1
686.         1
687.         1
688.         1
689.         1
690.         1
691.         1
692.         1
693.         1
694.         1
695.         1
696.         1
697.         1
698.         1
699.         1
700.         1
701.         1
702.         1
703.         1
704.         1
705.         1
706.         1
707.         1
708.         1
709.         1
710.         1
711.         1
712.         1
713.         1
714.         1
715.         1
716.         1
717.         1
718.         1
719.         1
720.         1
721.         1
722.         1
723.         1
724.         1
725.         1
726.         1
727.         1
728.         1
729.         1
730.         1
731.         1
732.         1
733.         1
734.         1
735.         1
736.         1
737.         1
738.         1
739.         1
740.         1
741.         1
742.         1
743.         1
744.         1
745.         1
746.         1
747.         1
748.         1
749.         1
750.         1
751.         1
752.         1
753.         1
754.         1
755.         1
756.         1
757.         1
758.         1
759.         1
760.         1
761.         1
762.         1
763.         1
764.         1
765.         1
766.         1
767.         1
768.         1
769.         1
770.         1
771.         1
772.         1
773.         1
774.         1
775.         1
776.         1
777.         1
778.         1
779.         1
780.         1
781.         1
782.         1
783.         1
784.         1
785.         1
786.         1
787.         1
788.         1
789.         1
790.         1
791.         1
792.         1
793.         1
794.         1
795.         1
796.         1
797.         1
798.         1
799.         1
800.         1
801.         1
802.         1
803.         1
804.         1
805.         1
806.         1
807.         1
808.         1
809.         1
810.         1
811.         1
812.         1
813.         1
814.         1
815.         1
816.         1
817.         1
818.         1
819.         1
820.         1
821.         1
822.         1
823.         1
824.         1
825.         1
826.         1
827.         1
828.         1
829.         1
830.         1
831.         1
832.         1
833.         1
834.         1
835.         1
836.         1
837.         1
838.         1
839.         1
840.         1
841.         1
842.         1
843.         1
844.         1
845.         1
846.         1
847.         1
848.         1
849.         1
850.         1
851.         1
852.         1
853.         1
854.         1
855.         1
856.         1
857.         1
858.         1
859.         1
860.         1
861.         1
862.         1
863.         1
864.         1
865.         1
866.         1
867.         1
868.         1
869.         1
870.         1
871.         1
872.         1
873.         1
874.         1
875.         1
876.         1
877.         1
878.         1
879.         1
880.         1
881.         1
882.         1
883.         1
884.         1
885.         1
886.         1
887.         1
888.         1
889.         1
890.         1
891.         1
892.         1
893.         1
894.         1
895.         1
896.         1
897.         1
898.         1
899.         1
900.         1
901.         1
902.         1
903.         1
904.         1
905.         1
906.         1
907.         1
908.         1
909.         1
910.         1
911.         1
912.         1
913.         1
914.         1
915.         1
916.         1
917.         1
918.         1
919.         1
920.         1
921.         1
922.         1
923.         1
924.         1
925.         1
926.         1
927.         1
928.         1
929.         1
930.         1
931.         1
932.         1
933.         1
934.         1
935.         1
936.         1
937.         1
938.         1
939.         1
940.         1
941.         1
942.         1
943.         1
944.         1
945.         1
946.         1
947.         1
948.         1
949.         1
950.         1
951.         1
952.         1
953.         1
954.         1
955.         1
956.         1
957.         1
958.         1
959.         1
960.         1
961.         1
962.         1
963.         1
964.         1
965.         1
966.         1
967.         1
968.         1
969.         1
970.         1
971.         1
972.         1
973.         1
974.         1
975.         1
976.         1
977.         1
978.         1
979.         1
980.         1
981.         1
982.         1
983.         1
984.         1
985.         1
986.         1
987.         1
988.         1
989.         1
990.         1
991.         1
992.         1
993.         1
994.         1
995.         1
996.         1
997.         1
998.         1
999.         1
1000.        1
1001.        1
1002.        1
1003.        1
1004.        1
1005.        1
1006.        1
1007.        1
1008.        1
1009.        1
1010.        1
1011.        1
1012.        1
1013.        1
1014.        1
1015.        1
1016.        1
1017.        1
1018.        1
1019.        1
1020.        1
1021.        1
1022.        1
1023.        1
1024.        1
1025.        1
1026.        1
1027.        1
1028.        1
1029.        1
1030.        1
1031.        1
1032.        1
1033.        1
1034.        1
1035.        1
1036.        1
1037.        1
1038.        1
1039.        1
1040.        1
1041.        1
1042.        1
1043.        1
1044.        1
1045.        1
1046.        1
1047.        1
1048.        1
1049.        1
1050.        1
1051.        1
1052.        1
1053.        1
1054.        1
1055.        1
1056.        1
1057.        1
1058.        1
1059.        1
1060.        1
1061.        1
1062.        1
1063.        1
1064.        1
1065.        1
1066.        1
1067.        1
1068.        1
1069.        1
1070.        1
1071.        1
1072.        1
1073.        1
1074.        1
1075.        1
1076.        1
1077.        1
1078.        1
1079.        1
1080.        1
1081.        1
1082.        1
1083.        1
1084.        1
1085.        1
1086.        1
1087.        1
1088.        1
1089.        1
1090.        1
1091.        1
1092.        1
1093.        1
1094.        1
1095.        1
1096.        1
1097.        1
1098.        1
1099.        1
1100.        1
1101.        1
1102.        1
1103.        1
1104.        1
1105.        1
1106.        1
1107.        1
1108.        1
1109.        1
1110.        1
1111.        1
1112.        1
1113.        1
1114.        1
1115.        1
1116.        1
1117.        1
1118.        1
1119.        1
1120.        1
1121.        1
1122.        1
1123.        1
1124.        1
1125.        1
1126.        1
1127.        1
1128.        1
1129.        1
1130.        1
1131.        1
1132.        1
1133.        1
1134.        1
1135.        1
1136.        1
1137.        1
1138.        1
1139.        1
1140.        1
1141.        1
1142.        1
1143.        1
1144.        1
1145.        1
1146.        1
1147.        1
1148.        1
1149.        1
1150.        1
1151.        1
1152.        1
1153.        1
1154.        1
1155.        1
1156.        1
1157.        1
1158.        1
1159.        1
1160.        1
1161.        1
1162.        1
1163.        1
1164.        1
1165.        1
1166.        1
1167.        1
1168.        1
1169.        1
1170.        1
1171.        1
1172.        1
1173.        1
1174.        1
1175.        1
1176.        1
1177.        1
1178.        1
1179.        1
1180.        1
1181.        1
1182.        1
1183.        1
1184.        1
1185.        1
1186.        1
1187.        1
1188.        1
1189.        1
1190.        1
1191.        1
1192.        1
1193.        1
1194.        1
1195.        1
1196.        1
1197.        1
1198.        1
1199.        1
1200.        1
1201.        1
1202.        1
1203.        1
1204.        1
1205.        1
1206.        1
1207.        1
1208.        1
1209.        1
1210.        1
1211.        1
1212.        1
1213.        1
1214.        1
1215.        1
1216.        1
1217.        1
1218.        1
1219.        1
1220.        1
1221.        1
1222.        1
1223.        1
1224.        1
1225.        1
1226.        1
1227.        1
1228.        1
1229.        1
1230.        1
1231.        1
1232.        1
1233.        1
1234.        1
1235.        1
1236.        1
1237.        1
1238.        1
1239.        1
1240.        1
1241.        1
1242.        1
1243.        1
1244.        1
1245.        1
1246.        1
1247.        1
1248.        1
1249.        1
1250.        1
1251.        1
1252.        1
1253.        1
1254.        1
1255.        1
1256.        1
1257.        1
1258.        1
1259.        1
1260.        1
1261.        1
1262.        1
1263.        1
1264.        1
1265.        1
1266.        1
1267.        1
1268.        1
1269.        1
1270.        1
1271.        1
1272.        1
1273.        1
1274.        1
1275.        1
1276.        1
1277.        1
1278.        1
1279.        1
1280.        1
1281.        1
1282.        1
1283.        1
1284.        1
1285.        1
1286.        1
1287.        1
1288.        1
1289.        1
1290.        1
1291.        1
1292.        1
1293.        1
1294.        1
1295.        1
1296.        1
1297.        1
1298.        1
1299.        1
1300.        1
1301.        1
1302.        1
1303.        1
1304.        1
1305.        1
1306.        1
1307.        1
1308.        1
1309.        1
1310.        1
1311.        1
1312.        1
1313.        1
1314.        1
1315.        1
1316.        1
1317.        1
1318.        1
1319.        1
1320.        1
1321.        1
1322.        1
1323.        1
1324.        1
1325.        1
1326.        1
1327.        1
1328.        1
1329.        1
1330.        1
1331.        1
1332.        1
1333.        1
1334.        1
1335.        1
1336.        1
1337.        1
1338.        1
1339.        1
1340.        1
1341.        1
1342.        1
1343.        1
1344.        1
1345.        1
1346.        1
1347.        1
1348.        1
1349.        1
1350.        1
1351.        1
1352.        1
1353.        1
1354.        1
1355.        1
1356.        1
1357.        1
1358.        1
1359.        1
1360.        1
1361.        1
1362.        1
1363.        1
1364.        1
1365.        1
1366.        1
1367.        1
1368.        1
1369.        1
1370.        1
1371.        1
1372.        1
1373.        1
1374.        1
1375.        1
1376.        1
1377.        1
1378.        1
1379.        1
1380.        1
1381.        1
1382.        1
1383.        1
1384.        1
1385.        1
1386.        1
1387.        1
1388.        1
1389.        1
1390.        1
1391.        1
1392.        1
1393.        1
1394.        1
1395.        1
1396.        1
1397.        1
1398.        1
1399.        1
1400.        1
1401.        1
1402.        1
1403.        1
1404.        1
1405.        1
1406.        1
1407.        1
1408.        1
1409.        1
1410.        1
1411.        1
1412.        1
1413.        1
1414.        1
1415.        1
1416.        1
1417.        1
1418.        1
1419.        1
1420.        1
1421.        1
1422.        1
1423.        1
1424.        1
1425.        1
1426.        1
1427.        1
1428.        1
1429.        1
1430.        1
1431.        1
1432.        1
1433.        1
1434.        1
1435.        1
1436.        1
1437.        1
1438.        1
1439.        1
1440.        1
1441.        1
1442.        1
1443.        1
1444.        1
1445.        1
1446.        1
1447.        1
1448.        1
1449.        1
1450.        1
1451.        1
1452.        1
1453.        1
1454.        1
1455.        1
1456.        1
1457.        1
1458.        1
1459.        
```

**Lampiran 19 : Output MATLAB Model ANFIS Fungsi Generalized Bell Untuk Data Pukul 05:00**

```

data in sample
data out sample
output
proses anfis

ANFIS info:
    Number of nodes: 34
    Number of linear parameters: 32
    Number of nonlinear parameters: 18
    Total number of parameters: 50
    Number of training data pairs: 575
    Number of checking data pairs: 0
    Number of fuzzy rules: 8

Start training ANFIS ...
1   153.842
2   153.838
3   153.835
4   153.831
5   153.827
Step size increases to 0.011000 after epoch 5.
6   153.824
7   153.82
8   153.816
9   153.812
Step size increases to 0.012100 after epoch 9.
10  153.808
11  153.804
12  153.8
13  153.796
Step size increases to 0.013310 after epoch 13.
14  153.791
15  153.787
16  153.782
17  153.777
Step size increases to 0.014641 after epoch 17.
18  153.773
19  153.768
20  153.763
21  153.758
Step size increases to 0.016105 after epoch 21.
22  153.753
23  153.747
24  153.742
25  153.736
Step size increases to 0.017716 after epoch 25.
26  153.731
27  153.725
28  153.719
29  153.713
Step size increases to 0.019487 after epoch 29.
30  153.708
31  153.701
32  153.695
33  153.689
Step size increases to 0.021436 after epoch 33.
34  153.682
35  153.675
36  153.669
37  153.662
Step size increases to 0.023579 after epoch 37.
38  153.655
39  153.648
40  153.64
41  153.633

```

## Lampiran 19 (lanjutan)

```

Step size increases to 0.025937 after epoch 41.
 42   153.626
 43   153.618
 44   153.61
 45   153.603
Step size increases to 0.028531 after epoch 45.
 46   153.595
 47   153.586
 48   153.578
 49   153.57
Step size increases to 0.031384 after epoch 49.
 50   153.562
 51   153.553
 52   153.544
 53   153.535
Step size increases to 0.034523 after epoch 53.
 54   153.526
 55   153.517
 56   153.508
 57   153.498
Step size increases to 0.037975 after epoch 57.
 58   153.489
 59   153.479
 60   153.469
 61   153.46
Step size increases to 0.041772 after epoch 61.
 62   153.45
 63   153.44
 64   153.429
 65   153.419
Step size increases to 0.045950 after epoch 65.
 66   153.409
 67   153.398
 68   153.387
 69   153.376
Step size increases to 0.050545 after epoch 69.
 70   153.366
 71   153.354
 72   153.343
 73   153.332
Step size increases to 0.055599 after epoch 73.
 74   153.32
 75   153.308
 76   153.296
 77   153.285
Step size increases to 0.061159 after epoch 77.
 78   153.273
 79   153.261
 80   153.248
 81   153.236
Step size increases to 0.067275 after epoch 81.
 82   153.224
 83   153.211
 84   153.198
 85   153.185
Step size increases to 0.074002 after epoch 85.
 86   153.172
 87   153.158
 88   153.145
 89   153.131
Step size increases to 0.081403 after epoch 89.
 90   153.118
 91   153.103
 92   153.088
 93   153.074
Step size increases to 0.089543 after epoch 93.
 94   153.059
 95   153.044
 96   153.028
 97   153.012
Step size increases to 0.098497 after epoch 97.
 98   152.997
 99   152.98
100   152.963

Designated epoch number reached --> ANFIS training completed at epoch 100.

```

## Lampiran 19 (lanjutan)

```

peramalan
residual

rmse_in =
152.9630

rmse_out =
342.2759

mape_in =
3.0630

mape_out =
6.7549

smape_in =
3.0504

smape_out =
7.0604

1. Name          anfis
2. Type          sugeno
3. Inputs/Outputs [3 1]
4. NumInputMFs   [2 2 2]
5. NumOutputMFs 8
6. NumRules      8
7. AndMethod     prod
8. OrMethod      max
9. ImpMethod     prod
10. AggMethod    max
11. DefuzzMethod wtaver
12. InLabels     input1
13.             input2
14.             input3
15. OutLabels    output
16. InRange       [2405 4503]
17.             [2405 4503]
18.             [2405 4503]
19. OutRange      [2405 4503]
20. InMFLabels   in1mf1
21.             in1mf2
22.             in2mf1
23.             in2mf2
24.             in3mf1
25.             in3mf2
26. OutMFLabels  out1mf1
27.             out1mf2
28.             out1mf3
29.             out1mf4
30.             out1mf5
31.             out1mf6
32.             out1mf7
33.             out1mf8
34. InMFTypes    gbellmf
35.             gbellmf
36.             gbellmf
37.             gbellmf
38.             gbellmf
39.             gbellmf

```

## Lampiran 19 (lanjutan)

```
40. OutMFTypes linear
41. linear
42. linear
43. linear
44. linear
45. linear
46. linear
47. linear
48. InMFParams [1849 2 2405 0]
49. [1849 2 4503 0]
50. [1849 2 2405 0]
51. [1849 2 4503 0]
52. [1849 2 2405 0]
53. [1849 2 4503 0]
54. OutMFParams [0 0 0 0]
55. [0 0 0 0]
56. [0 0 0 0]
57. [0 0 0 0]
58. [0 0 0 0]
59. [0 0 0 0]
60. [0 0 0 0]
61. [0 0 0 0]
62. Rule Antecedent [1 1 1]
63. [1 1 2]
64. [1 2 1]
65. [1 2 2]
66. [2 1 1]
67. [2 1 2]
68. [2 2 1]
69. [2 2 2]
62. Rule Consequent 1
63. 2
64. 3
65. 4
66. 5
67. 6
68. 7
69. 8
62. Rule Weight 1
63. 1
64. 1
65. 1
66. 1
67. 1
68. 1
69. 1
62. Rule Connection 1
63. 1
64. 1
65. 1
66. 1
67. 1
68. 1
69. 1
62. Rule Weight 1
63. 1
64. 1
65. 1
66. 1
67. 1
68. 1
69. 1
62. Rule Connection 1
63. 1
64. 1
65. 1
66. 1
67. 1
68. 1
69. 1
```

## Lampiran 19 (lanjutan)

```

1. Name          anfis
2. Type          sugeno
3. Inputs/Outputs [3 1]
4. NumInputMFs   [2 2 2]
5. NumOutputMFs  8
6. NumRules      8
7. AndMethod     prod
8. OrMethod      max
9. ImplMethod    prod
10. AggMethod    max
11. DefuzzMethod wtaver
12. InLabels     input1
13.             input2
14.             input3
15. OutLabels    output
16. InRange      [2405 4503]
17.             [2405 4503]
18.             [2405 4503]
19. OutRange     [2405 4503]
20. InMFLabels   in1mf1
21.             in1mf2
22.             in2mf1
23.             in2mf2
24.             in3mf1
25.             in3mf2
26. OutMFLabels  out1mf1
27.             out1mf2
28.             out1mf3
29.             out1mf4
30.             out1mf5
31.             out1mf6
32.             out1mf7
33.             out1mf8
34. InMFTypes    gbellmf
35.             gbellmf
36.             gbellmf
37.             gbellmf
38.             gbellmf
39.             gbellmf
40. OutMFTypes   linear
41.             linear
42.             linear
43.             linear
44.             linear
45.             linear
46.             linear
47.             linear
48. InMFParams   [1049 2.414 2405 0]
49.             [1049 3.821 4503 0]
50.             [1049 0.653 2405 0]
51.             [1049 3.156 4503 0]
52.             [1049 4.486 2405 0]
53.             [1049 0.9838 4503 0]
54. OutMFParams  [-0.1977 4.113 -2.128 -2000]
55.             [3.147 -6.577 1.759 9209]
56.             [2.111 2.633 0.2523 -1.45e+004]
57.             [0.4509 2.449 -1.4 -970.4]
58.             [1.065 -1.603 -0.1487 5304]
59.             [2.843 -1.486 0.7925 -6560]
60.             [0.4216 -2.082 1.924 3934]
61.             [-0.04009 0.6413 -0.455 4012]
62. Rule Antecedent [1 1 1]
63.             [1 1 2]
64.             [1 2 1]
65.             [1 2 2]
66.             [2 1 1]
67.             [2 1 2]
68.             [2 2 1]
69.             [2 2 2]

```

**Lampiran 19 (lanjutan)**

62. Rule Consequent	1
63.	2
64.	3
65.	4
66.	5
67.	6
68.	7
69.	8
62. Rule Weight	1
63.	1
64.	1
65.	1
66.	1
67.	1
68.	1
69.	1
62. Rule Connection	1
63.	1
64.	1
65.	1
66.	1
67.	1
68.	1
69.	1

**Lampiran 20 : Output MATLAB Model ANFIS Fungsi Gaussian Untuk Data Pukul 13:00**

```
data in sample
data out sample
output
proses anfis

ANFIS info:
    Number of nodes: 34
    Number of linear parameters: 32
    Number of nonlinear parameters: 12
    Total number of parameters: 44
    Number of training data pairs: 575
    Number of checking data pairs: 0
    Number of fuzzy rules: 8

Start training ANFIS ...
1   271.379
2   271.379
3   271.379
4   271.379
5   271.379
Step size increases to 0.011000 after epoch 5.
6   271.379
7   271.379
8   271.379
9   271.379
Step size increases to 0.012100 after epoch 9.
10  271.379
11  271.379
12  271.379
13  271.378
Step size increases to 0.013310 after epoch 13.
14  271.378
15  271.378
16  271.378
17  271.378
Step size increases to 0.014641 after epoch 17.
18  271.378
19  271.378
20  271.378
21  271.378
Step size increases to 0.016105 after epoch 21.
22  271.378
23  271.378
24  271.378
25  271.377
Step size increases to 0.017716 after epoch 25.
26  271.377
27  271.377
28  271.377
29  271.377
Step size increases to 0.019487 after epoch 29.
30  271.377
31  271.377
32  271.377
33  271.377
Step size increases to 0.021436 after epoch 33.
34  271.377
35  271.376
36  271.376
37  271.376
Step size increases to 0.023579 after epoch 37.
38  271.376
39  271.376
40  271.376
41  271.376
```

## Lampiran 20 (lanjutan)

```

Step size increases to 0.025937 after epoch 41.
 42 271.375
 43 271.375
 44 271.375
 45 271.375
Step size increases to 0.028531 after epoch 45.
 46 271.375
 47 271.375
 48 271.375
 49 271.374
Step size increases to 0.031384 after epoch 49.
 50 271.374
 51 271.374
 52 271.374
 53 271.374
Step size increases to 0.034523 after epoch 53.
 54 271.374
 55 271.373
 56 271.373
 57 271.373
Step size increases to 0.037975 after epoch 57.
 58 271.373
 59 271.373
 60 271.372
 61 271.372
Step size increases to 0.041772 after epoch 61.
 62 271.372
 63 271.372
 64 271.371
 65 271.371
Step size increases to 0.045950 after epoch 65.
 66 271.371
 67 271.371
 68 271.37
 69 271.37
Step size increases to 0.050545 after epoch 69.
 70 271.37
 71 271.37
 72 271.369
 73 271.369
Step size increases to 0.055599 after epoch 73.
 74 271.369
 75 271.369
 76 271.368
 77 271.368
Step size increases to 0.061159 after epoch 77.
 78 271.368
 79 271.367
 80 271.367
 81 271.366
Step size increases to 0.067275 after epoch 81.
 82 271.366
 83 271.366
 84 271.365
 85 271.365
Step size increases to 0.074002 after epoch 85.
 86 271.365
 87 271.364
 88 271.364
 89 271.363
Step size increases to 0.081403 after epoch 89.
 90 271.363
 91 271.362
 92 271.362
 93 271.362
Step size increases to 0.089543 after epoch 93.
 94 271.361
 95 271.361
 96 271.36
 97 271.36
Step size increases to 0.098497 after epoch 97.
 98 271.359
 99 271.358
100 271.358

Designated epoch number reached --> ANFIS training completed at epoch 100.

```

**Lampiran 20 (lanjutan)**

```
peramalan
residual

rmse_in =
271.3579

rmse_out =
409.7775

mape_in =
4.9526

mape_out =
7.4921

smape_in =
4.8329

smape_out =
7.8170

1. Name          anfis
2. Type          sugeno
3. Inputs/Outputs [3 1]
4. NumInputMFs   [2 2 2]
5. NumOutputMFs 8
6. NumRules      8
7. AndMethod     prod
8. OrMethod      max
9. ImplMethod    prod
10. AggMethod    max
11. DefuzzMethod wtaver
12. InLabels     input1
13.             input2
14.             input3
15. OutLabels    output
16. InRange       [2166 4828]
17.             [2166 4828]
18.             [2166 4828]
19. OutRange      [2166 4828]
20. InMFLabels   in1mf1
21.             in1mf2
22.             in2mf1
23.             in2mf2
24.             in3mf1
25.             in3mf2
26. OutMFLabels  out1mf1
27.             out1mf2
28.             out1mf3
29.             out1mf4
30.             out1mf5
31.             out1mf6
32.             out1mf7
33.             out1mf8
34. InMFTypes    gaussmf
35.             gaussmf
36.             gaussmf
37.             gaussmf
38.             gaussmf
39.             gaussmf
```

## Lampiran 20 (lanjutan)

```

40. OutMFTypes    linear
41.           linear
42.           linear
43.           linear
44.           linear
45.           linear
46.           linear
47.           linear
48. InMFParams   [1131 2166 0 0]
49.           [1131 4828 0 0]
50.           [1131 2166 0 0]
51.           [1131 4828 0 0]
52.           [1131 2166 0 0]
53.           [1131 4828 0 0]
54. OutMFParams  [0 0 0 0]
55.           [0 0 0 0]
56.           [0 0 0 0]
57.           [0 0 0 0]
58.           [0 0 0 0]
59.           [0 0 0 0]
60.           [0 0 0 0]
61.           [0 0 0 0]
62. Rule Antecedent [1 1 1]
63.           [1 1 2]
64.           [1 2 1]
65.           [1 2 2]
66.           [2 1 1]
67.           [2 1 2]
68.           [2 2 1]
69.           [2 2 2]
62. Rule Consequent 1
63.           2
64.           3
65.           4
66.           5
67.           6
68.           7
69.           8
62. Rule Weight    1
63.           1
64.           1
65.           1
66.           1
67.           1
68.           1
69.           1
62. Rule Connection 1
63.           1
64.           1
65.           [1 2 2]
66.           [2 1 1]
67.           [2 1 2]
68.           [2 2 1]
69.           [2 2 2]
62. Rule Consequent 1
63.           2
64.           3
65.           4
66.           5
67.           6
68.           7
69.           8
62. Rule Weight    1
63.           1
64.           1
65.           1
66.           1
67.           1
68.           1
69.           1

```

**Lampiran 20 (lanjutan)**

```
62. Rule Consequent 1
63.          2
64.          3
65.          4
66.          5
67.          6
68.          7
69.          8
62. Rule Weight    1
63.          1
64.          1
65.          1
66.          1
67.          1
68.          1
69.          1
62. Rule Connection 1
63.          1
64.          1
65.          1
66.          1
67.          1
68.          1
69.          1
1. Name      anfis
2. Type       sugeno
3. Inputs/Outputs [3 1]
4. NumInputMFS [2 2]
5. NumOutputMFS 8
6. NumRules   8
7. AndMethod  prod
8. OrMethod   max
9. ImplMethod prod
10. AggMethod  max
11. DefuzzMethod wtaver
12. InLabels   input1
13.           input2
14.           input3
15. OutLabels  output
16. InRange    [2166 4828]
17.           [2166 4828]
18.           [2166 4828]
19. OutRange   [2166 4828]
20. InMFLabels in1mf1
21.           in1mf2
22.           in2mf1
23.           in2mf2
24.           in3mf1
25.           in3mf2
26. OutMFLabels out1mf1
27.           out1mf2
28.           out1mf3
29.           out1mf4
30.           out1mf5
31.           out1mf6
32.           out1mf7
33.           out1mf8
34. InMFTypes   gausmf
35.           gaussmf
36.           gaussmf
37.           gaussmf
38.           gaussmf
39.           gaussmf
40. OutMFTypes  linear
41.           linear
42.           linear
43.           linear
44.           linear
45.           linear
46.           linear
47.           linear
```

## Lampiran 20 (lanjutan)

```
48. InMFParams      [1129 2165 0 0]
49.                  [1128 4829 0 0]
50.                  [1131 2165 0 0]
51.                  [1131 4827 0 0]
52.                  [1130 2166 0 0]
53.                  [1131 4828 0 0]
54. OutMFParams    [6.131 0.5381 2.198 -1.855e+004]
55.                  [-6.062 -10.61 6.755 1.9e+004]
56.                  [3.336 -5.739 0.661 1.477e+004]
57.                  [4.238 -1.896 -1.516 1.097e+004]
58.                  [6.793 2.444 -3.663 -2.298e+004]
59.                  [-1.864 -2.622 -1.586 2.923e+004]
60.                  [-0.8402 3.444 2.611 -1.515e+004]
61.                  [2.93 -1.602 1.326 -8657]
62. Rule Antecedent [1 1 1]
63.                  [1 1 2]
64.                  [1 2 1]
65.                  [1 2 2]
66.                  [2 1 1]
67.                  [2 1 2]
68.                  [2 2 1]
69.                  [2 2 2]
62. Rule Consequent 1
63.                  2
64.                  3
65.                  4
66.                  5
67.                  6
68.                  7
69.                  8
62. Rule Weight     1
63.                  1
64.                  1
65.                  1
66.                  1
67.                  1
68.                  1
69.                  1
62. Rule Connection 1
63.                  1
64.                  1
65.                  1
66.                  1
67.                  1
68.                  1
69.                  1
```

**Lampiran 21 : Output MATLAB Model ANFIS Fungsi Trapezoidal Untuk Data Pukul 13:00**

```
data in sample
data out sample
output
proses anfis

ANFIS info:
    Number of nodes: 34
    Number of linear parameters: 32
    Number of nonlinear parameters: 24
    Total number of parameters: 56
    Number of training data pairs: 575
    Number of checking data pairs: 0
    Number of fuzzy rules: 8

Start training ANFIS ...
1   270.259
2   270.259
3   270.259
4   270.259
5   270.258
Step size decreases to 0.009000 after epoch 5.
6   270.259
7   270.258
8   270.258
9   270.258
10  270.258
11  270.257
12  270.257
13  270.257
14  270.257
15  270.257
16  270.257
17  270.256
Step size decreases to 0.008100 after epoch 17.
18  270.256
19  270.256
20  270.256
21  270.256
22  270.256
23  270.256
Step size increases to 0.008910 after epoch 23.
24  270.255
25  270.255
26  270.255
27  270.255
Step size increases to 0.009801 after epoch 27.
28  270.254
29  270.254
30  270.254
31  270.254
32  270.254
33  270.254
34  270.253
35  270.253
Step size increases to 0.010781 after epoch 35.
36  270.254
37  270.253
38  270.253
39  270.252
40  270.252
```

## Lampiran 21 (lanjutan)

```
Step size increases to 0.011859 after epoch 40.  
41 270.252  
42 270.252  
43 270.252  
44 270.252  
Step size increases to 0.013045 after epoch 44.  
45 270.251  
46 270.251  
47 270.251  
48 270.251  
49 270.25  
50 270.25  
51 270.25  
Step size decreases to 0.011741 after epoch 51.  
52 270.249  
53 270.249  
54 270.249  
Step size increases to 0.012915 after epoch 54.  
55 270.249  
56 270.249  
57 270.248  
58 270.248  
59 270.248  
60 270.248  
61 270.247  
62 270.247  
Step size increases to 0.014206 after epoch 62.  
63 270.247  
64 270.247  
65 270.246  
66 270.246  
67 270.247  
68 270.246  
69 270.245  
70 270.245  
71 270.245  
Step size increases to 0.015627 after epoch 71.  
72 270.245  
73 270.245  
74 270.244  
75 270.244  
76 270.243  
77 270.243  
78 270.243  
79 270.242  
80 270.242  
81 270.242  
Step size increases to 0.017189 after epoch 81.  
82 270.241  
83 270.241  
84 270.241  
85 270.24  
86 270.241  
87 270.24  
Step size decreases to 0.015470 after epoch 87.  
88 270.24  
89 270.239  
90 270.239  
Step size increases to 0.017018 after epoch 90.  
91 270.239  
92 270.238  
93 270.238  
94 270.238  
Step size increases to 0.018719 after epoch 94.  
95 270.237  
96 270.237  
97 270.237  
98 270.236  
99 270.236  
100 270.235  
  
Designated epoch number reached --> ANFIS training completed at epoch 100.
```

## Lampiran 21 (lanjutan)

```

peramalan
residual

rmse_in =
270.2353

rmse_out =
429.8413

mape_in =
4.9320

mape_out =
8.0387

smape_in =
4.8121

smape_out =
8.4560

1. Name          anfis
2. Type          sugeno
3. Inputs/Outputs [3 1]
4. NumInputMFs   [2 2 2]
5. NumOutputMFs 8
6. NumRules      8
7. AndMethod     prod
8. OrMethod      max
9. ImpMethod     prod
10. AggMethod    max
11. DefuzzMethod wtaver
12. InLabels     input1
13.             input2
14.             input3
15. OutLabels    output
16. InRange       [2166 4828]
17.             [2166 4828]
18.             [2166 4828]
19. OutRange      [2166 4828]
20. InMFLabels   in1mf1
21.             in1mf2
22.             in2mf1
23.             in2mf2
24.             in3mf1
25.             in3mf2
26. OutMFLabels  out1mf1
27.             out1mf2
28.             out1mf3
29.             out1mf4
30.             out1mf5
31.             out1mf6
32.             out1mf7
33.             out1mf8

```

## Lampiran 21 (lanjutan)

```
34. InMFTypes      trapmf
35.          trapmf
36.          trapmf
37.          trapmf
38.          trapmf
39.          trapmf
40. OutMFTypes     linear
41.          linear
42.          linear
43.          linear
44.          linear
45.          linear
46.          linear
47.          linear
48. InMFParams     [302.3 1367 2964 4029]
49.          [2964 4029 5627 6691]
50.          [302.3 1367 2964 4029]
51.          [2964 4029 5627 6691]
52.          [302.3 1367 2964 4029]
53.          [2964 4029 5627 6691]
54. OutMFParams    [0 0 0 0]
55.          [0 0 0 0]
56.          [0 0 0 0]
57.          [0 0 0 0]
58.          [0 0 0 0]
59.          [0 0 0 0]
60.          [0 0 0 0]
61.          [0 0 0 0]
62. Rule Antecedent [1 1 1]
63.          [1 1 2]
64.          [1 2 1]
65.          [1 2 2]
66.          [2 1 1]
67.          [2 1 2]
68.          [2 2 1]
69.          [2 2 2]
62. Rule Consequent 1
63.          2
64.          3
65.          4
66.          5
67.          6
68.          7
69.          8
62. Rule Weight     1
63.          1
64.          1
65.          1
66.          1
67.          [2 1 2]
68.          [2 2 1]
69.          [2 2 2]
62. Rule Consequent 1
63.          2
64.          3
65.          4
66.          5
67.          6
68.          7
69.          8
62. Rule Weight     1
63.          1
64.          1
65.          1
66.          1
67.          1
68.          1
69.          1
```

**Lampiran 21 (lanjutan)**

```
62. Rule Weight      1
63.                1
64.                1
65.                1
66.                1
67.                1
68.                1
69.                1
62. Rule Connection 1
63.                1
64.                1
65.                1
66.                1
67.                1
68.                1
69.                1
1. Name          anfis
2. Type          sugeno
3. Inputs/Outputs [3 1]
4. NumInputMFs   [2 2 2]
5. NumOutputMFs 8
6. NumRules      8
7. AndMethod     prod
8. OrMethod      max
9. ImplMethod    prod
10. AggMethod    max
11. DefuzzMethod wtaver
12. InLabels     input1
13.              input2
14.              input3
15. OutLabels    output
16. InRange      [2166 4828]
17.              [2166 4828]
18.              [2166 4828]
19. OutRange     [2166 4828]
20. InMFLabels   in1mf1
21.              in1mf2
22.              in2mf1
23.              in2mf2
24.              in3mf1
25.              in3mf2
26. OutMFLabels  out1mf1
27.              out1mf2
28.              out1mf3
29.              out1mf4
30.              out1mf5
31.              out1mf6
32.              out1mf7
33.              out1mf8
34. InMFTypes    trapmf
35.              trapmf
36.              trapmf
37.              trapmf
38.              trapmf
39.              trapmf
40. OutMFTypes   linear
41.              linear
42.              linear
43.              linear
44.              linear
45.              linear
46.              linear
47.              linear
```

## Lampiran 21 (lanjutan)

```

48. InMFParams      [302.3 1367 2964 4028]
49.                [2965 4029 5627 6691]
50.                [302.3 1367 2964 4029]
51.                [2964 4029 5627 6691]
52.                [302.3 1367 2965 4029]
53.                [2964 4029 5627 6691]
54. OutMFParams    [1.281 -0.4044 0.532 -810.4]
55.                [0.5489 -1.652 0.863 2760]
56.                [2.305 -1.44 -0.3837 3715]
57.                [1.349 0.9275 -0.5522 -1710]
58.                [1.669 1.259 -1.546 -2129]
59.                [1.523 -0.9865 0.05341 424.6]
60.                [0.349 0.9384 0.3385 -2289]
61.                [0.7979 0.02659 -0.01143 694.3]
62. Rule Antecedent [1 1 1]
63.                [1 1 2]
64.                [1 2 1]
65.                [1 2 2]
66.                [2 1 1]
67.                [2 1 2]
68.                [2 2 1]
69.                [2 2 2]
62. Rule Consequent 1
63.                2
64.                3
65.                4
66.                5
67.                6
68.                7
69.                8
62. Rule Weight     1
63.                1
64.                1
65.                1
66.                1
67.                1
68.                1
69.                1
62. Rule Connection 1
63.                1
64.                1
65.                1
66.                1
67.                1
68.                1
69.                1|

```

**Lampiran 22 : Output MATLAB Model ANFIS Fungsi Generalized Bell Untuk Data Pukul 13:00**

```
data in sample
data out sample
output
proses anfis

ANFIS info:
    Number of nodes: 34
    Number of linear parameters: 32
    Number of nonlinear parameters: 18
    Total number of parameters: 50
    Number of training data pairs: 575
    Number of checking data pairs: 0
    Number of fuzzy rules: 8

Start training ANFIS ...
1   269.652
2   269.637
3   269.623
4   269.608
5   269.594
Step size increases to 0.011000 after epoch 5.
6   269.58
7   269.564
8   269.548
9   269.532
Step size increases to 0.012100 after epoch 9.
10  269.517
11  269.5
12  269.482
13  269.465
Step size increases to 0.013310 after epoch 13.
14  269.448
15  269.43
16  269.411
17  269.393
Step size increases to 0.014641 after epoch 17.
18  269.374
19  269.354
20  269.334
21  269.314
Step size increases to 0.016105 after epoch 21.
22  269.294
23  269.272
24  269.25
25  269.228
Step size increases to 0.017716 after epoch 25.
26  269.207
27  269.183
28  269.16
29  269.136
Step size increases to 0.019487 after epoch 29.
30  269.113
31  269.088
32  269.062
33  269.037
Step size increases to 0.021436 after epoch 33.
34  269.012
35  268.985
36  268.958
37  268.931
Step size increases to 0.023579 after epoch 37.
38  268.905
39  268.876
40  268.847
41  268.818
```

## Lampiran 22 (lanjutan)

```

Step size increases to 0.025937 after epoch 41.
 42   268.79
 43   268.759
 44   268.729
 45   268.699
Step size increases to 0.028531 after epoch 45.
 46   268.669
 47   268.637
 48   268.605
 49   268.574
Step size increases to 0.031384 after epoch 49.
 50   268.543
 51   268.509
 52   268.476
 53   268.444
Step size increases to 0.034523 after epoch 53.
 54   268.412
 55   268.378
 56   268.344
 57   268.311
Step size increases to 0.037975 after epoch 57.
 58   268.279
 59   268.245
 60   268.211
 61   268.178
Step size increases to 0.041772 after epoch 61.
 62   268.146
 63   268.112
 64   268.079
 65   268.047
Step size increases to 0.045950 after epoch 65.
 66   268.015
 67   267.982
 68   267.949
 69   267.918
Step size increases to 0.050545 after epoch 69.
 70   267.887
 71   267.854
 72   267.822
 73   267.791
Step size increases to 0.055599 after epoch 73.
 74   267.76
 75   267.727
 76   267.695
 77   267.663
Step size increases to 0.061159 after epoch 77.
 78   267.633
 79   267.599
 80   267.577
 81   267.535
Step size increases to 0.067275 after epoch 81.
 82   267.504
 83   267.471
 84   267.438
 85   267.406
Step size increases to 0.074002 after epoch 85.
 86   267.375
 87   267.342
 88   267.31
 89   267.278
Step size increases to 0.081403 after epoch 89.
 90   267.248
 91   267.215
 92   267.184
 93   267.153
Step size increases to 0.089543 after epoch 93.
 94   267.125
 95   267.094
 96   267.064
 97   267.036
Step size increases to 0.098497 after epoch 97.
 98   267.009
 99   266.981
100   266.954

Designated epoch number reached --> ANFIS training completed at epoch 100.

```

## Lampiran 22 (lanjutan)

```

peramalan
residual

rmse_in =
266.9543

rmse_out =
426.2184

mape_in =
4.8687

mape_out =
7.9707

smape_in =
4.7565

smape_out =
8.3469

1. Name          anfis
2. Type          sugeno
3. Inputs/Outputs [3 1]
4. NumInputMFs   [2 2 2]
5. NumOutputMFs 8
6. NumRules      8
7. AndMethod     prod
8. OrMethod      max
9. ImplMethod    prod
10. AggMethod    max
11. DefuzzMethod wtaver
12. InLabels     input1
13.             input2
14.             input3
15. OutLabels    output
16. InRange       [2166 4828]
17.             [2166 4828]
18.             [2166 4828]
19. OutRange      [2166 4828]
20. InMFLabels   in1mf1
21.             in1mf2
22.             in2mf1
23.             in2mf2
24.             in3mf1
25.             in3mf2
26. OutMFLabels  out1mf1
27.             out1mf2
28.             out1mf3
29.             out1mf4
30.             out1mf5
31.             out1mf6
32.             out1mf7
33.             out1mf8
34. InMFTypes    gbellmf
35.             gbellmf
36.             gbellmf
37.             gbellmf
38.             gbellmf
39.             gbellmf

```

## Lampiran 22 (lanjutan)

```

40. OutMFTypes linear
41. linear
42. linear
43. linear
44. linear
45. linear
46. linear
47. linear
48. InMFParams [1331 2 2166 0]
49. [1331 2 4828 0]
50. [1331 2 2166 0]
51. [1331 2 4828 0]
52. [1331 2 2166 0]
53. [1331 2 4828 0]
54. OutMFParams [0 0 0 0]
55. [0 0 0 0]
56. [0 0 0 0]
57. [0 0 0 0]
58. [0 0 0 0]
59. [0 0 0 0]
60. [0 0 0 0]
61. [0 0 0 0]
62. Rule Antecedent [1 1 1]
63. [1 1 2]
64. [1 2 1]
65. [1 2 2]
66. [2 1 1]
67. [2 1 2]
68. [2 2 1]
69. [2 2 2]
70. Rule Consequent 1
71. 2
72. 3
73. 4
74. 5
75. 6
76. 7
77. 8
78. Rule Weight 1
79. 1
80. 1
81. 1
82. 1
83. 1
84. 1
85. 1
86. 1
87. 1
88. Rule Connection 1
89. 1
90. 1
91. 1
92. [1 2 2]
93. [2 1 1]
94. [2 1 2]
95. [2 2 1]
96. [2 2 2]
97. Rule Consequent 1
98. 2
99. 3
100. 4
101. 5
102. 6
103. 7
104. 8
105. Rule Weight 1
106. 1
107. 1
108. 1
109. 1
110. 1
111. 1
112. 1
113. 1

```

**Lampiran 22 (lanjutan)**

```
62. Rule Weight      1
63.                1
64.                1
65.                1
66.                1
67.                1
68.                1
69.                1
62. Rule Connection 1
63.                1
64.                1
65.                1
66.                1
67.                1
68.                1
69.                1
1. Name             anfis
2. Type              sugeno
3. Inputs/Outputs   [3 1]
4. NumInputMFs      [2 2 2]
5. NumOutputMFs     8
6. NumRules          8
7. AndMethod         prod
8. OrMethod          max
9. ImpMethod         prod
10. AggMethod        max
11. DefuzzMethod    wtaver
12. InLabels         input1
13.                 input2
14.                 input3
15. OutLabels        output
16. InRange          [2166 4828]
17.                 [2166 4828]
18.                 [2166 4828]
19. OutRange          [2166 4828]
20. InMFLabels       in1mf1
21.                 in1mf2
22.                 in2mf1
23.                 in2mf2
24.                 in3mf1
25.                 in3mf2
26. OutMFLabels      out1mf1
27.                 out1mf2
28.                 out1mf3
29.                 out1mf4
30.                 out1mf5
31.                 out1mf6
32.                 out1mf7
33.                 out1mf8
34. InMFTypes         gbellmf
35.                 gbellmf
36.                 gbellmf
37.                 gbellmf
38.                 gbellmf
39.                 gbellmf
40. OutMFTypes        linear
41.                 linear
42.                 linear
43.                 linear
44.                 linear
45.                 linear
46.                 linear
47.                 linear
```

## Lampiran 22 (lanjutan)

```
48. InMFParams      [1331 3.039 2166 0]
49.                  [1331 4.491 4828 0]
50.                  [1331 0.6039 2166 0]
51.                  [1331 1.965 4828 0]
52.                  [1331 3.578 2166 0]
53.                  [1331 1.521 4828 0]
54. OutMFParams     [2.298 0.947 -0.2442 -5751]
55.                  [-2.232 -9.314 2.032 2.769e+004]
56.                  [1.065 -2.474 -0.819 1.244e+004]
57.                  [3.477 1.549 -1.533 -1020]
58.                  [2.9 3.252 -2.389 -9597]
59.                  [1.028 -3.241 0.3626 8034]
60.                  [-1.829 1.64 1.902 -2595]
61.                  [1.044 0.2621 0.04938 -329.5]
62. Rule Antecedent [1 1 1]
63.                  [1 1 2]
64.                  [1 2 1]
65.                  [1 2 2]
66.                  [2 1 1]
67.                  [2 1 2]
68.                  [2 2 1]
69.                  [2 2 2]
62. Rule Consequent 1
63.                  2
64.                  3
65.                  4
66.                  5
67.                  6
68.                  7
69.                  8
62. Rule Weight      1
63.                  1
64.                  1
65.                  1
66.                  1
67.                  1
68.                  1
69.                  1
62. Rule Connection  1
63.                  1
64.                  1
65.                  1
66.                  1
67.                  1
68.                  1
69.                  1]
```

**Lampiran 23 : Output MATLAB Model ANFIS Fungsi Gaussian Untuk Data Pukul 18:30**

```
data in sample
data out sample
output
proses anfis

ANFIS info:
    Number of nodes: 34
    Number of linear parameters: 32
    Number of nonlinear parameters: 12
    Total number of parameters: 44
    Number of training data pairs: 575
    Number of checking data pairs: 0
    Number of fuzzy rules: 8

Start training ANFIS ...
1   167
2   167
3   167
4   167
5   166.999
6   166.999
7   166.999
8   166.999
9   166.999
10  166.999
11  166.999
12  166.999
13  166.999
14  166.999
Step size increases to 0.011000 after epoch 14.
15  166.999
16  166.999
17  166.999
18  166.999
19  166.999
20  166.999
21  166.999
22  166.999
23  166.999
24  166.999
25  166.999
26  166.999
27  166.999
28  166.999
29  166.998
30  166.998
Step size increases to 0.012100 after epoch 30.
31  166.998
32  166.998
33  166.998
34  166.998
35  166.998
36  166.998
37  166.998
38  166.998
39  166.998
40  166.998
41  166.998
42  166.998
43  166.998
44  166.998
45  166.998
46  166.998
47  166.998
48  166.998
49  166.998
```

### Lampiran 23 (lanjutan)

```
Step size increases to 0.013310 after epoch 49.  
 50    166.997  
 51    166.998  
 52    166.997  
 53    166.997  
 54    166.997  
 55    166.997  
Step size increases to 0.014641 after epoch 55.  
 56    166.997  
 57    166.997  
 58    166.997  
 59    166.997  
Step size increases to 0.016105 after epoch 59.  
 60    166.997  
 61    166.997  
 62    166.997  
 63    166.997  
 64    166.997  
 65    166.997  
 66    166.997  
 67    166.996  
Step size increases to 0.017716 after epoch 67.  
 68    166.996  
 69    166.996  
 70    166.996  
 71    166.996  
Step size increases to 0.019487 after epoch 71.  
 72    166.996  
 73    166.996  
 74    166.996  
 75    166.996  
 76    166.996  
 77    166.996  
 78    166.996  
 79    166.996  
Step size increases to 0.021436 after epoch 79.  
 80    166.995  
 81    166.995  
 82    166.995  
 83    166.995  
Step size increases to 0.023579 after epoch 83.  
 84    166.995  
 85    166.995  
 86    166.995  
 87    166.995  
Step size increases to 0.025937 after epoch 87.  
 88    166.995  
 89    166.995  
 90    166.994  
 91    166.994  
Step size increases to 0.028531 after epoch 91.  
 92    166.994  
 93    166.994  
 94    166.994  
 95    166.994  
Step size increases to 0.031384 after epoch 95.  
 96    166.994  
 97    166.994  
 98    166.994  
 99    166.993  
Step size increases to 0.034523 after epoch 99.  
100    166.993  
  
Designated epoch number reached --> ANFIS training completed at epoch 100.
```

**Lampiran 23 (lanjutan)**

```
peramalan
residual

rmse_in =
166.9933

rmse_out =
386.4641

mape_in =
2.7088

mape_out =
6.4055

smape_in =
2.6974

smape_out =
6.6884

1. Name      anfis
2. Type       sugeno
3. Inputs/Outputs [3 1]
4. NumInputMFs [2 2 2]
5. NumOutputMFs 8
6. NumRules    8
7. AndMethod   prod
8. OrMethod    max
9. ImpMethod   prod
10. AggMethod  max
11. DefuzzMethod wtaver
12. InLabels   input1
13.           input2
14.           input3
15. OutLabels  output
16. InRange    [3270 5321]
17.           [3270 5321]
18.           [3270 5321]
19. OutRange   [3270 5321]
20. InMFLabels inmf1
21.           inmf2
22.           in2mf1
23.           in2mf2
24.           in3mf1
25.           in3mf2
26. OutMFLabels outmf1
27.           outmf2
28.           outmf3
29.           outmf4
30.           outmf5
31.           outmf6
32.           outmf7
33.           outmf8
34. InMFTypes  gaussmf
35.           gaussmf
36.           gaussmf
37.           gaussmf
38.           gaussmf
39.           gaussmf
```

## Lampiran 23 (lanjutan)

```

40. OutMFTypes linear
41. linear
42. linear
43. linear
44. linear
45. linear
46. linear
47. linear
48. InMFParams [871 3270 0 0]
49. [871 5321 0 0]
50. [871 3270 0 0]
51. [871 5321 0 0]
52. [871 3270 0 0]
53. [871 5321 0 0]
54. OutMFParams [0 0 0 0]
55. [0 0 0 0]
56. [0 0 0 0]
57. [0 0 0 0]
58. [0 0 0 0]
59. [0 0 0 0]
60. [0 0 0 0]
61. [0 0 0 0]
62. Rule Antecedent [1 1]
63. [1 1 2]
64. [1 2 1]
65. [1 2 2]
66. [2 1 1]
67. [2 1 2]
68. [2 2 1]
69. [2 2 2]
62. Rule Consequent 1
63. 2
64. 3
65. 4
66. 5
67. 6
68. 7
69. 8
62. Rule Weight 1
63. 1
64. 1
65. 1
66. 1
67. 1
68. 1
69. 1
62. Rule Connection 1
63. 1
64. 1
65. 1
66. 1
67. 1
68. 1
69. 1
62. Rule Weight 1
63. 1
64. 1
65. 1
66. 1
67. 1
68. 1
69. 1
62. Rule Connection 1
63. 1
64. 1
65. 1
66. 1
67. 1
68. 1
69. 1

```

### Lampiran 23 (lanjutan)

```

1. Name          anfis
2. Type          sugeno
3. Inputs/Outputs [3 1]
4. NumInputMFs   [2 2]
5. NumOutputMFs 8
6. NumRules      8
7. AndMethod     prod
8. OrMethod      max
9. ImplMethod    prod
10. AggMethod    max
11. DefuzzMethod wtaver
12. InLabels     input1
13.             input2
14.             input3
15. OutLabels    output
16. InRange      [3270 5321]
17.             [3270 5321]
18.             [3270 5321]
19. OutRange     [3270 5321]
20. InMFLabels   inmf1
21.             inmf2
22.             inmf1
23.             inmf2
24.             inmf1
25.             inmf2
26. OutMFLabels  outmf1
27.             outmf2
28.             outmf3
29.             outmf4
30.             outmf5
31.             outmf6
32.             outmf7
33.             outmf8
34. InMFTypes    gausmf
35.             gausmf
36.             gausmf
37.             gausmf
38.             gausmf
39.             gausmf
40. OutMFTypes   linear
41.             linear
42.             linear
43.             linear
44.             linear
45.             linear
46.             linear
47.             linear
48. InMFParams   [870.7 3269 0 0]
49.             [870.6 5321 0 0]
50.             [870.5 3270 0 0]
51.             [870.4 5321 0 0]
52.             [871.7 3270 0 0]
53.             [871.7 5320 0 0]
54. OutMFParams  [4.81 0.4817 1.518 -1.912e+004]
55.             [-1.937 -14.08 14.05 -1745]
56.             [-1.565 -11.21 14.74 7692]
57.             [7.733 -0.7727 3.643 -3.859e+004]
58.             [6.816 0.8778 -3.735 -1.931e+004]
59.             [1.641 -3.1 -4.664 3.35e+004]
60.             [-3.981 4.196 -1.516 1.005e+004]
61.             [4.377 -1.415 -0.5369 -7983]
62. Rule Antecedent [1 1 1]
63.             [1 1 2]
64.             [1 2 1]
65.             [1 2 2]
66.             [2 1 1]
67.             [2 1 2]
68.             [2 2 1]
69.             [2 2 2]

```

**Lampiran 23 (lanjutan)**

62. Rule Consequent	1
63.	2
64.	3
65.	4
66.	5
67.	6
68.	7
69.	8
62. Rule Weight	1
63.	1
64.	1
65.	1
66.	1
67.	1
68.	1
69.	1
62. Rule Connection	1
63.	1
64.	1
65.	1
66.	1
67.	1
68.	1
69.	1

**Lampiran 24 : Output MATLAB Model ANFIS Fungsi Trapezoidal Untuk Data Pukul 18:30**

```
data in sample
data out sample
output
proses anfis

ANFIS info:
    Number of nodes: 34
    Number of linear parameters: 32
    Number of nonlinear parameters: 24
    Total number of parameters: 56
    Number of training data pairs: 575
    Number of checking data pairs: 0
    Number of fuzzy rules: 8

Start training ANFIS ...
1   169.338
2   169.337
3   169.337
4   169.337
5   169.337
Step size increases to 0.011000 after epoch 5.
6   169.337
7   169.336
8   169.336
9   169.336
Step size increases to 0.012100 after epoch 9.
10  169.336
11  169.336
12  169.336
13  169.335
14  169.335
15  169.335
Step size decreases to 0.010890 after epoch 15.
16  169.334
17  169.334
18  169.334
Step size increases to 0.011979 after epoch 18.
19  169.334
20  169.334
21  169.333
22  169.333
Step size increases to 0.013177 after epoch 22.
23  169.333
24  169.333
25  169.332
26  169.332
Step size increases to 0.014495 after epoch 26.
27  169.332
28  169.332
29  169.331
30  169.331
Step size increases to 0.015944 after epoch 30.
31  169.331
32  169.33
33  169.33
34  169.33
Step size increases to 0.017538 after epoch 34.
35  169.329
36  169.329
37  169.329
38  169.329
39  169.328
40  169.328
41  169.327
42  169.327
```

## Lampiran 24 (lanjutan)

```

Step size increases to 0.019292 after epoch 42.
 43   169.327
 44   169.326
 45   169.326
 46   169.326
Step size increases to 0.021222 after epoch 46.
 47   169.325
 48   169.325
 49   169.325
 50   169.324
Step size increases to 0.023344 after epoch 50.
 51   169.324
 52   169.323
 53   169.323
 54   169.322
Step size increases to 0.025678 after epoch 54.
 55   169.322
 56   169.321
 57   169.321
 58   169.32
Step size increases to 0.028246 after epoch 58.
 59   169.32
 60   169.319
 61   169.319
 62   169.318
Step size increases to 0.031070 after epoch 62.
 63   169.318
 64   169.317
 65   169.316
 66   169.316
Step size increases to 0.034177 after epoch 66.
 67   169.316
 68   169.314
 69   169.314
 70   169.313
Step size increases to 0.037595 after epoch 70.
 71   169.312
 72   169.312
 73   169.311
 74   169.31
Step size increases to 0.041355 after epoch 74.
 75   169.309
 76   169.308
 77   169.307
 78   169.306
Step size increases to 0.045490 after epoch 78.
 79   169.305
 80   169.305
 81   169.304
 82   169.303
Step size increases to 0.050039 after epoch 82.
 83   169.302
 84   169.3
 85   169.299
 86   169.298
Step size increases to 0.055043 after epoch 86.
 87   169.297
 88   169.296
 89   169.295
 90   169.294
Step size increases to 0.060547 after epoch 90.
 91   169.292
 92   169.291
 93   169.29
 94   169.289
Step size increases to 0.066602 after epoch 94.
 95   169.287
 96   169.286
 97   169.284
 98   169.283
Step size increases to 0.073262 after epoch 98.
 99   169.281
100   169.28

```

Designated epoch number reached --> ANFIS training completed at epoch 100.

**Lampiran 24 (lanjutan)**

```
peramalan
residual

rmse_in =
169.2799

rmse_out =
382.0504

mape_in =
2.7733

mape_out =
5.9745

smape_in =
2.7620

smape_out =
6.2536

1. Name          anfis
2. Type          sugeno
3. Inputs/Outputs [3 1]
4. NumInputMFs   [2 2 2]
5. NumOutputMFs 8
6. NumRules      8
7. AndMethod     prod
8. OrMethod      max
9. ImpMethod     prod
10. AggMethod    max
11. DefuzzMethod wtaver
12. InLabels     input1
13.             input2
14.             input3
15. OutLabels    output
16. InRange       [3270 5321]
17.             [3270 5321]
18.             [3270 5321]
19. OutRange      [3270 5321]
20. InMFLabels   in1mf1
21.             in1mf2
22.             in2mf1
23.             in2mf2
24.             in3mf1
25.             in3mf2
26. OutMFLabels  out1mf1
27.             out1mf2
28.             out1mf3
29.             out1mf4
30.             out1mf5
31.             out1mf6
32.             out1mf7
33.             out1mf8
34. InMFTypes    trapmf
35.             trapmf
36.             trapmf
37.             trapmf
38.             trapmf
39.             trapmf
```

## Lampiran 24 (lanjutan)

```
40. OutMFTypes    linear
41.          linear
42.          linear
43.          linear
44.          linear
45.          linear
46.          linear
47.          linear
48. InMFParams   [1834 2654 3885 4705]
49.          [3885 4705 5936 6756]
50.          [1834 2654 3885 4705]
51.          [3885 4705 5936 6756]
52.          [1834 2654 3885 4705]
53.          [3885 4705 5936 6756]
54. OutMFParams [0 0 0 0]
55.          [0 0 0 0]
56.          [0 0 0 0]
57.          [0 0 0 0]
58.          [0 0 0 0]
59.          [0 0 0 0]
60.          [0 0 0 0]
61.          [0 0 0 0]
62. Rule Antecedent [1 1 1]
63.          [1 1 2]
64.          [1 2 1]
65.          [1 2 2]
66.          [2 1 1]
67.          [2 1 2]
68.          [2 2 1]
69.          [2 2 2]
62. Rule Consequent 1
63.          2
64.          3
65.          4
66.          5
67.          6
68.          7
69.          8
62. Rule Weight 1
63.          1
64.          1
65.          1
66.          1
67.          1
68.          1
69.          1
62. Rule Connection 1
63.          1
64.          1
65.          4
66.          5
67.          6
68.          7
69.          8
62. Rule Weight 1
63.          1
64.          1
65.          1
66.          1
67.          1
68.          1
69.          1
62. Rule Connection 1
63.          1
64.          1
65.          1
66.          1
67.          1
68.          1
69.          1
```

**Lampiran 25 : Output MATLAB Model ANFIS Fungsi Generalized Bell Untuk Data Pukul 18:30**

```
data in sample
data out sample
output
proses anfis

ANFIS info:
    Number of nodes: 34
    Number of linear parameters: 32
    Number of nonlinear parameters: 18
    Total number of parameters: 50
    Number of training data pairs: 575
    Number of checking data pairs: 0
    Number of fuzzy rules: 8

Start training ANFIS ...
1   167.252
2   167.244
3   167.236
4   167.227
5   167.219
Step size increases to 0.011000 after epoch 5.
6   167.211
7   167.202
8   167.192
9   167.183
Step size increases to 0.012100 after epoch 9.
10  167.174
11  167.164
12  167.154
13  167.144
Step size increases to 0.013310 after epoch 13.
14  167.134
15  167.123
16  167.112
17  167.101
Step size increases to 0.014641 after epoch 17.
18  167.09
19  167.078
20  167.065
21  167.053
Step size increases to 0.016105 after epoch 21.
22  167.041
23  167.028
24  167.014
25  167.001
Step size increases to 0.017716 after epoch 25.
26  166.988
27  166.973
28  166.958
29  166.943
Step size increases to 0.019487 after epoch 29.
30  166.928
31  166.912
32  166.896
33  166.88
Step size increases to 0.021436 after epoch 33.
34  166.863
35  166.846
36  166.828
37  166.81
Step size increases to 0.023579 after epoch 37.
38  166.792
39  166.772
40  166.753
41  166.733
```

## Lampiran 25 (lanjutan)

```

Step size increases to 0.025937 after epoch 41.
 42   166.714
 43   166.692
 44   166.671
 45   166.649
Step size increases to 0.028531 after epoch 45.
 46   166.628
 47   166.605
 48   166.581
 49   166.558
Step size increases to 0.031384 after epoch 49.
 50   166.535
 51   166.51
 52   166.484
 53   166.459
Step size increases to 0.034523 after epoch 53.
 54   166.435
 55   166.407
 56   166.38
 57   166.354
Step size increases to 0.037975 after epoch 57.
 58   166.327
 59   166.298
 60   166.27
 61   166.241
Step size increases to 0.041772 after epoch 61.
 62   166.213
 63   166.183
 64   166.153
 65   166.123
Step size increases to 0.045950 after epoch 65.
 66   166.093
 67   166.061
 68   166.029
 69   165.996
Step size increases to 0.050545 after epoch 69.
 70   165.964
 71   165.927
 72   165.887
 73   165.846
Step size increases to 0.055599 after epoch 73.
 74   165.8
 75   165.746
 76   165.68
 77   165.604
Step size increases to 0.061159 after epoch 77.
 78   165.53
 79   165.602
 80   165.516
 81   165.457
 82   165.534
 83   165.465
 84   165.54
 85   165.464
Step size decreases to 0.055043 after epoch 85.
 86   165.543
 87   165.469
 88   165.54
 89   165.481
Step size decreases to 0.049539 after epoch 89.
 90   165.54
 91   165.471
 92   165.531
 93   165.47
Step size decreases to 0.044585 after epoch 93.
 94   165.536
 95   165.474
 96   165.528
 97   165.465
Step size decreases to 0.040126 after epoch 97.
 98   165.523
 99   165.467
100   165.521

Designated epoch number reached --> ANFIS training completed at epoch 100.

```

## Lampiran 25 (lanjutan)

```

peramalan
residual

rmse_in =
165.4572

rmse_out =
407.6360

mape_in =
2.6976

mape_out =
6.6935

smape_in =
2.6863

smape_out =
7.0131

1. Name          anfis
2. Type          sugeno
3. Inputs/Outputs [3 1]
4. NumInputMFs   [2 2]
5. NumOutputMFs 8
6. NumRules      8
7. AndMethod     prod
8. OrMethod      max
9. ImplMethod    prod
10. AggMethod    max
11. DefuzzMethod wtaver
12. InLabels     input1
13.             input2
14.             input3
15. OutLabels    output
16. InRange       [3270 5321]
17.             [3270 5321]
18.             [3270 5321]
19. OutRange      [3270 5321]
20. InMFLabels   in1mf1
21.             in1mf2
22.             in2mf1
23.             in2mf2
24.             in3mf1
25.             in3mf2
26. OutMFLabels  out1mf1
27.             out1mf2
28.             out1mf3
29.             out1mf4
30.             out1mf5
31.             out1mf6
32.             out1mf7
33.             out1mf8
34. InMFTypes    gbellmf
35.             gbellmf
36.             gbellmf
37.             gbellmf
38.             gbellmf
39.             gbellmf

```

## Lampiran 25 (lanjutan)

```
40. OutMFTypes    linear
41.                linear
42.                linear
43.                linear
44.                linear
45.                linear
46.                linear
47.                linear
48. InMFParams    [1025 2 3270 0]
49.                [1025 2 5321 0]
50.                [1025 2 3270 0]
51.                [1025 2 5321 0]
52.                [1025 2 3270 0]
53.                [1025 2 5321 0]
54. OutMFParams   [0 0 0 0]
55.                [0 0 0 0]
56.                [0 0 0 0]
57.                [0 0 0 0]
58.                [0 0 0 0]
59.                [0 0 0 0]
60.                [0 0 0 0]
61.                [0 0 0 0]
62. Rule Antecedent [1 1 1]
63.                [1 1 2]
64.                [1 2 1]
65.                [1 2 2]
66.                [2 1 1]
67.                [2 1 2]
68.                [2 2 1]
69.                [2 2 2]
62. Rule Consequent 1
63.                2
64.                3
65.                4
66.                5
67.                6
68.                7
69.                8
62. Rule Weight    1
63.                1
64.                1
65.                1
66.                1
67.                1
68.                1
69.                1
62. Rule Connection 1
63.                1
64.                1
65.                [1 2 2]
66.                [2 1 1]
67.                [2 1 2]
68.                [2 2 1]
69.                [2 2 2]
62. Rule Consequent 1
63.                2
64.                3
65.                4
66.                5
67.                6
68.                7
69.                8
62. Rule Weight    1
63.                1
64.                1
65.                1
66.                1
67.                1
68.                1
69.                1
```

## Lampiran 25 (lanjutan)

```

62. Rule Connection 1
63.          1
64.          1
65.          1
66.          1
67.          1
68.          1
69.          1
1. Name      anfis
2. Type       sugeno
3. Inputs/Outputs [3 1]
4. NumInputMFs [2 2 2]
5. NumOutputMFs 8
6. NumRules   8
7. AndMethod  prod
8. OrMethod   max
9. ImpleMethod prod
10. AggMethod  max
11. DefuzzMethod wtaver
12. InLabels   input1
13.           input2
14.           input3
15. OutLabels  output
16. InRange    [3270 5321]
17.           [3270 5321]
18.           [3270 5321]
19. OutRange   [3270 5321]
20. InMFLabels in1mf1
21.           in1mf2
22.           in2mf1
23.           in2mf2
24.           in3mf1
25.           in3mf2
26. OutMFLabels out1mf1
27.           out1mf2
28.           out1mf3
29.           out1mf4
30.           out1mf5
31.           out1mf6
32.           out1mf7
33.           out1mf8
34. InMFTypes  gbellmf
35.           gbellmf
36.           gbellmf
37.           gbellmf
38.           gbellmf
39.           gbellmf
40. OutMFTypes linear
41.           linear
42.           linear
43.           linear
44.           linear
45.           linear
46.           linear
47.           linear
48. InMFParams [1025 1.561 3270 0]
49.           [1025 2.056 5321 0]
50.           [1025 1.857 3270 0]
51.           [1025 2.732 5321 0]
52.           [1025 0.8441 3270 0]
53.           [1025 0.5011 5321 0]
54. OutMFParams [4.398 8.52 -3.454 -2.33e+004]
55.           [-2.431 -17.18 19.08 -9949]
56.           [-6.434 -10.54 38.04 -3.502e+004]
57.           [10.27 6.542 27.36 -2.312e+005]
58.           [2.616 -1.717 4.811 -1.527e+004]
59.           [2.892 1.57 3.882 -3.758e+004]
60.           [-4.122 3.714 -3.933 1.928e+004]
61.           [3.966 -1.196 -4.3 1.369e+004]

```

**Lampiran 25 (lanjutan)**

```
62. Rule Antecedent [1 1 1]
63. [1 1 2]
64. [1 2 1]
65. [1 2 2]
66. [2 1 1]
67. [2 1 2]
68. [2 2 1]
69. [2 2 2]
62. Rule Consequent 1
63. 2
64. 3
65. 4
66. 5
67. 6
68. 7
69. 8
62. Rule Weight 1
63. 1
64. 1
65. 1
66. 1
67. 1
68. 1
69. 1
62. Rule Connection 1
63. 1
64. 1
65. 1
66. 1
```

*Halaman ini sengaja dikosongkan*

## DAFTAR PUSTAKA

- Azadeh, A., Saberi, M., Nadimi, V., Iman, M., & Behrooznia, A. (2010). An integrated intelligent neuro-fuzzy algorithm for long-term electricity consumption: cases of selected EU countries. *Journal of Acta Polytechnica Hungarica* 7 (4), 71-90.
- Bisnis. (2014). *Kawasan Industri Terancam Krisis Listrik*. Diunduh dari alamat [www.surabaya.bisnis.com](http://www.surabaya.bisnis.com), Pada Sabtu 20 September 2014.
- BPPT. (2006). *Pengembangan Sistem Kelistrikan Dalam Pembangunan Nasional Jangka Panjang*. Jakarta: Badan Pengkajian dan Penerapan Teknologi (BPPT).
- Chak, C.-K., Gang. & Palaniswami, M. (1998). *Implementation of Fuzzy Systems*. London: Academic Press.
- Cryer, J.D., & Chan, K-S. (2008). *Time Series Analysis With Application in R*, 2<sup>nd</sup> Edition. New York : Springer.
- Dewi , C., Kartikasari, D. P., & Murstyo, Y. T. (2014). Prediksi Cuaca Pada Data Time Series Menggunakan Adaptive Neuro Fuzzy Inference System (ANFIS). *Jurnal Teknologi Informasi dan Ilmu Komputer*, 18-24.
- Diebold, F. X. & Mariano, R. S. (1995). Comparing Predictive Accuracy. *Journal of Business and Economic Statistics* 13(3), 253-263.
- Duda, R. O., Hart, P. E., & Stork, D. G. (2001). *Pattern Classification*. New York: Joh Wiley & Sons.
- El-Sharkawi, M. A., Peng, P., & Marks, R. J. (1999). Short Term Peak Load Forecast Using Detrended Partitioned Data Training of a Neuro-Fuzzy Regression Machine. *Eng Int Syst* 4, 197-202.
- ESDM. (2009). *Master Plan Pembangunan Ketenagalistrikan 2010 s.d 2014*. Jakarta: Kementerian Energi dan Sumber Daya Mineral (ESDM) RI.

- Fariza, A. (2007). Performansi Neuro Fuzzy untuk Data Time Series. *Seminar Nasional Aplikasi Teknologi Informasi (SNATI)*. Yogyakarta.
- Fatkhurrozi, B. Muslim, M. A., & Santoso, D. R. (2012). Penggunaan ANFIS dalam Penentuan Status Aktivitas Gunung Merapi. *Journal of EECCIS*, 113-118.
- Jang, J. R. (1993). ANFIS : Adaptive-Network-Based Fuzzy . *IFF Transaction System, Man, and Cybernestics* , 665-685.
- Hyndman, R.J. & Koehler, A.B. (2006). Another Look at Measures of Forecast Accuracy. *International Journal of Forecasting* 22, 679-688.
- Kostenko, A. V. & Hyndman, R. J. (2008). Forecasting Without Significance Tests?
- Kusumadewi, S. & Hartati, S. (2006). *Neuro-Fuzzy: Integrasi Sistem Fuzzy dan Jaringan Syaraf*. Yogyakarta: Graha Ilmu.
- Makridakis, S. & Hibon, M. (2000). The M3-Competition: results, conclusions and implications. *International Journal of Forecasting* 16, 451-476.
- Marsudi, D. (2006). *Operasi Sistem Tenaga Listrik*. Yogyakarta: Graha Ilmu.
- Nurvitasari, Y. & Irhamah. (2012). Pendekatan Fungsi Transfer sebagai Input Adaptive Neuro-Fuzzy Inference System (ANFIS) dalam Peramalan Kecepatan Angin Rata-rata Harian di Sumenep. *Jurnal Sains dan Seni ITS*, 62-68.
- Singla , P., Rai, H. M., & Singla, S. (2011). Local Monsoonal Precipitation Forecasting using ANFIS Model: a Case Study for Hisar. *International Journal of Research and Reviews in Computer Science*.
- Syukriyadin & Syahputra, Rio. (2012). Prakiraan Beban Listrik Jangka Pendek Kota Banda Aceh Berbasis Logika Fuzzy. *Jurnal Rekayasa Elektronika* 10 (1), 46-51.

- Tsay, R.S. (2010). *Analysis of Financial Time Series: Financial Econometrics*, 3<sup>rd</sup> Edition. New York : John Wiley & Sons, Inc.
- Wei, W. W. S. (2006). *Time Series Analysis*. New York: Addison Wesley.
- Widyapratiwi, L. K., Mertasana, I. A., & Arjana, I. D. (2012). Peramalan Beban Listrik Jangka Pendek di Bali menggunakan Pendekatan Adaptive Neuro Fuzzy Inference System (ANFIS) . *Jurnal Teknik Elektro*, 50-55.

*Halaman ini sengaja dikosongkan*

## BIODATA PENULIS



Penulis dalam Tugas Akhir ini bernama Indiana La Zulfa lahir di Lumajang, 18 Februari 1993. Penulis merupakan anak kedua dari pasangan Bapak Abd. Wahid, BA dan Ibu Mutamimah. Riwayat pendidikan penulis dimulai dari TK. Muslimat NU Klanting, SDN Klanting 02, SMPN 1 Sukodono, SMAN 3 Lumajang, dan yang terakhir menempuh pendidikan di Institut Sepuluh Nopember Surabaya jurusan Statistika melalui jalur

SNMPTN pada tahun 2011 dengan NRP 1311100076. Selama kuliah, selama di ITS penulis juga terlibat aktif dalam organisasi Badan Eksekutif Mahasiswa FMIPA sebagai tim kestari pada periode 2012-2013. Pada masa kuliah penulis juga pernah melakukan kerja praktek di Pabrik Gula Pesantren Baru Kediri sebagai upaya pengaplikasian ilmu statistika di dunia nyata. Sedangkan untuk menyelesaikan pendidikan di jenjang sarjana ini, penulis mengambil Tugas Akhir dengan tema *time series* dengan judul "**Peramalan Beban Listrik Jangka Pendek di Jawa Timur Menggunakan Metode ARIMA dan Adaptive Neuro Fuzzy Inference System (ANFIS)**". Jika pembaca ingin memberikan kritik dan saran serta ingin berdiskusi lebih lanjut tentang Tugas Akhir ini, maka dapat menghubungi melalui alamat *email*: [indanalazulfa76@gmail.com](mailto:indanalazulfa76@gmail.com).

*Halaman ini sengaja dikosongkan*